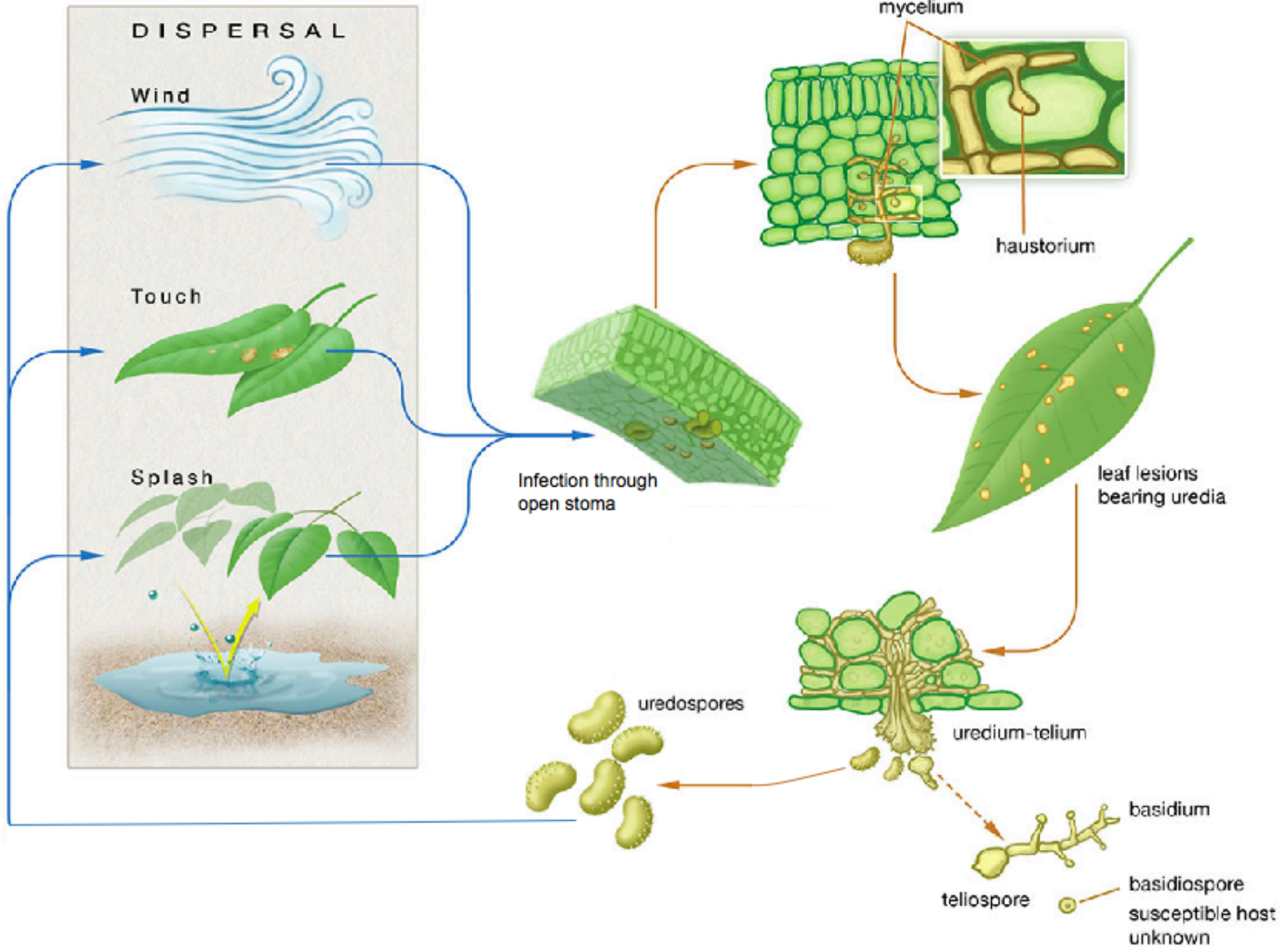


Roya de café: Informando la intuición con la ecología teórica

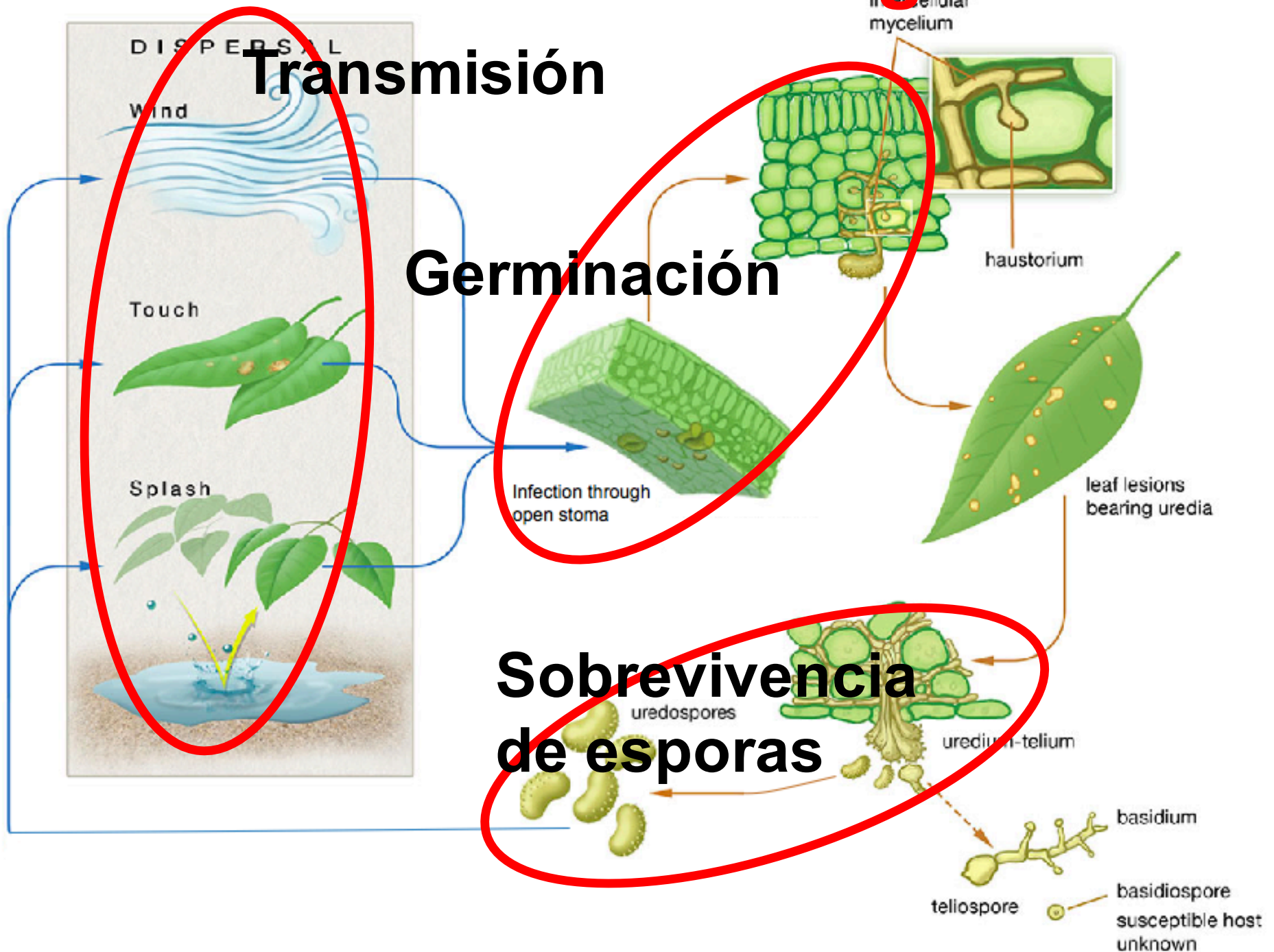


John Vandermeer
University of Michigan
Ann Arbor, MI, EEUU

El ciclo de vida

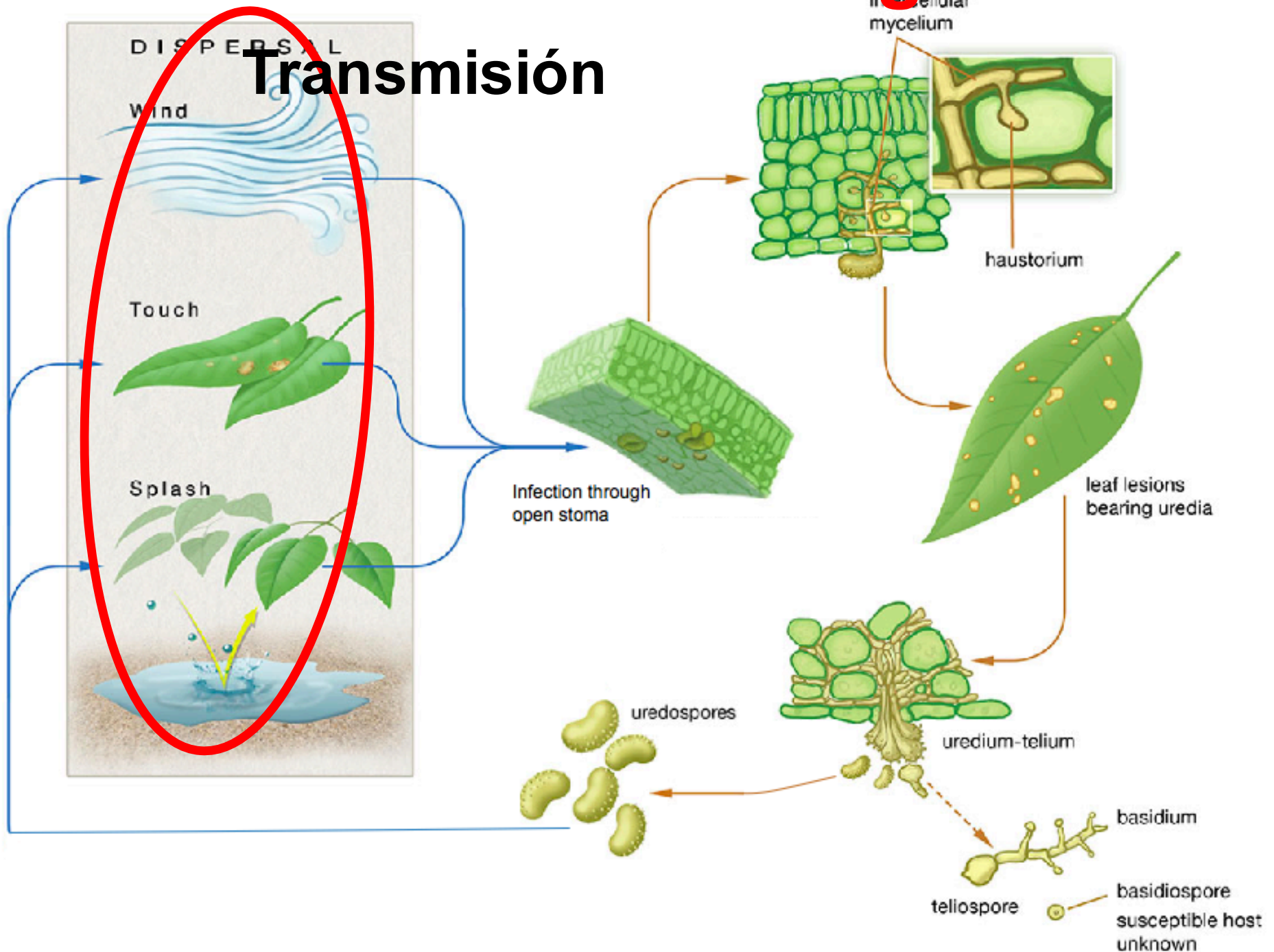


Fuerzas ecológicas



Fuerzas ecológicas

Transmisión



Sistema de manejo



Touch



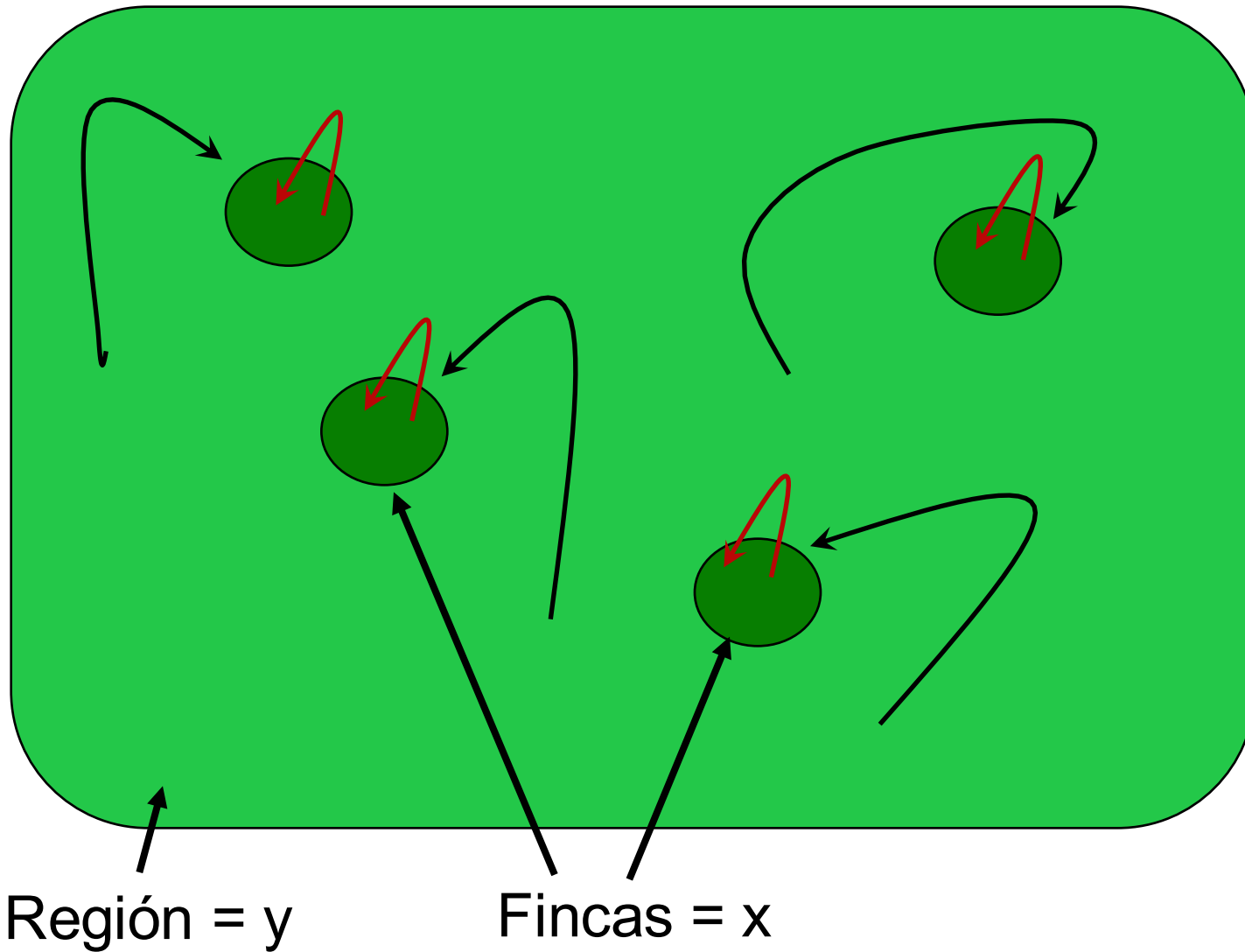
DISPERSAL

Wind

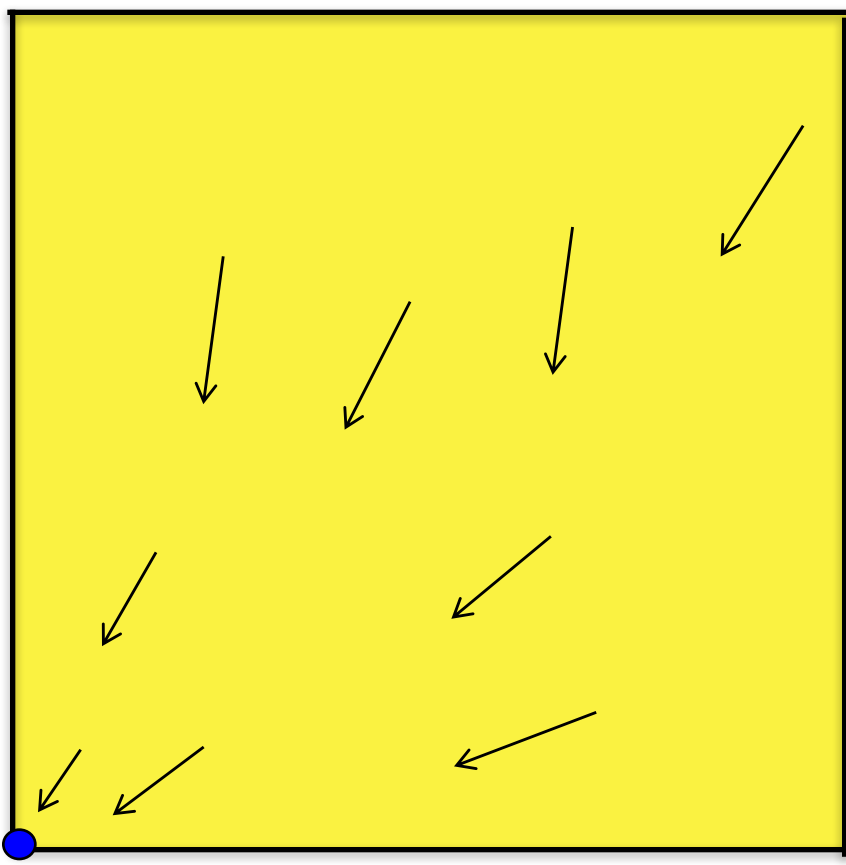


dispersión regional
por viento

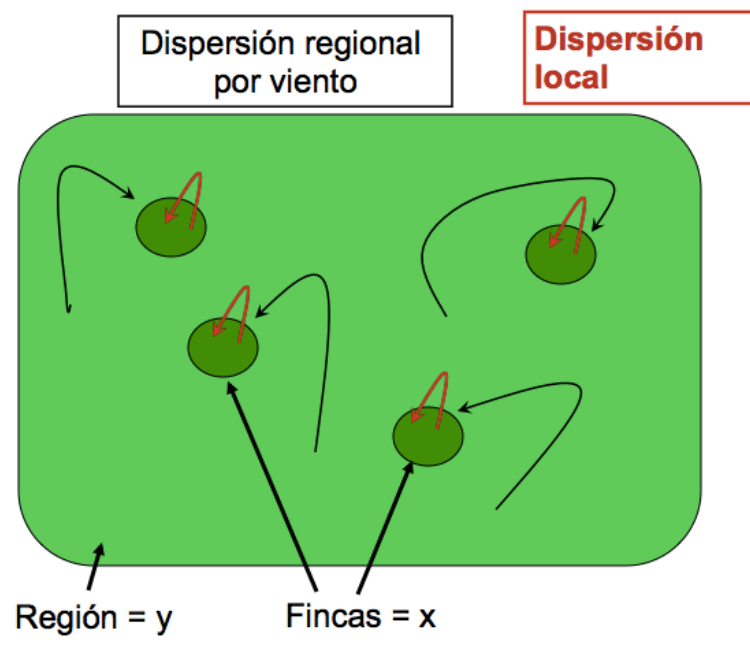
**dispersión
local**



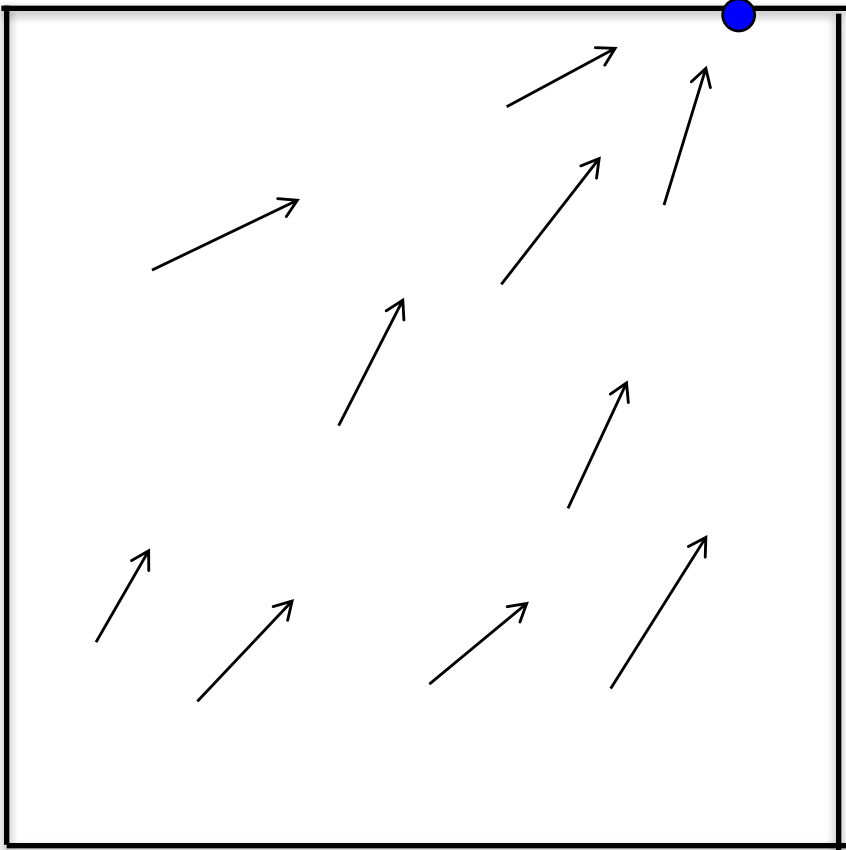
Tasa de infección en una planta promedio



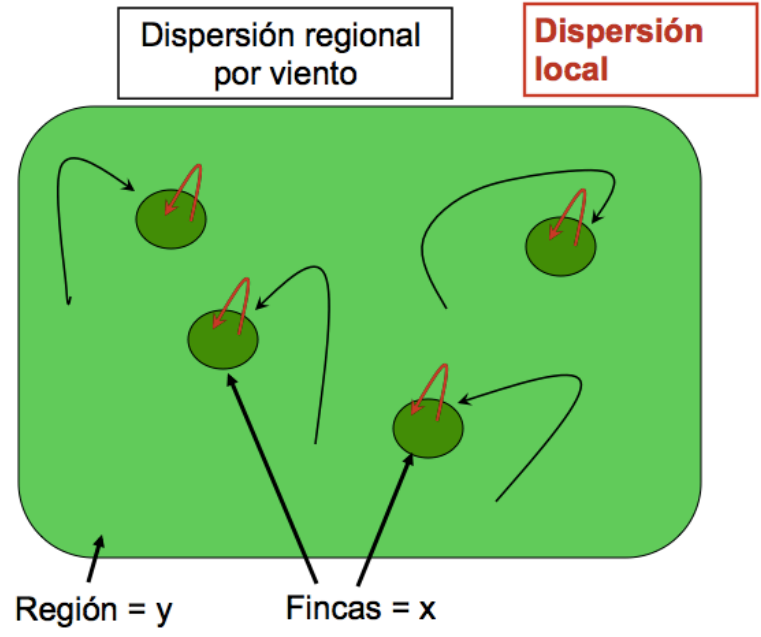
Tasa de infección en una finca promedio



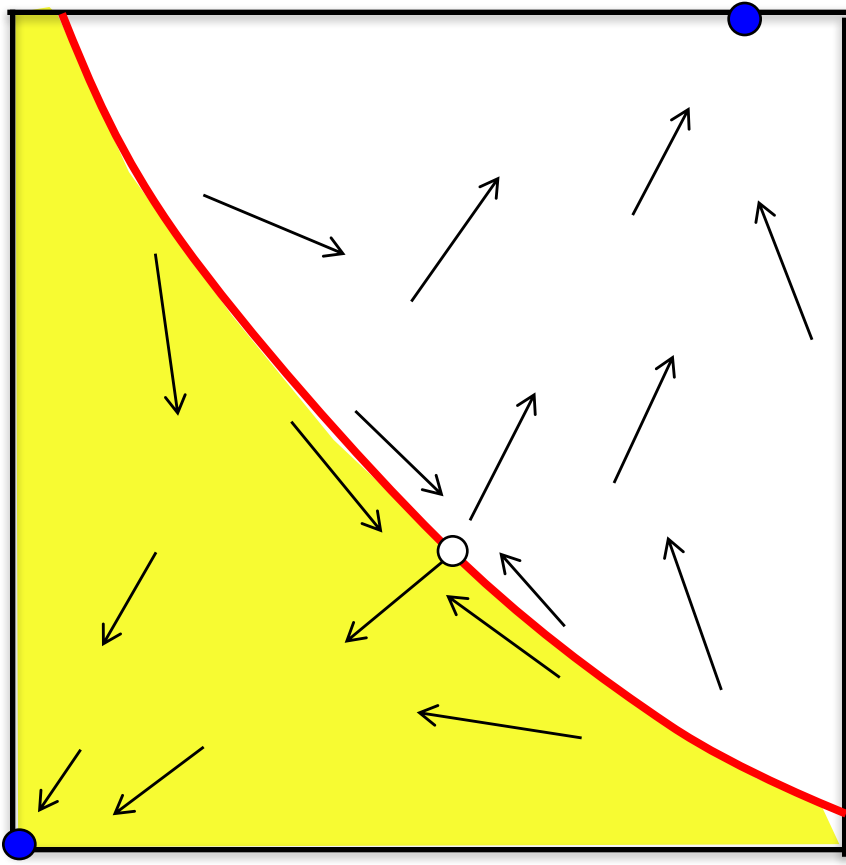
Tasa de infección en una planta promedio



Tasa de infección en una finca promedio



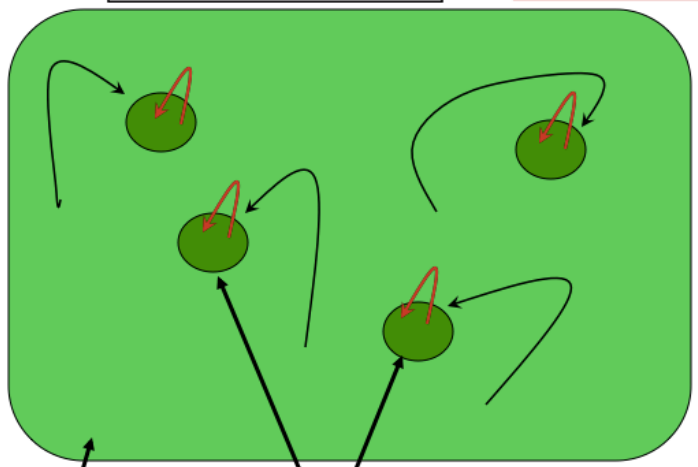
Tasa de infección en una planta promedio



Tasa de infección en una finca promedio

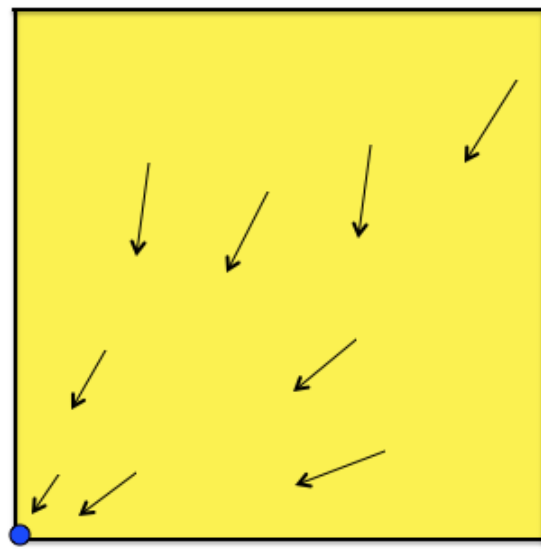
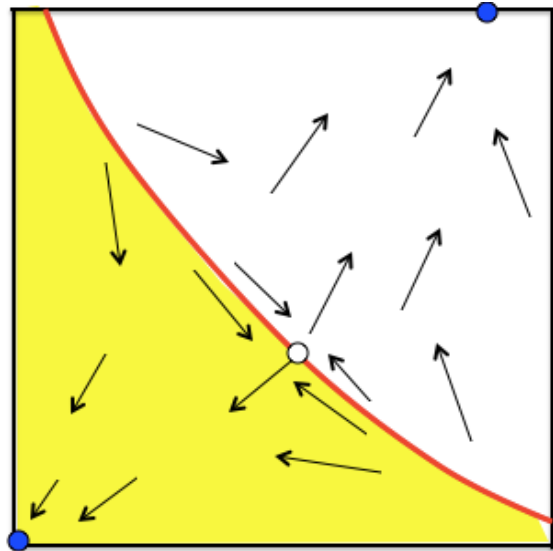
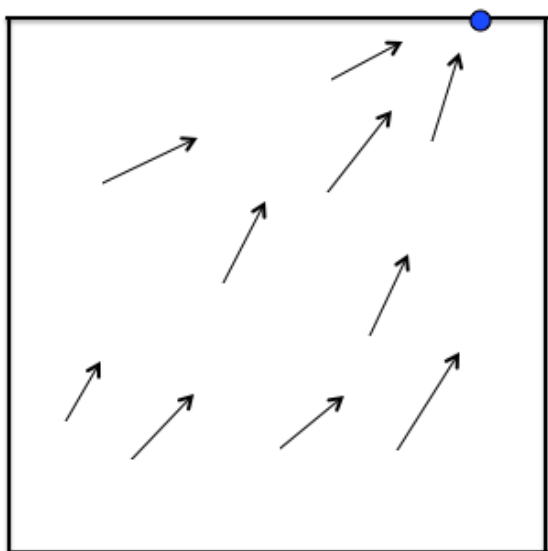
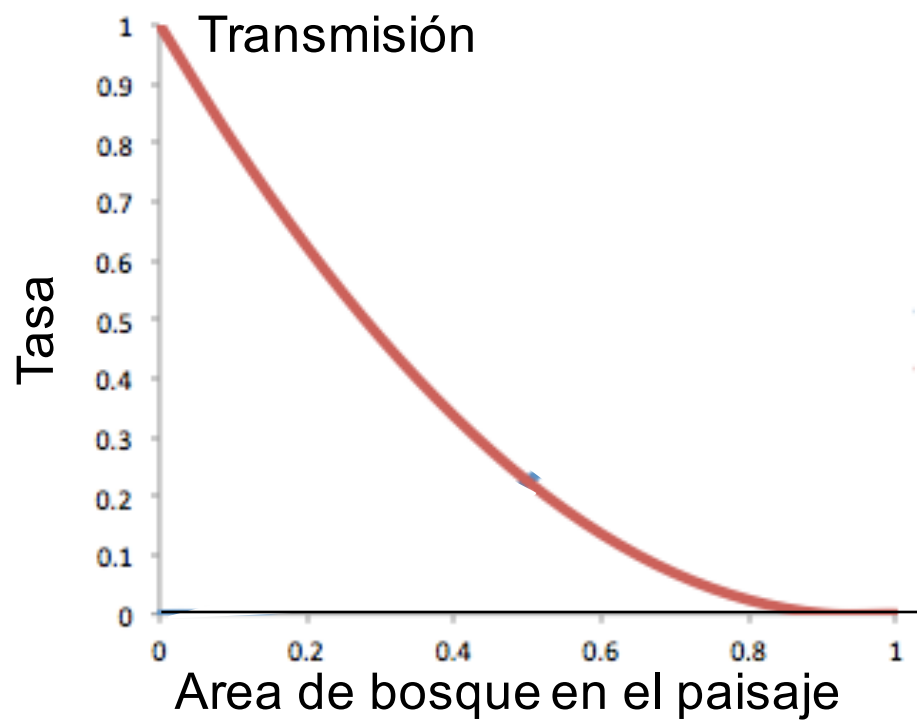
Dispersión regional por viento

Dispersión local

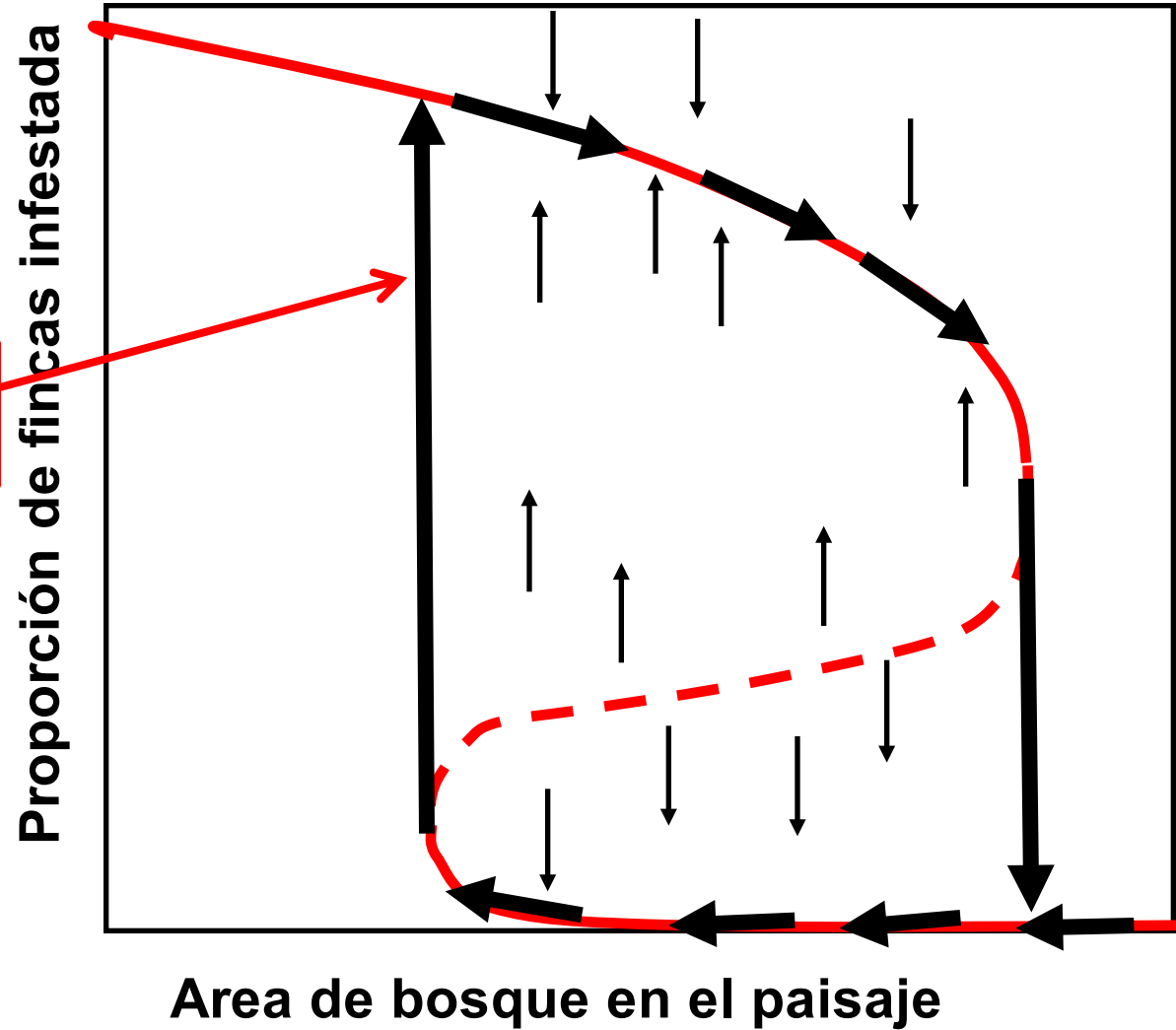


Región = y

Fincas = x

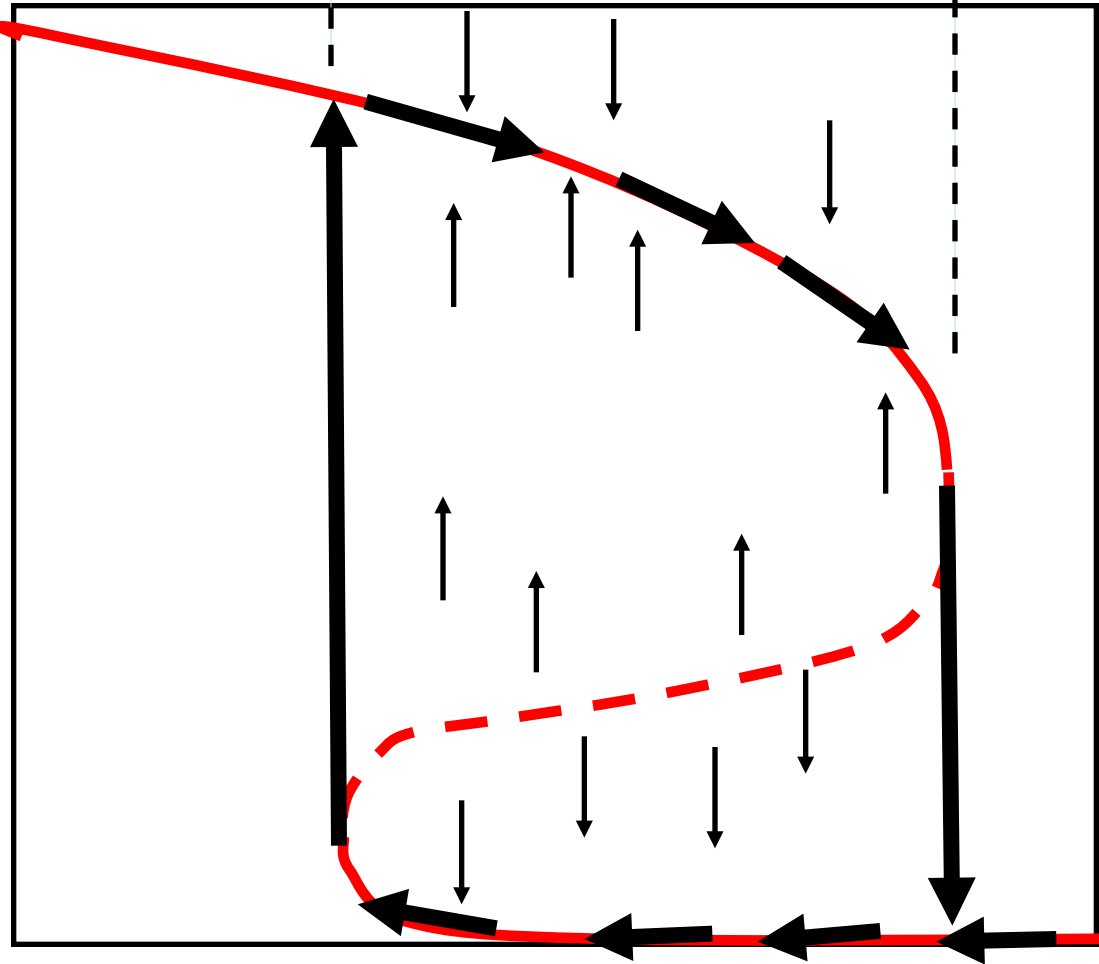


Sorpresa

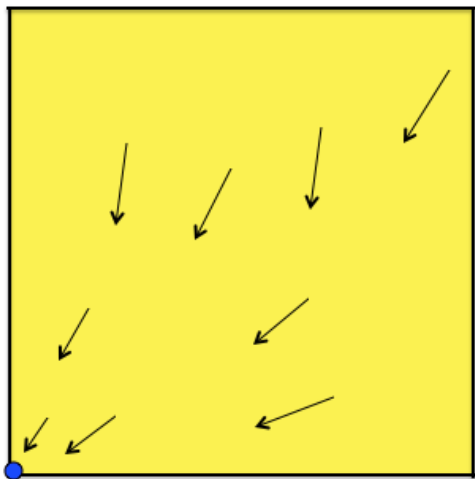
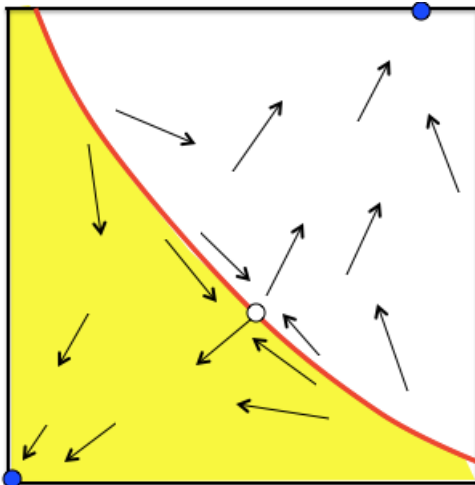
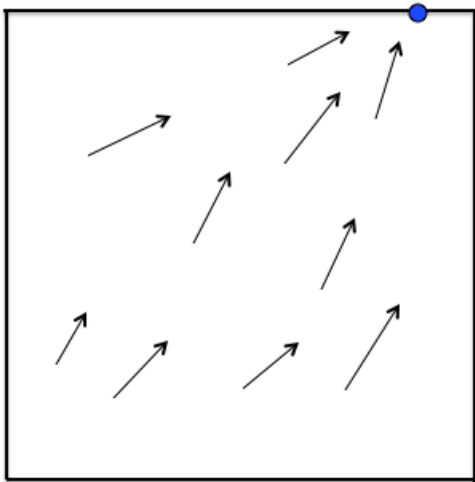


hysteresis

Proportion of farms infested

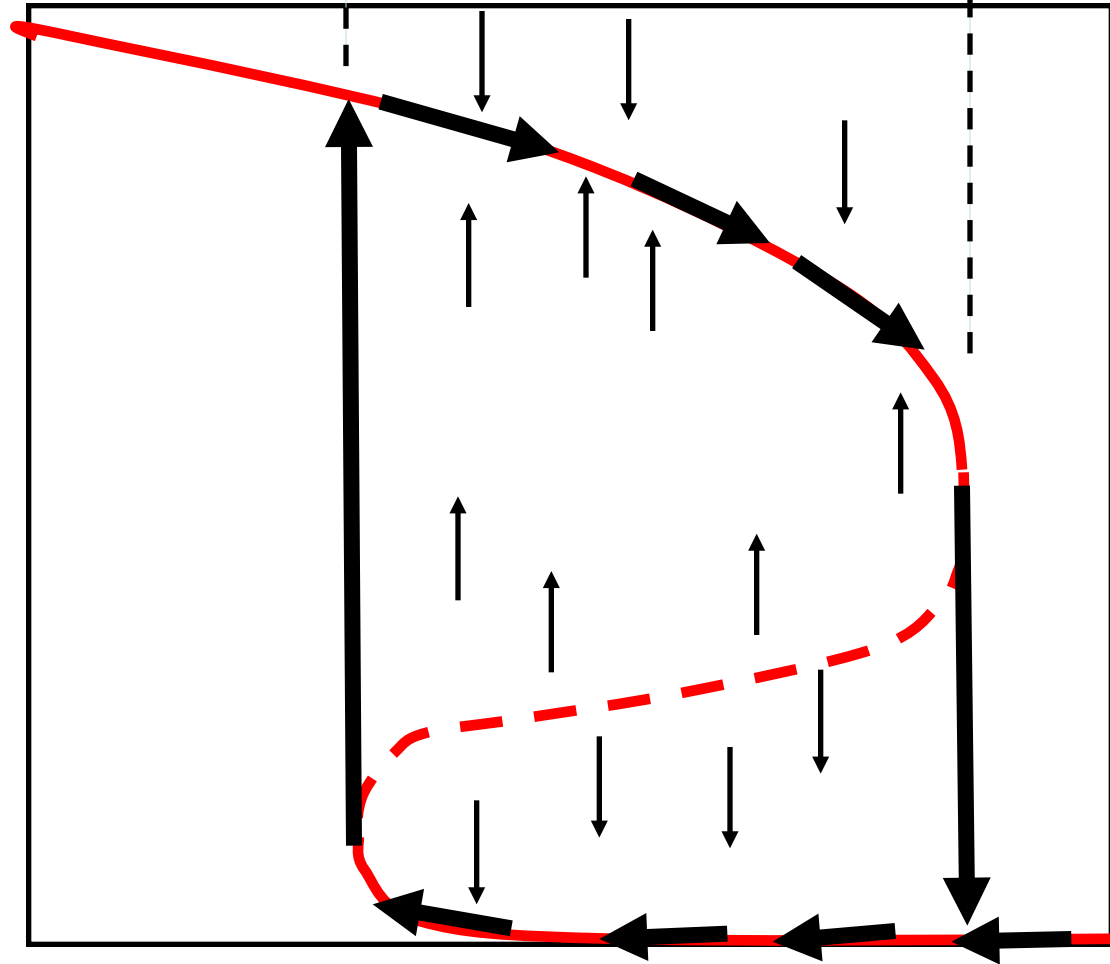


Area de bosque en el paisaje



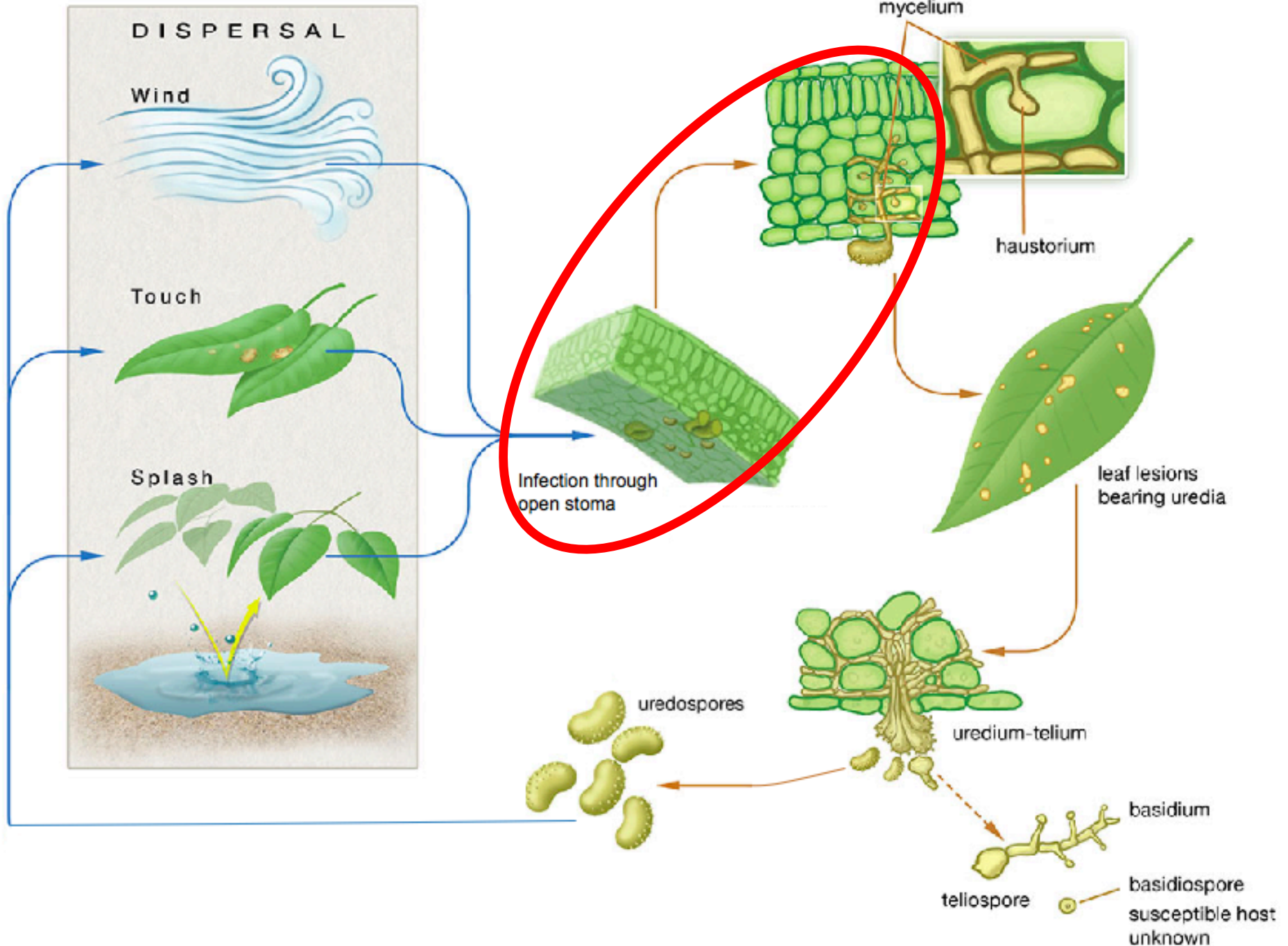
Proportion of farms infested

hysteresis



Area de bosque en el paisaje

El ciclo de vida



Sistema de manejo



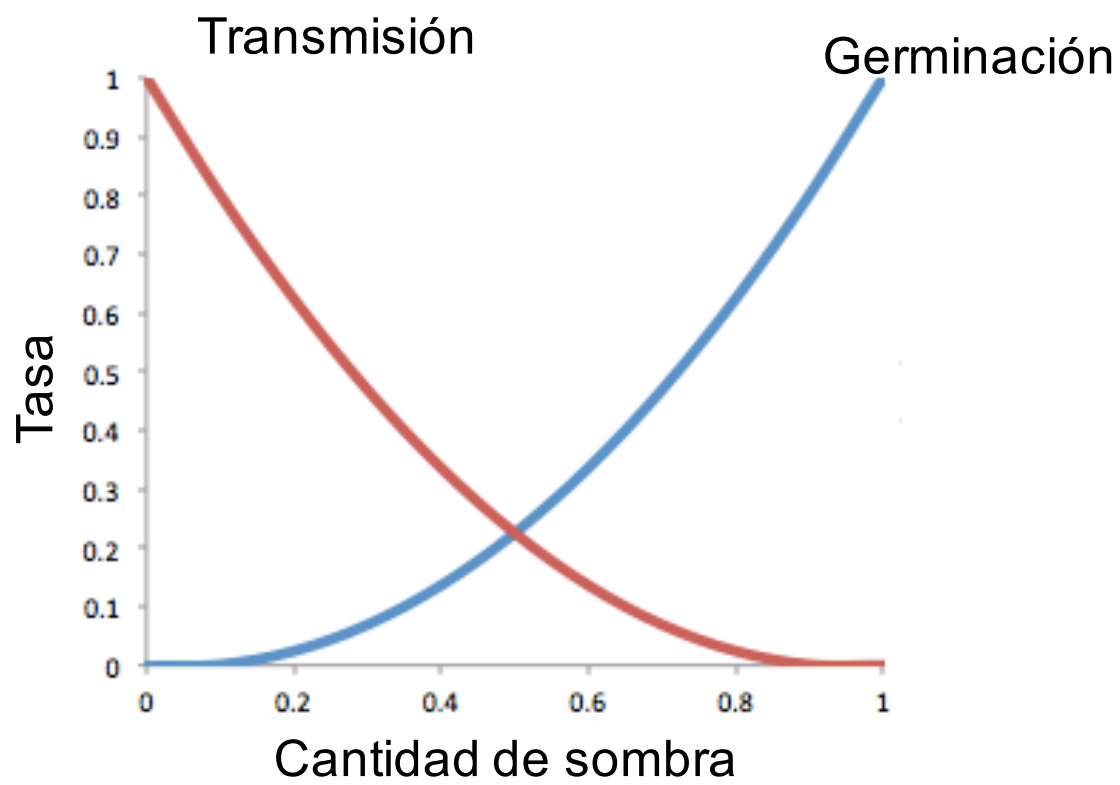
Touch

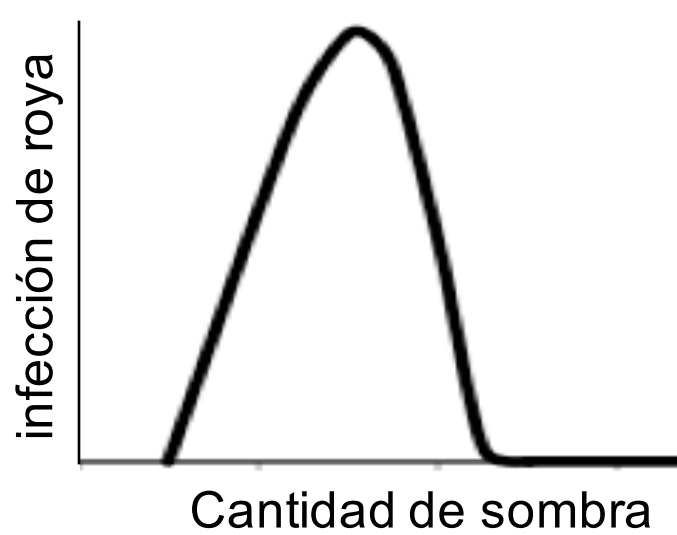
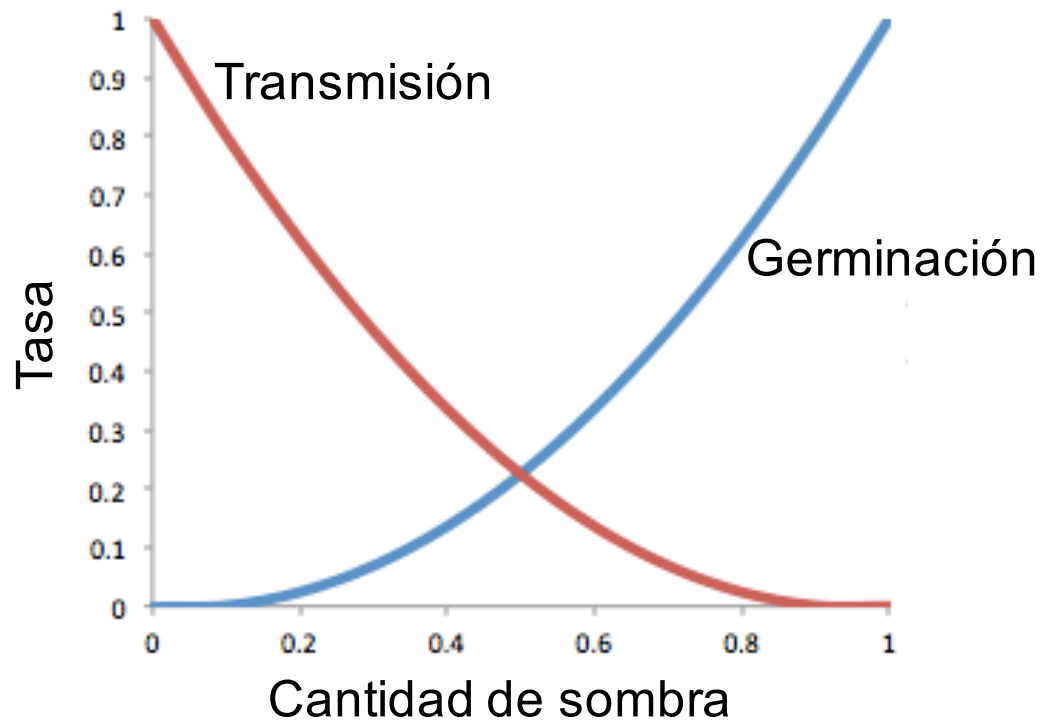


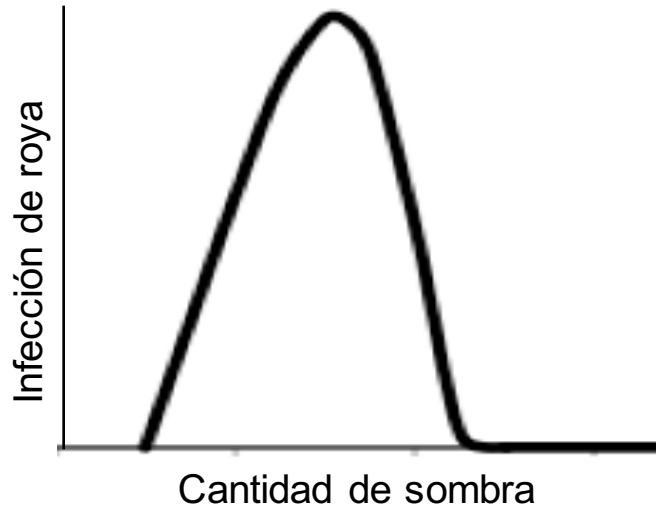
DISPERSAL

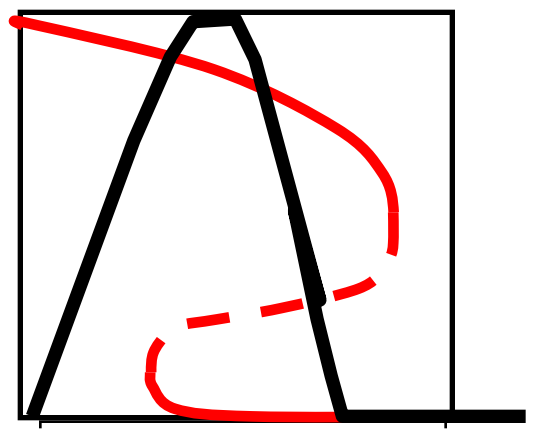
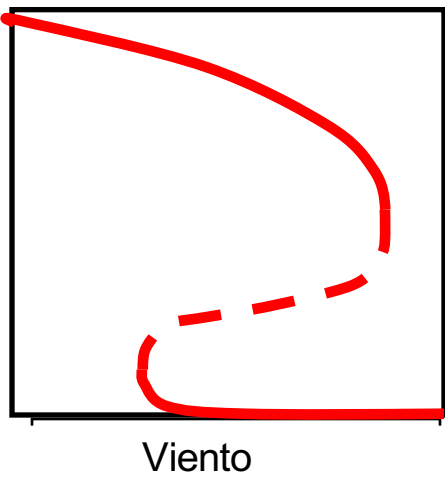
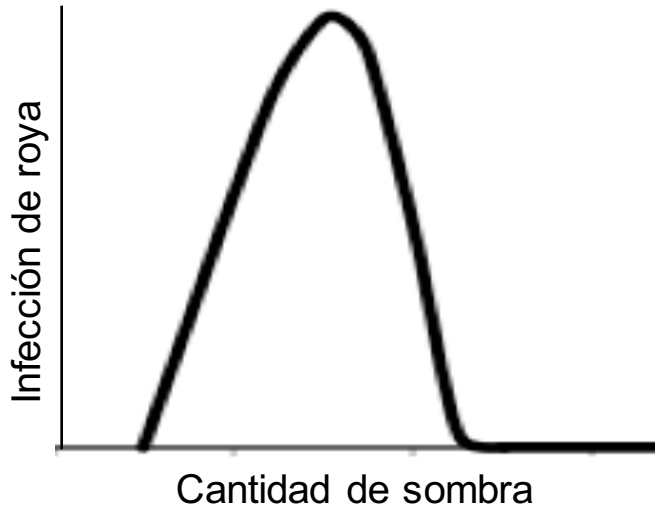
Wind

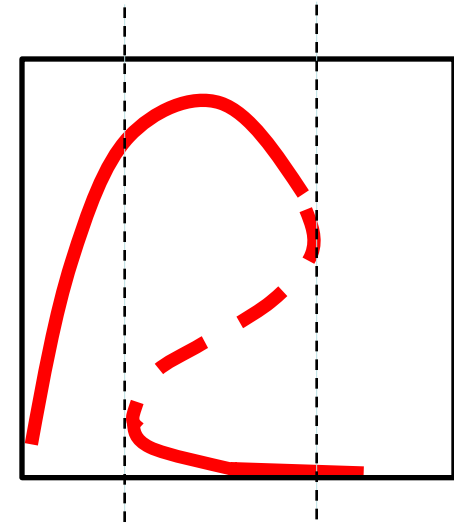
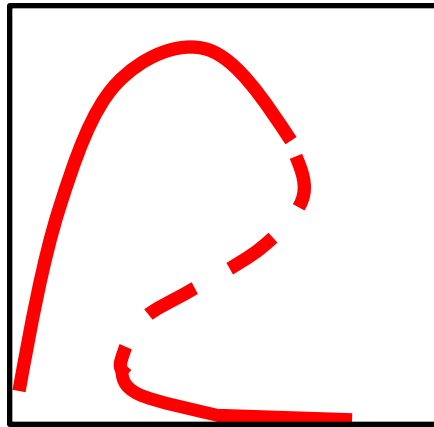
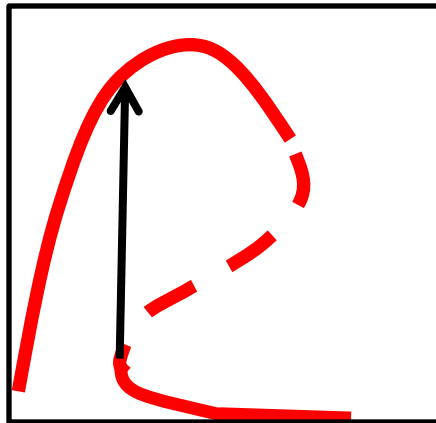
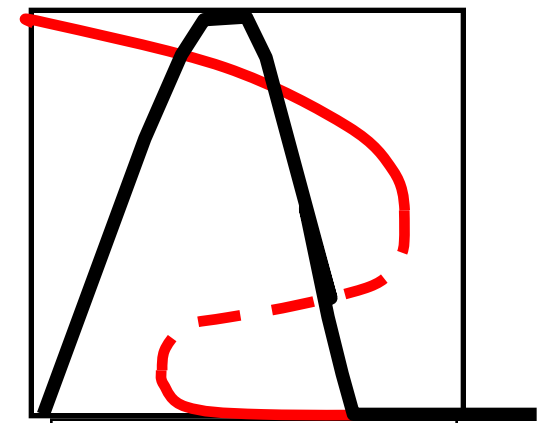
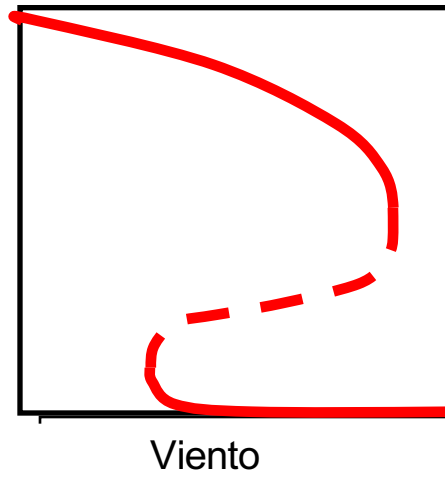
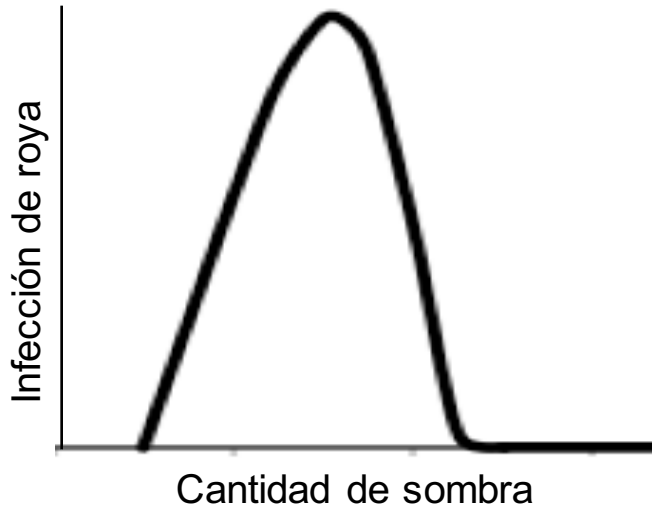












Vandermeer et al., (2015) <http://arxiv.org/abs/1510.05849>

Fuerzas ecológicas



Fuerzas ecológicas

POTENTIAL FOR BIOLOGICAL CONTROL OF PLANT DISEASES ON THE PHYLLOPLANE

J. P. Blakeman

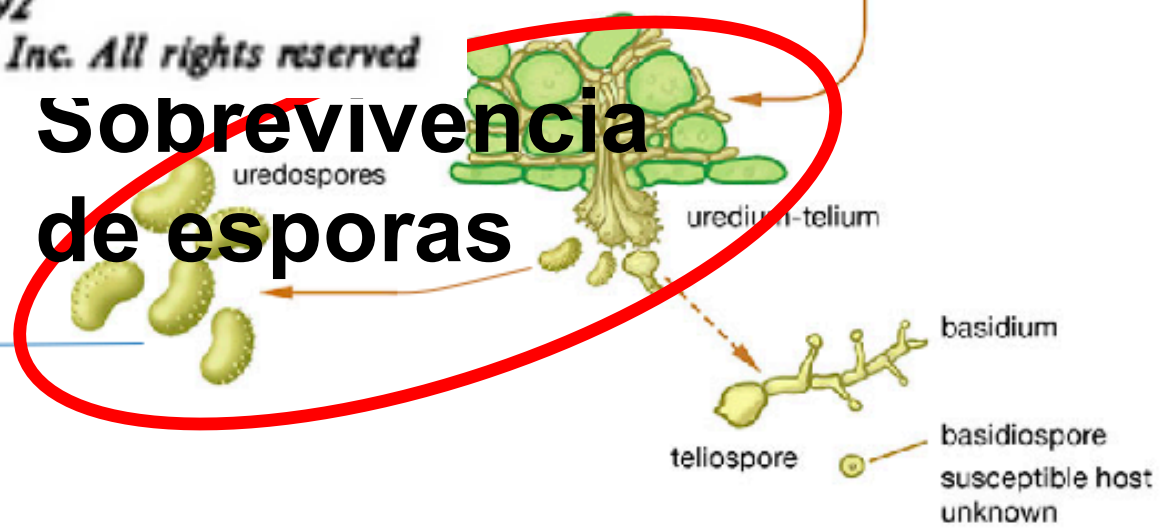
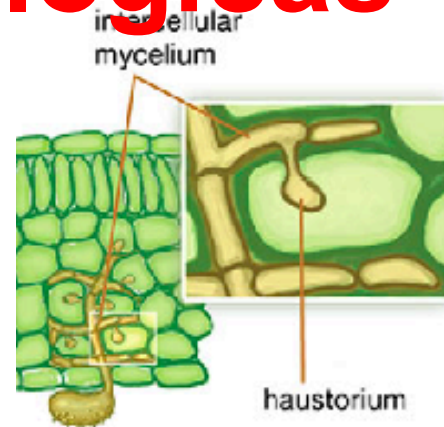
Department of Botany, University of Aberdeen, St. Machar Drive, Old Aberdeen, AB9 2UD, United Kingdom

N. J. Fokkema

Phytopathologisch Laboratorium "Willie Commelin Scholten," Javalaan 20, 3742 CP Baarn, the Netherlands

Ann. Rev. Phytopathol. 1982. 20:167-92

Copyright © 1982 by Annual Reviews Inc. All rights reserved



Sobrevivencia de esporas



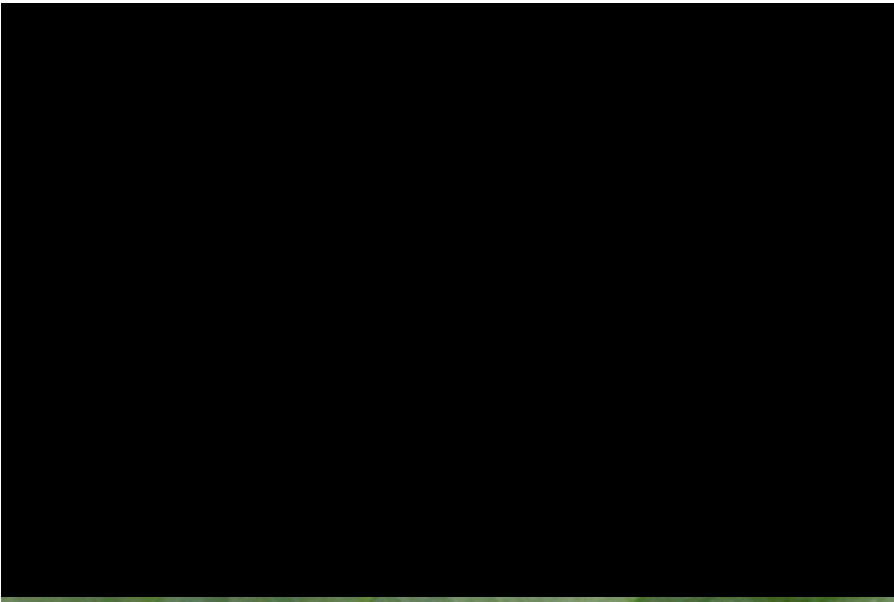
Azteca sericeasur



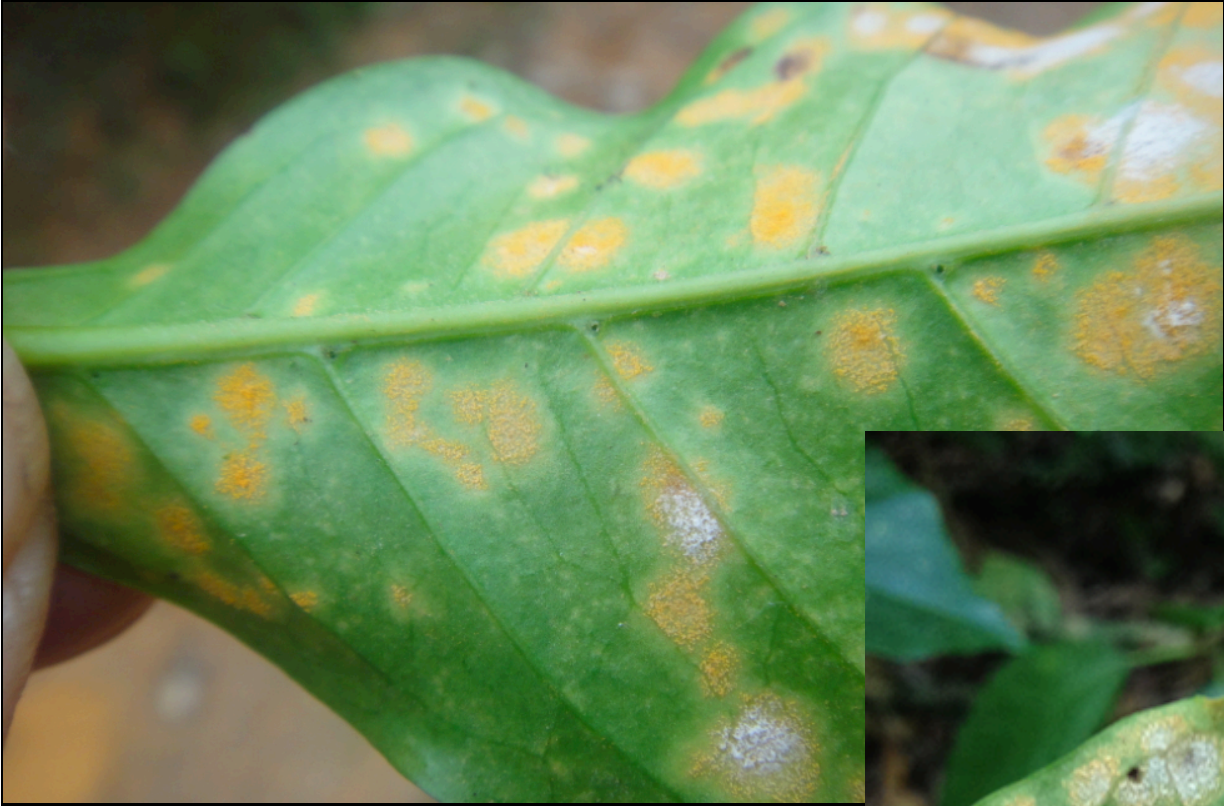
Azteca atendiendo escamas



Vandermeer et al., (2008) Nature, 451:457-459.



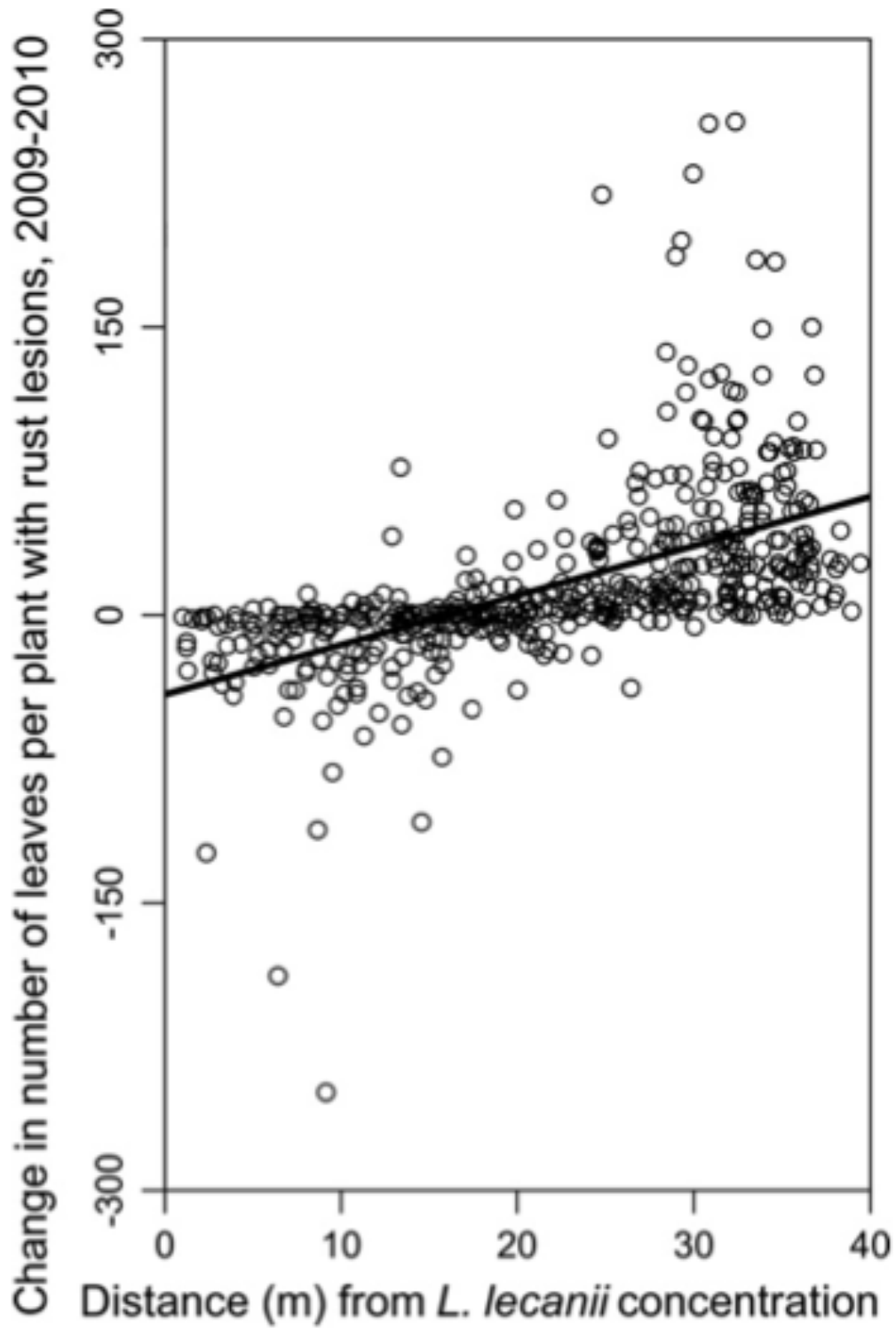
**Lecanicillium lecanii:
hongo blanco**





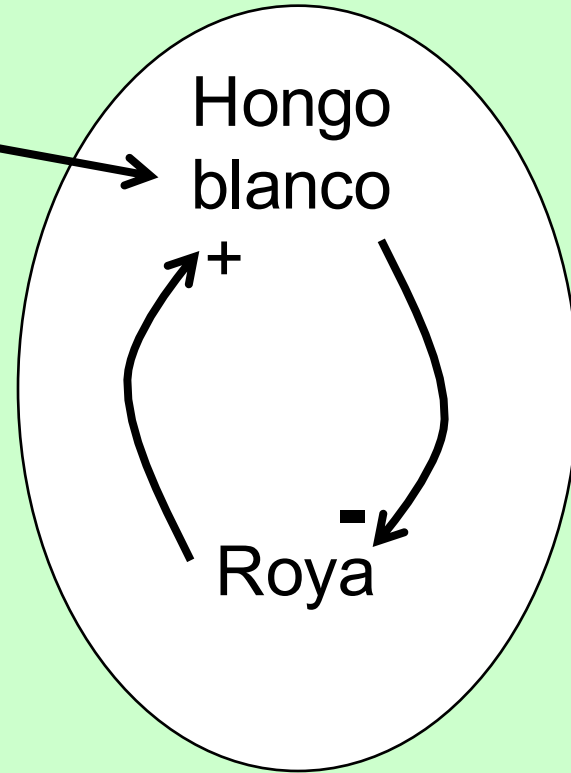
Enfermedad de escamas y roya

Vandermeer et al., (2008), *Plant Pathology*
58:636-641

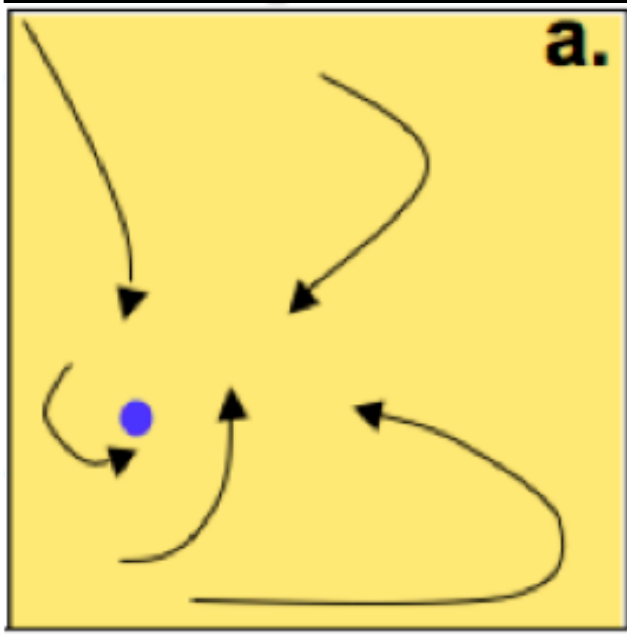


Jackson et al., (2012) Biological Control.

Escama
verde
+
↑
+
↓
Hormiga



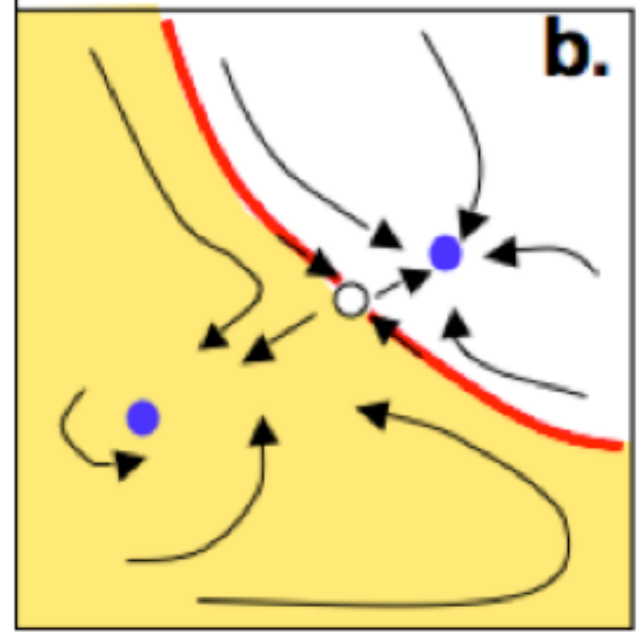
Densidad de los depredadores



Densidad de la roya

a.

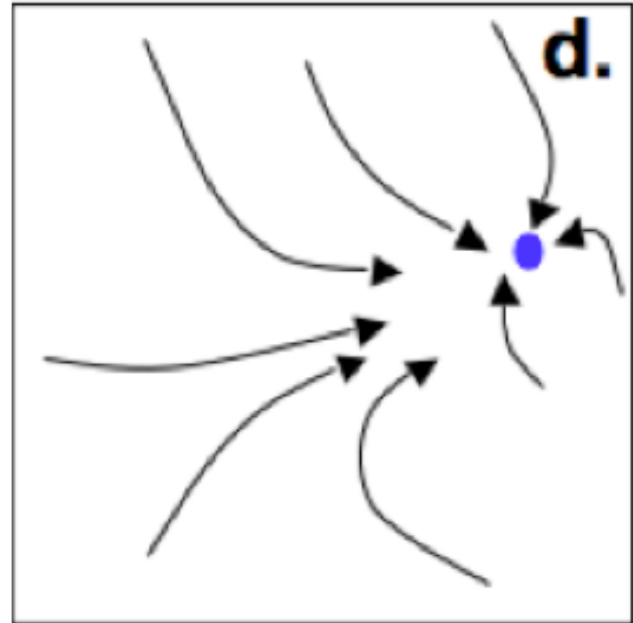
Densidad de los depredadores



Densidad de la roya

b.

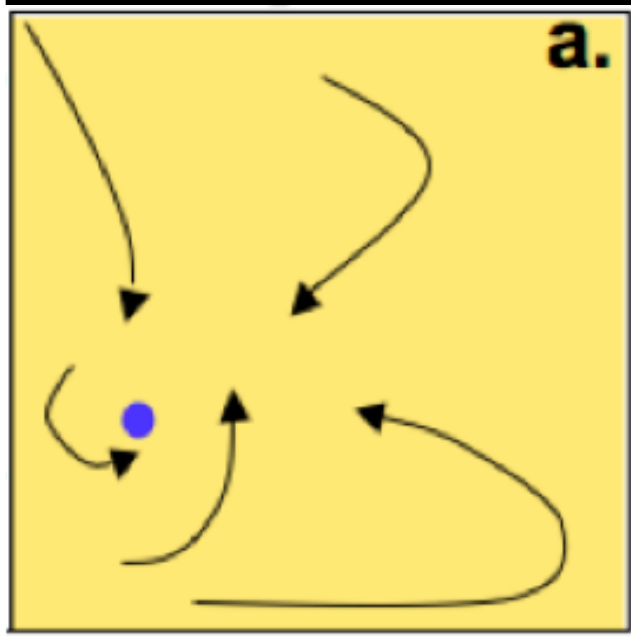
Densidad de los depredadores



Densidad de la roya

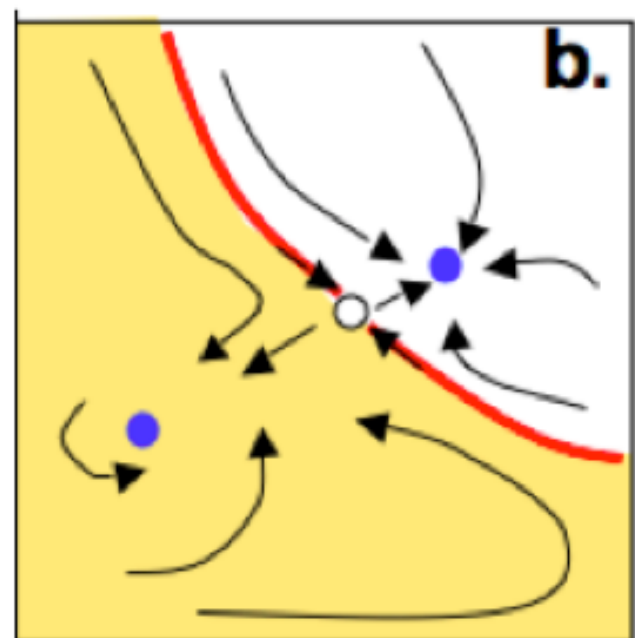
d.

Densidad de los depredadores



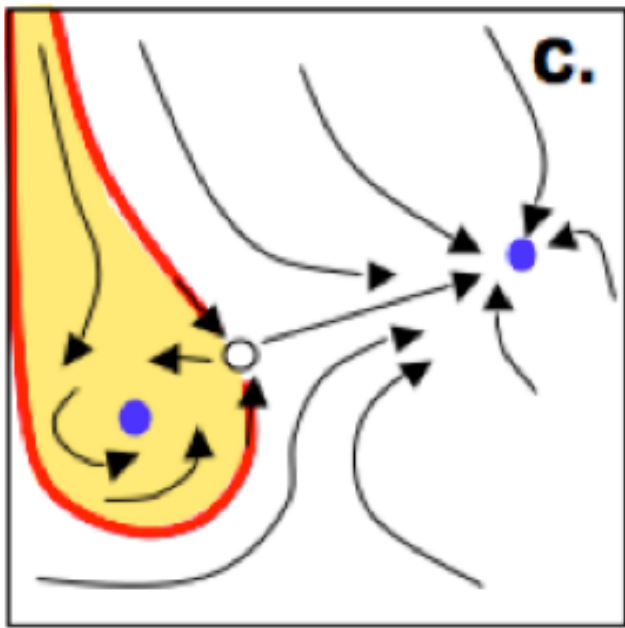
Densidad de la roya

Densidad de los depredadores



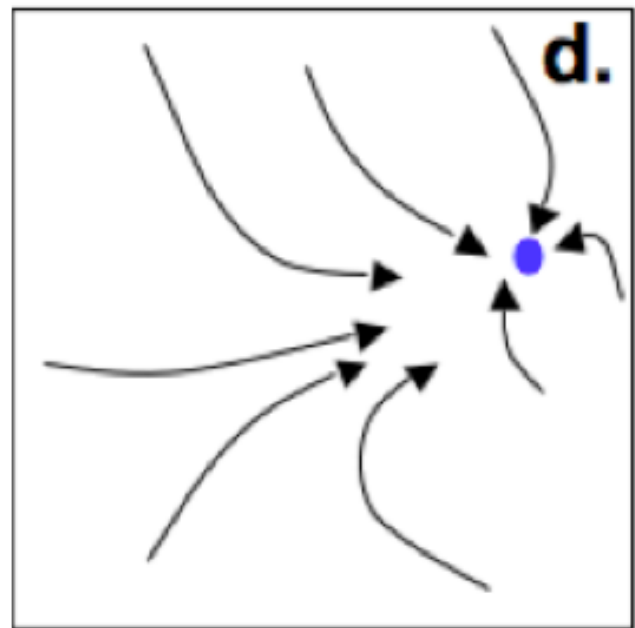
Densidad de la roya

Densidad de los depredadores

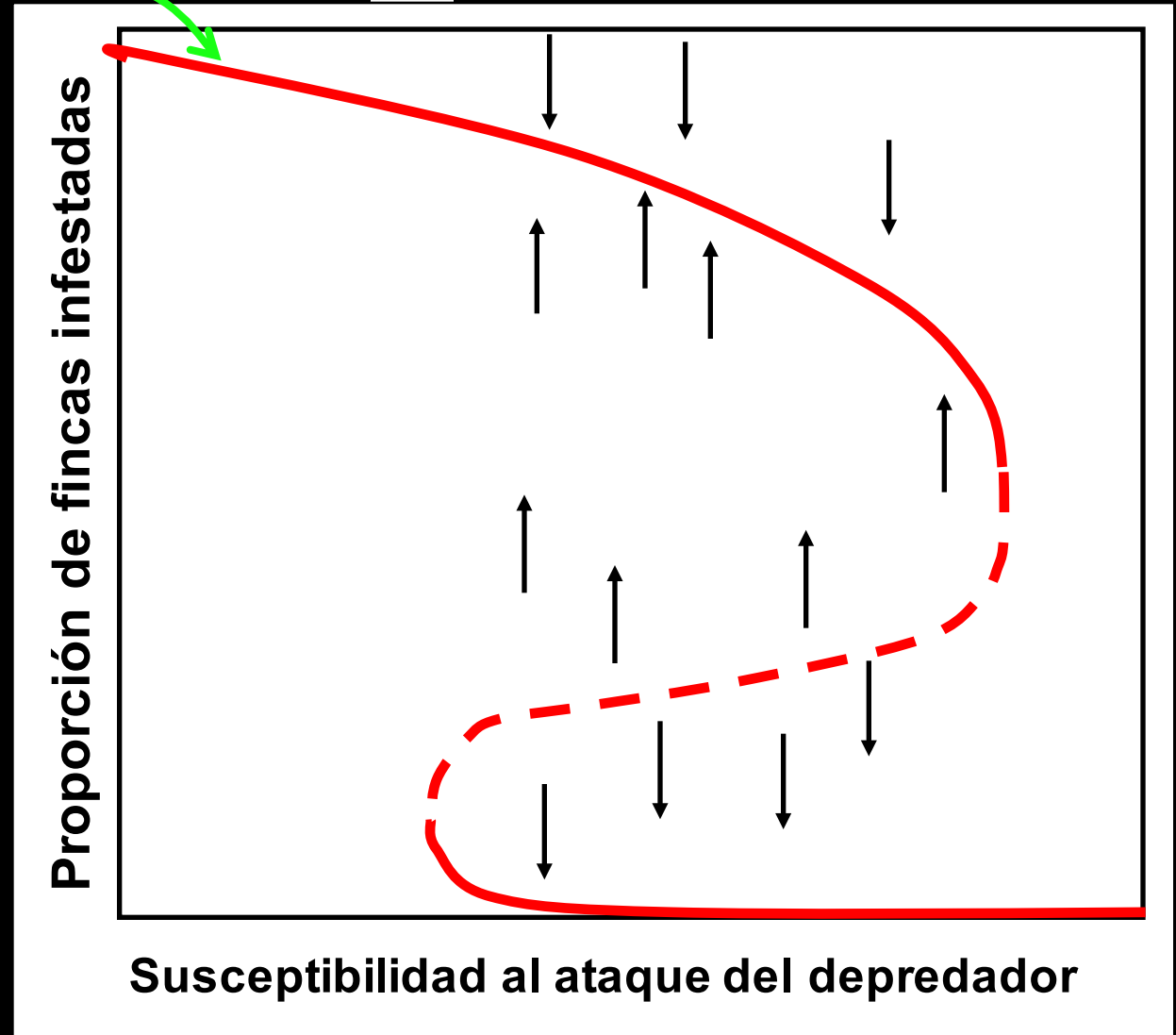
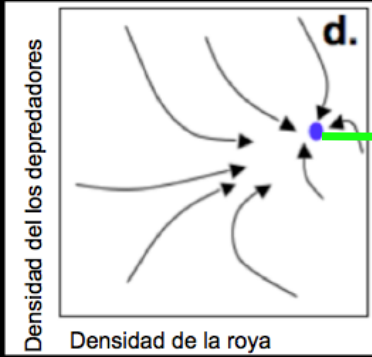


Densidad de la roya

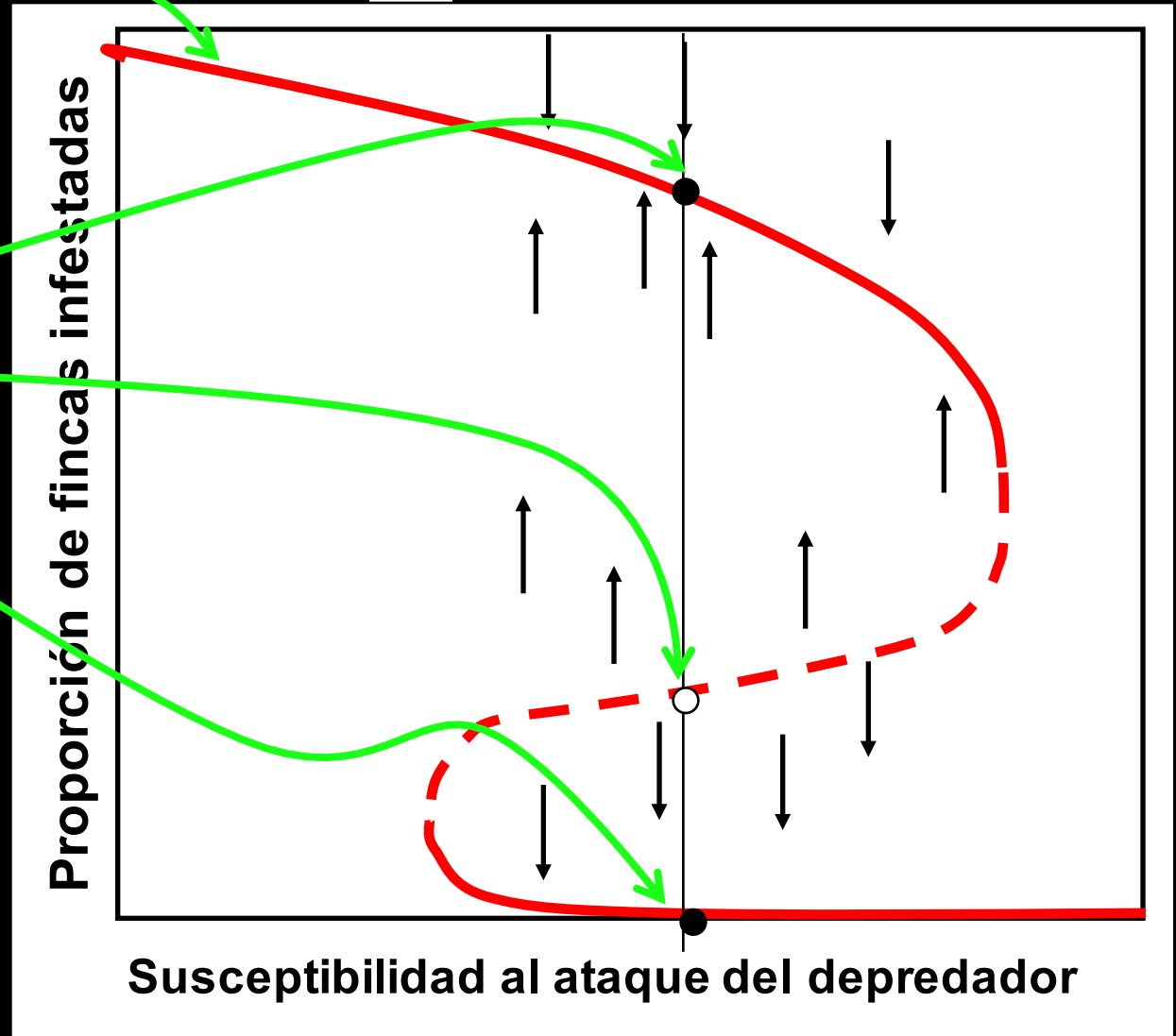
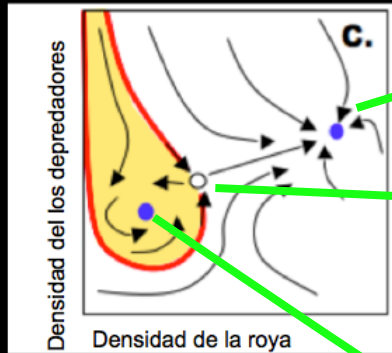
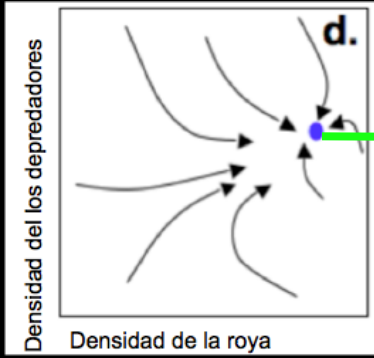
Densidad de los depredadores



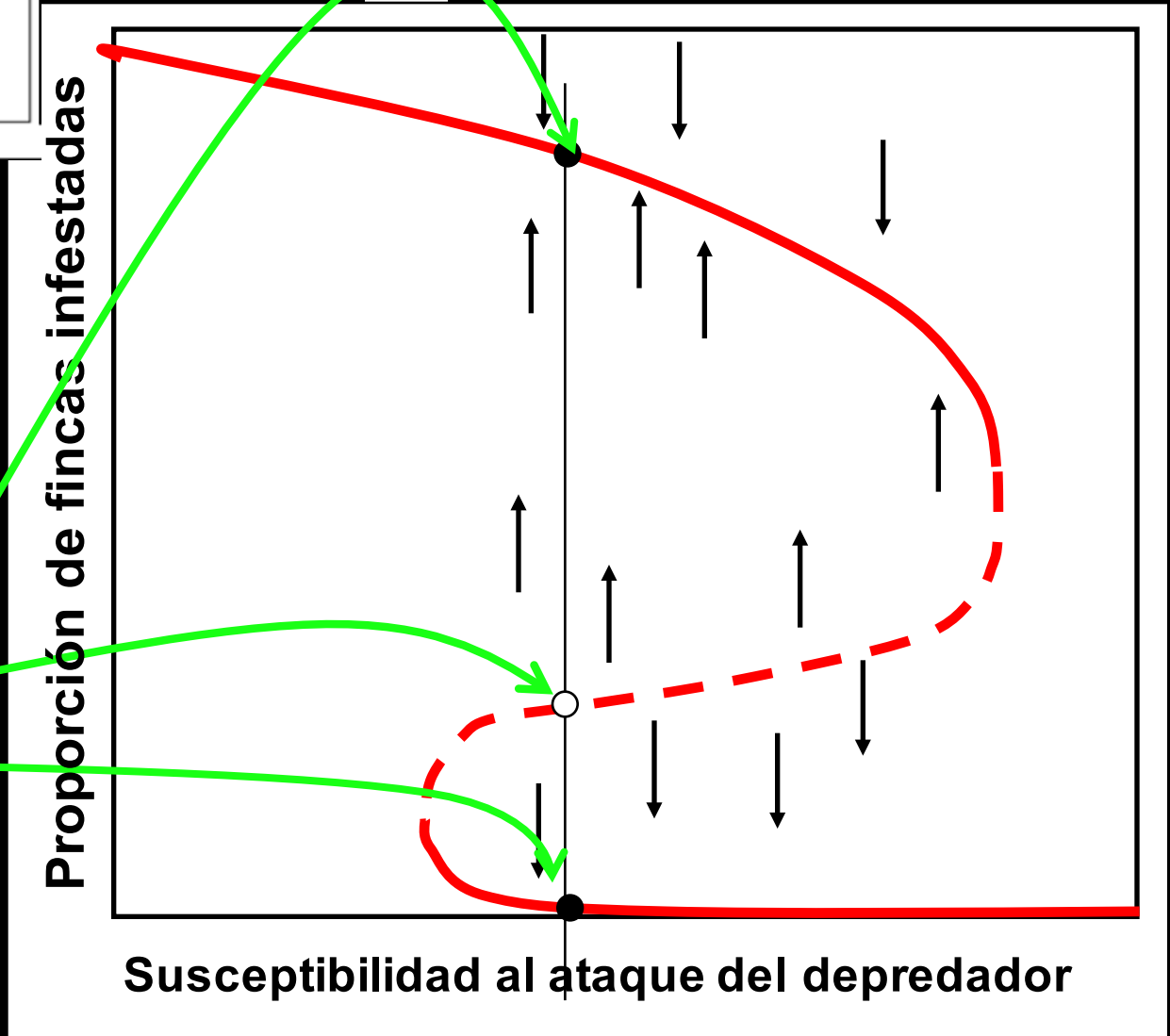
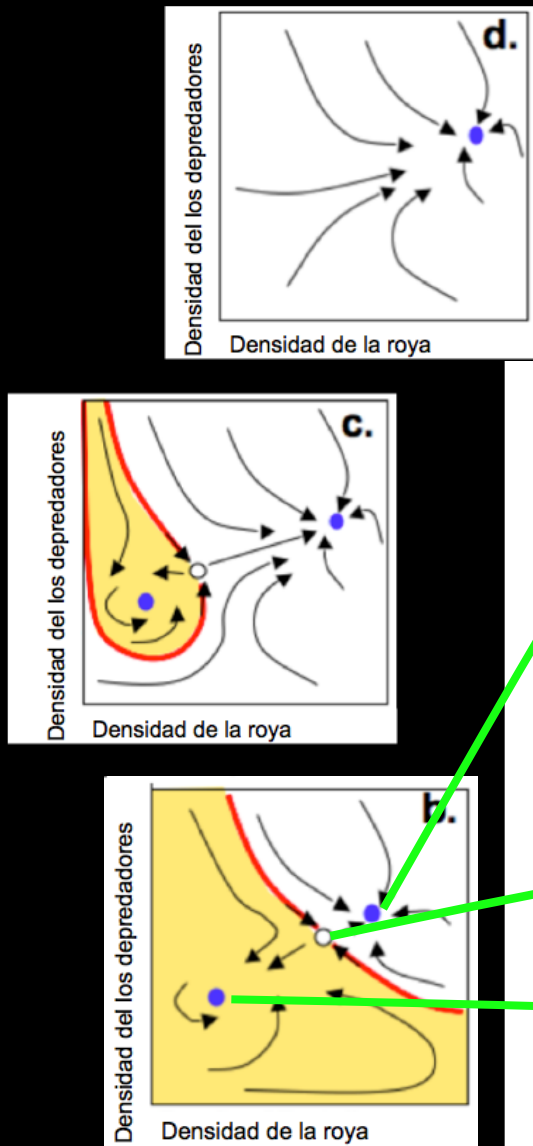
Densidad de la roya



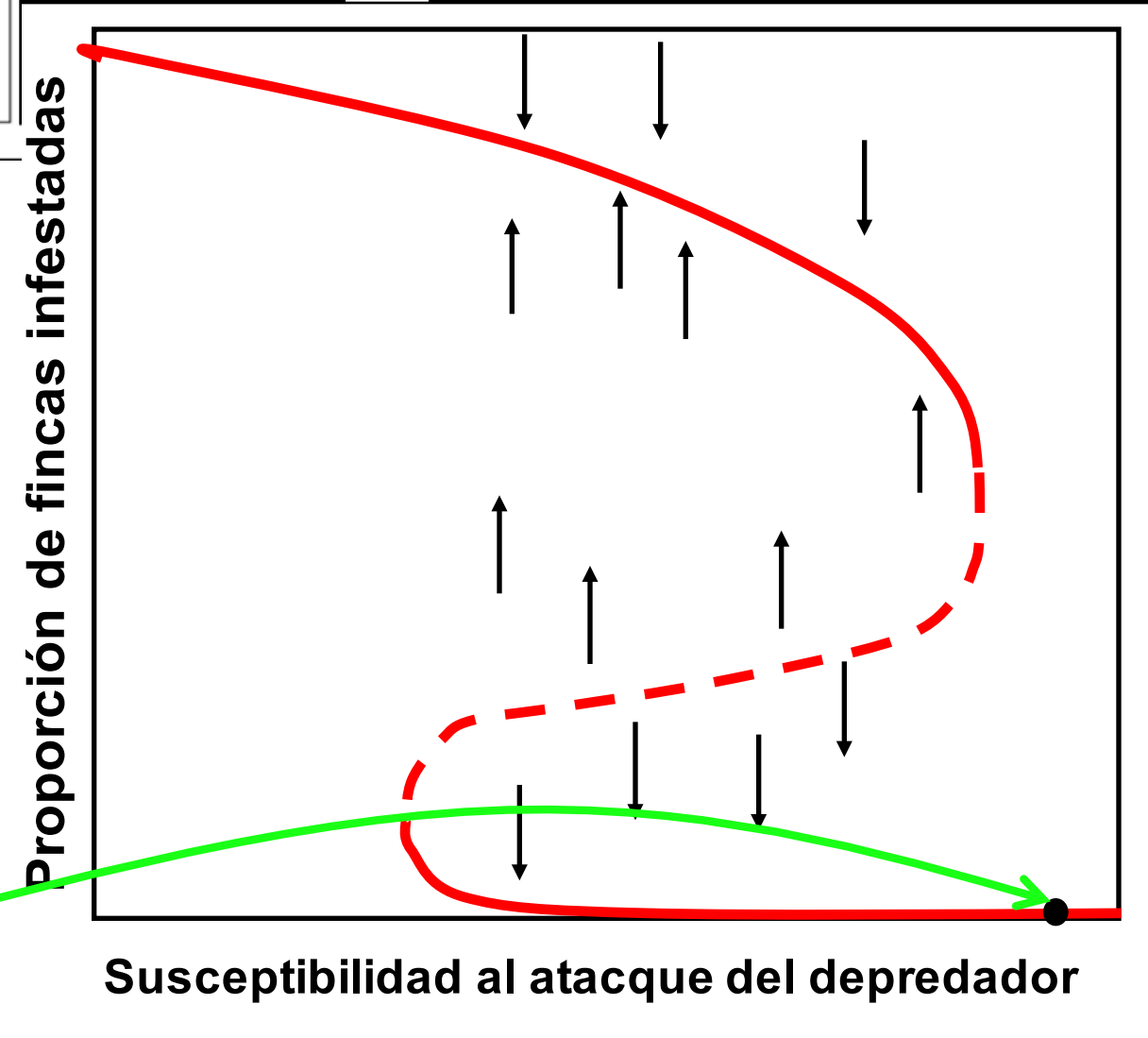
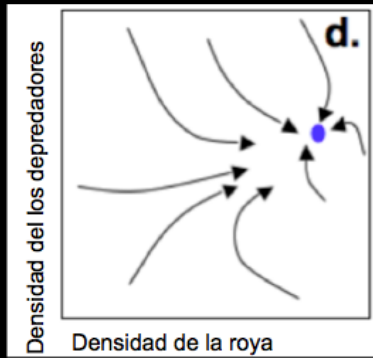
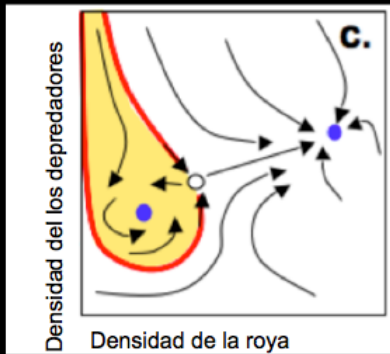
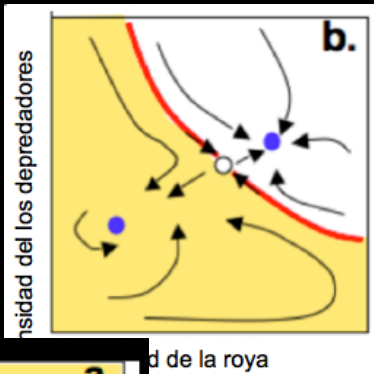
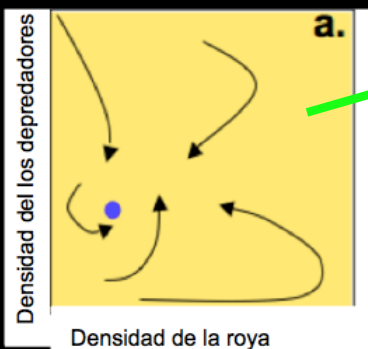
Vandermeer et al.(2014): Bioscience



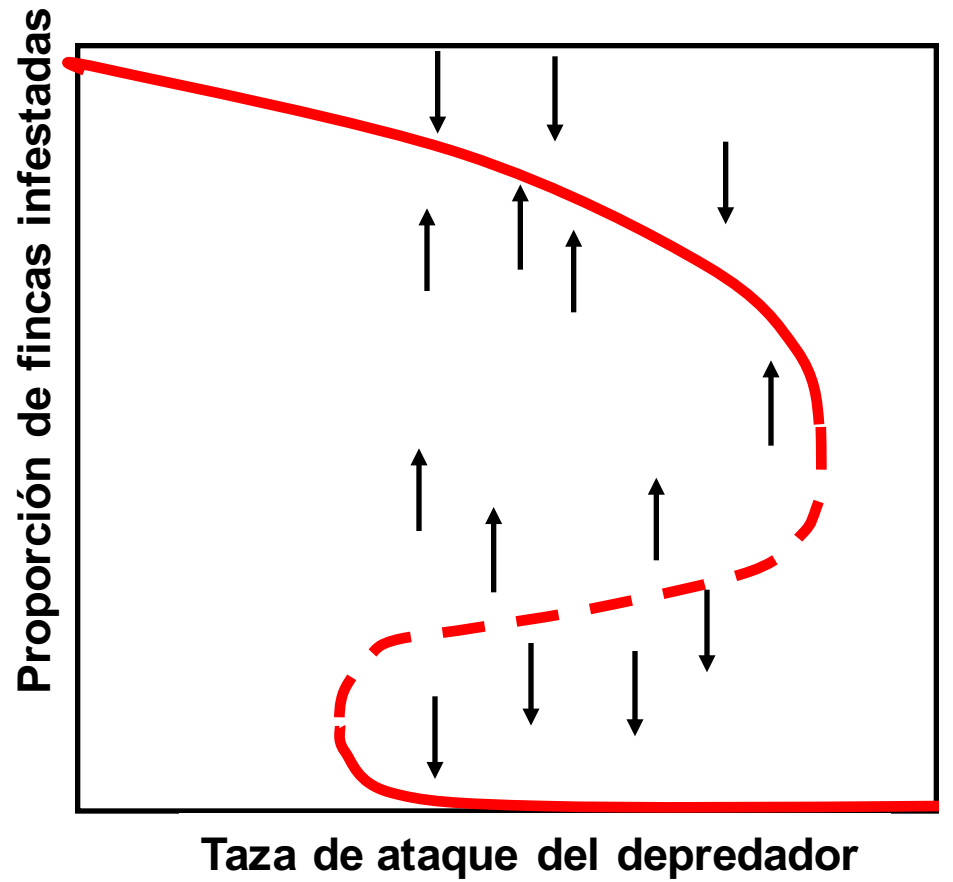
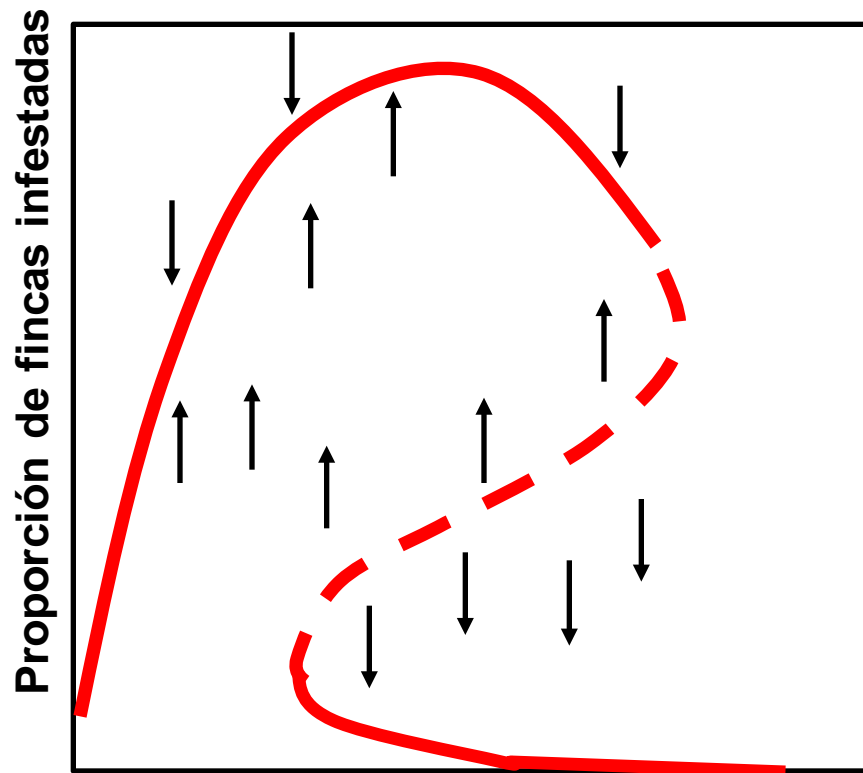
Vandermeer et al.(2014): Bioscience

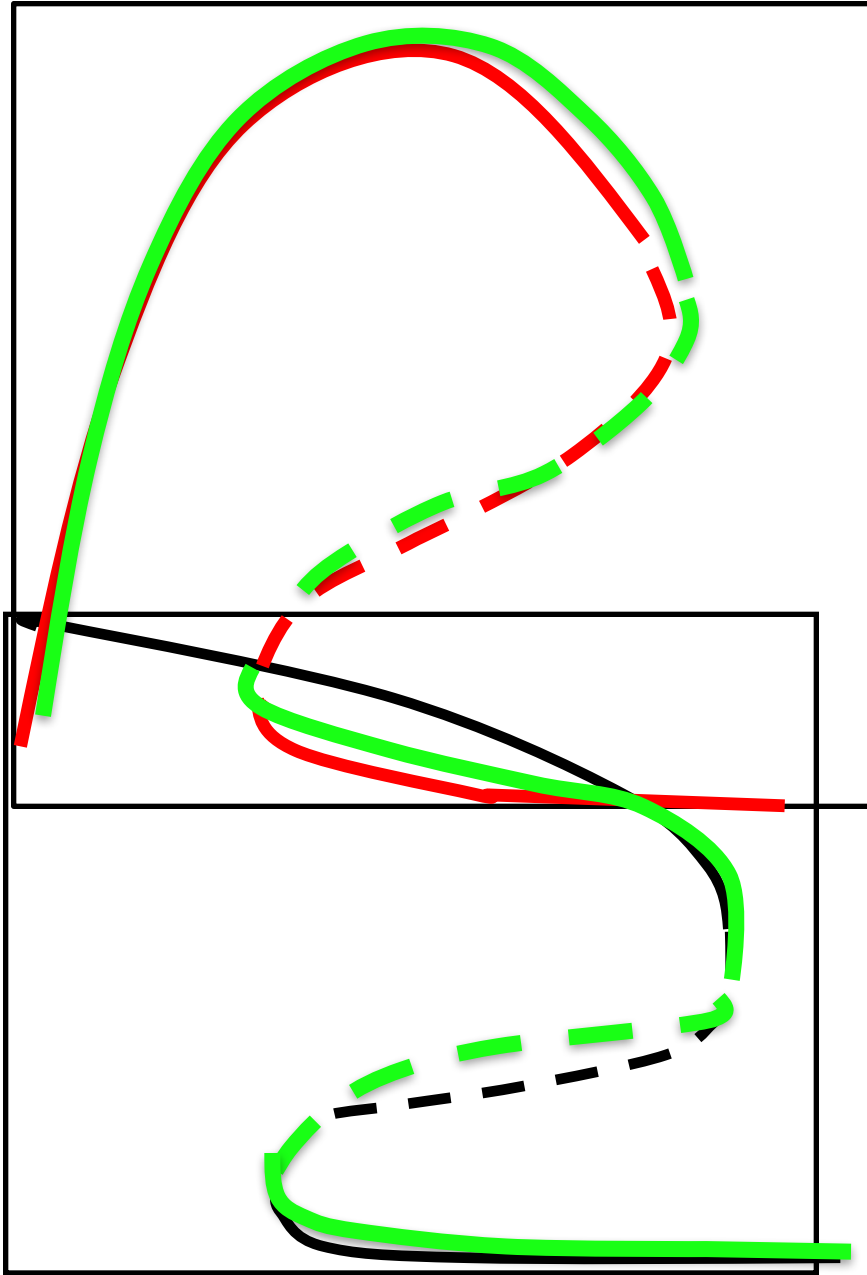


Vandermeer et al.(2014): Bioscience

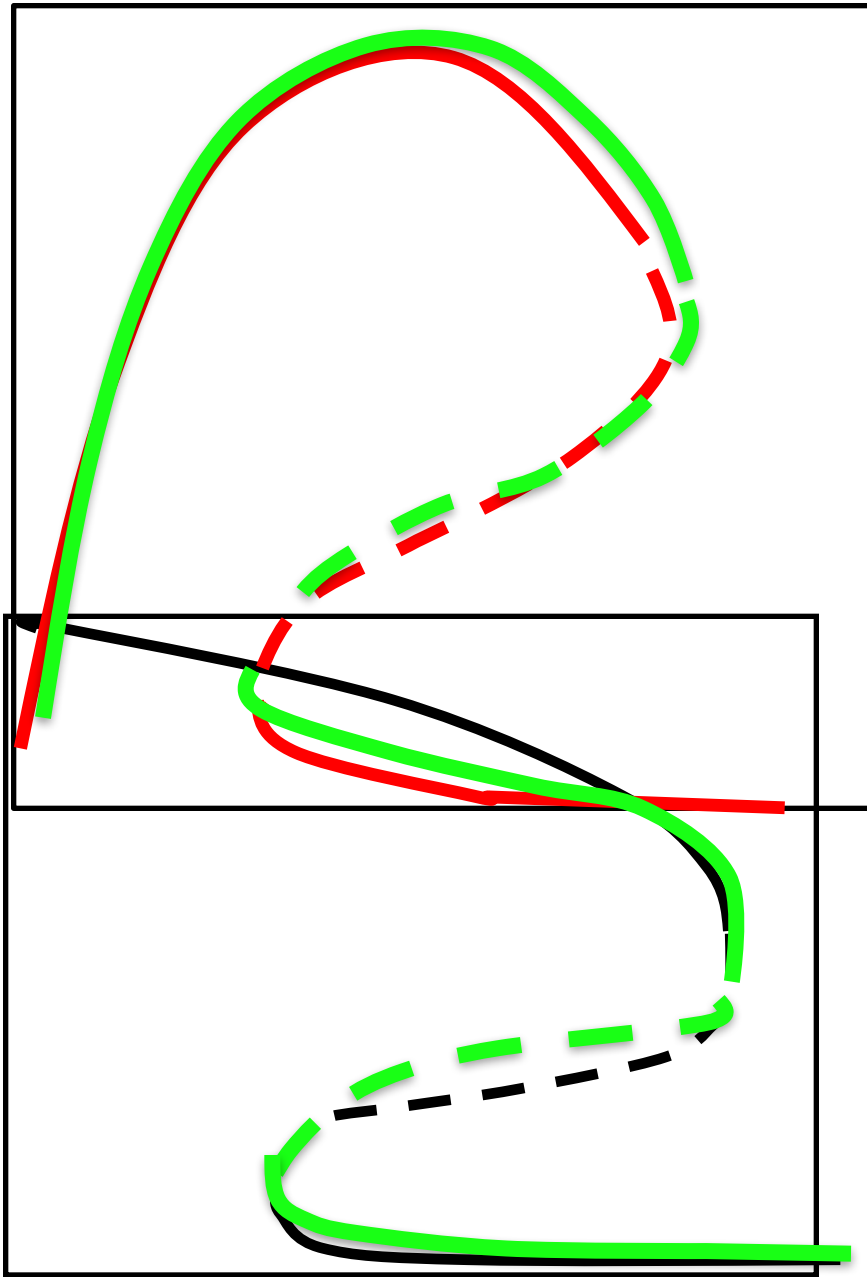


Vandermeer et al.(2014): Bioscience

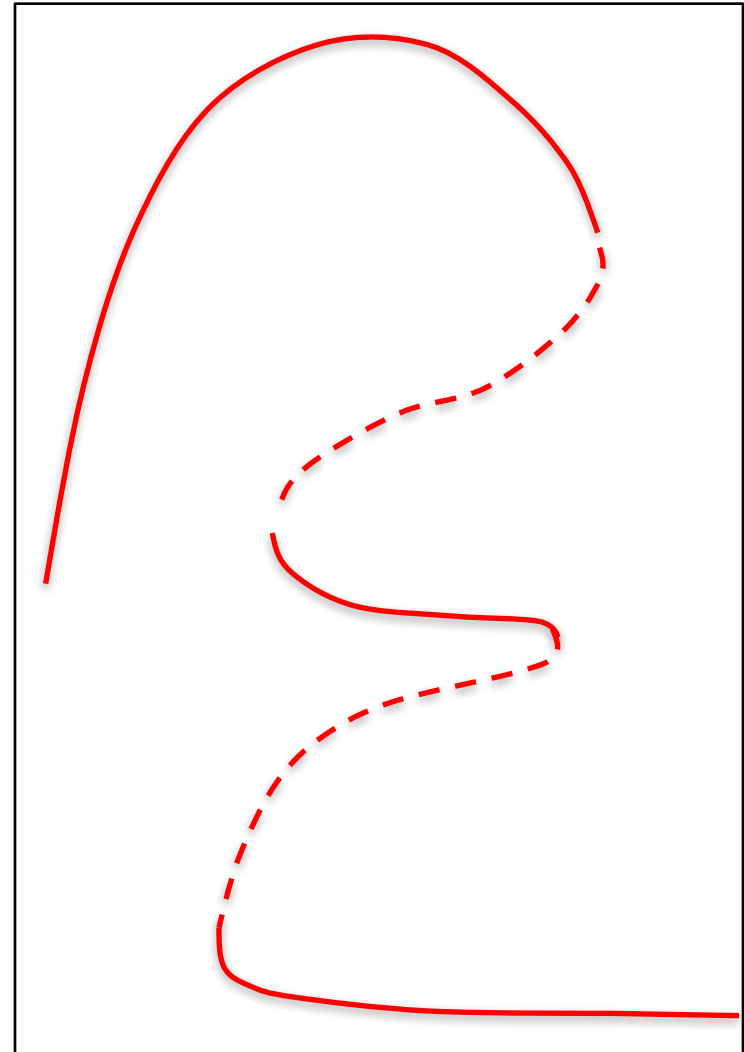




Vandermeer et al., (2015) <http://arxiv.org/abs/1510.05849>

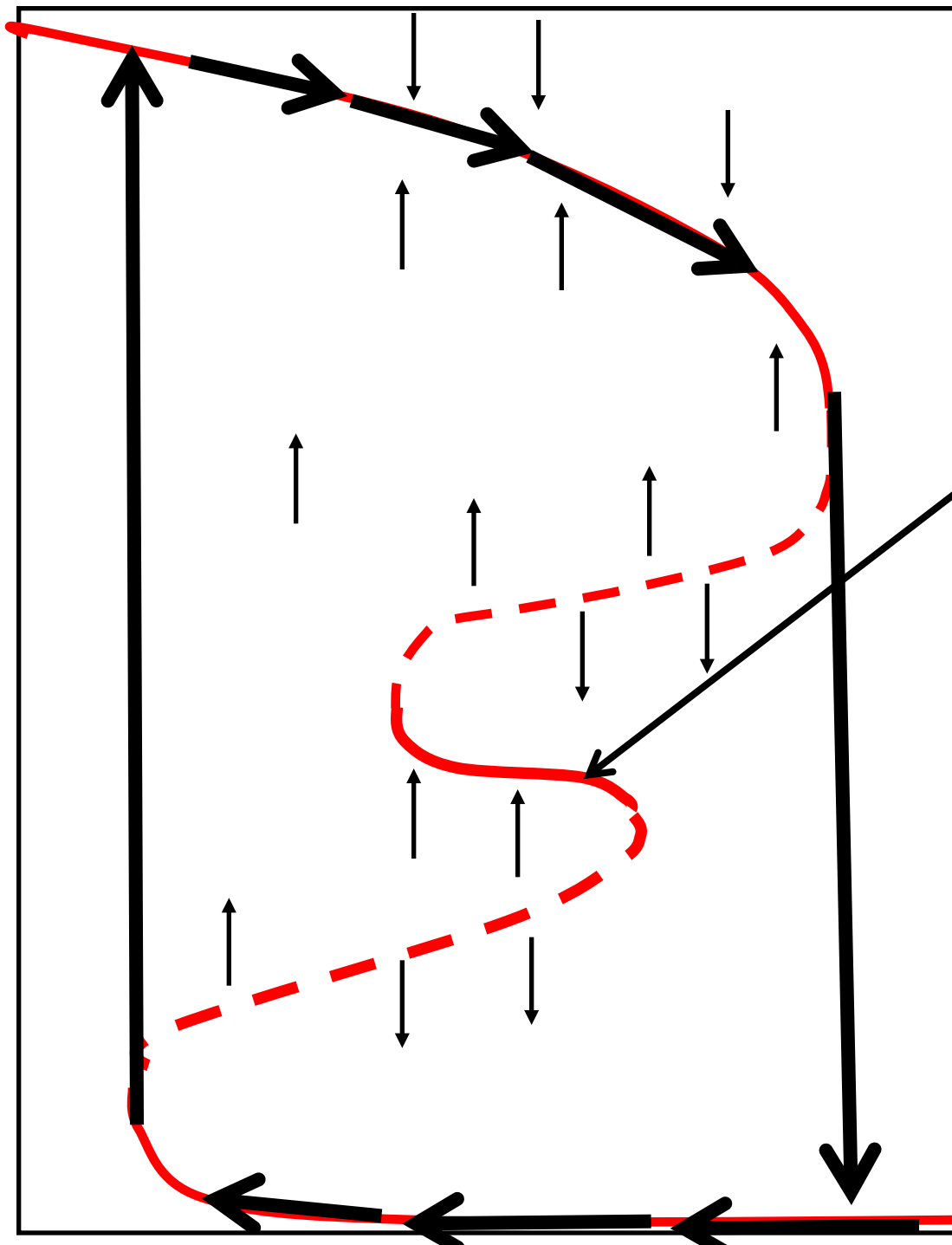


Proporción de fincas infestadas



Area de bosque en el paisaje

Vandermeer et al., (2015) <http://arxiv.org/abs/1510.05849>



Estabilidad
escondida

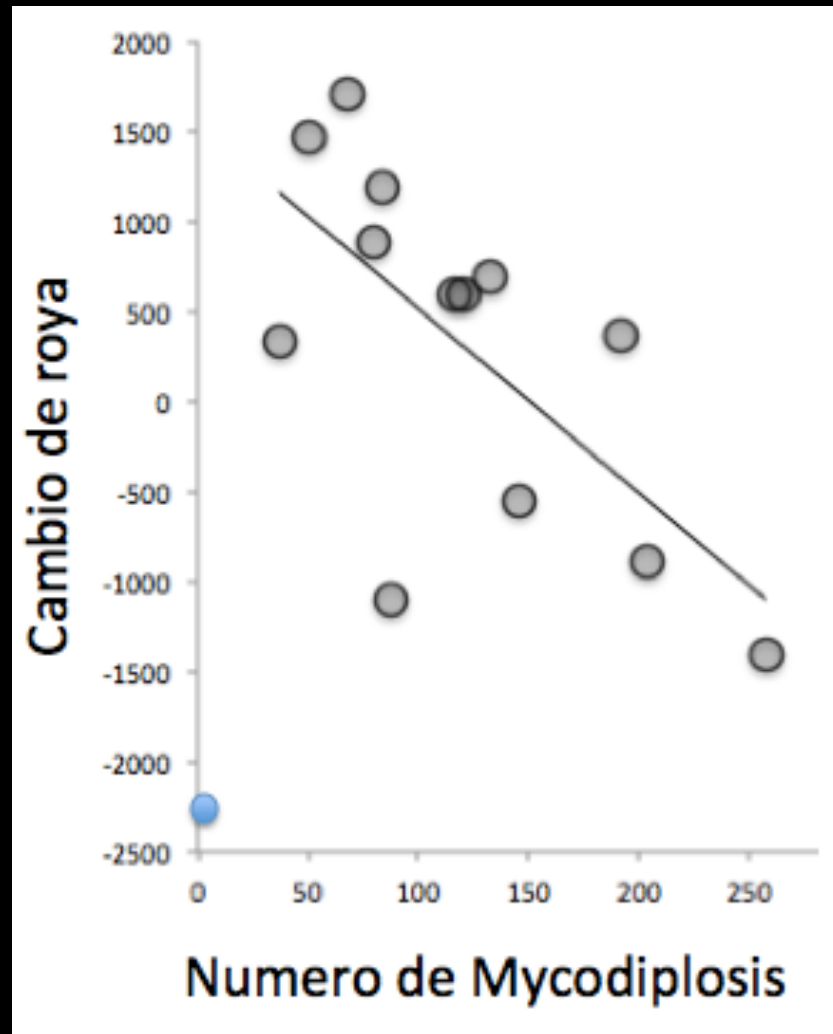
Area de bosque en el paisaje





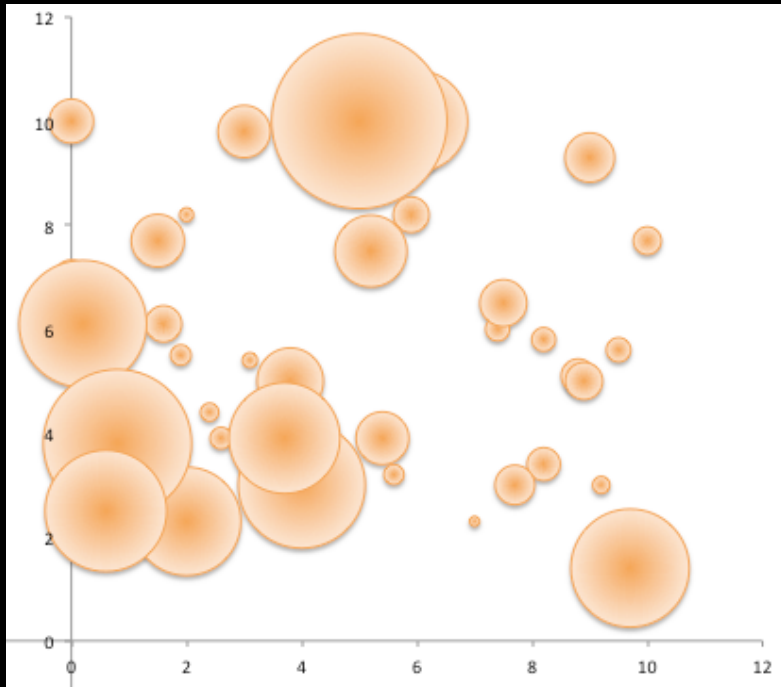


13 semanas en una planta en México

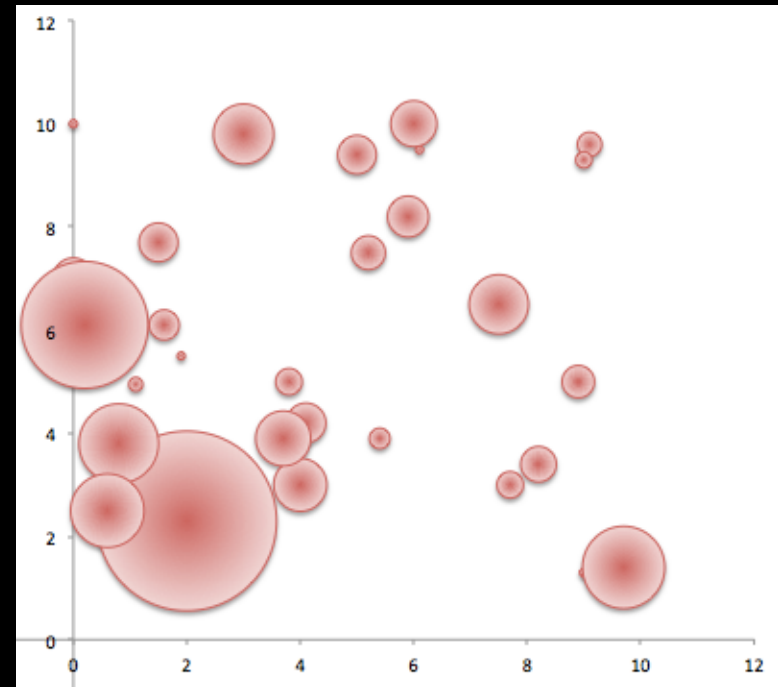


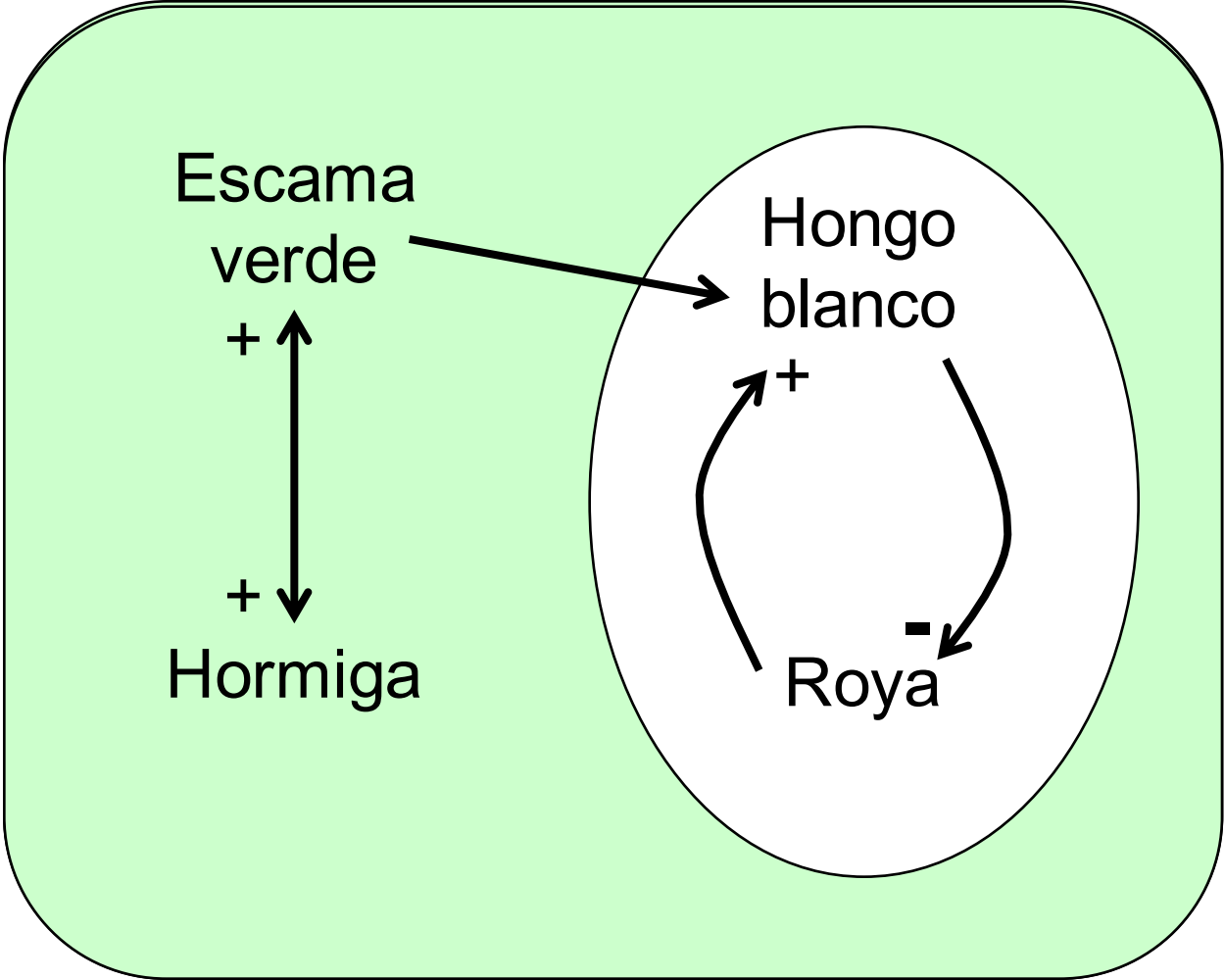
Una parcela en Puerto Rico

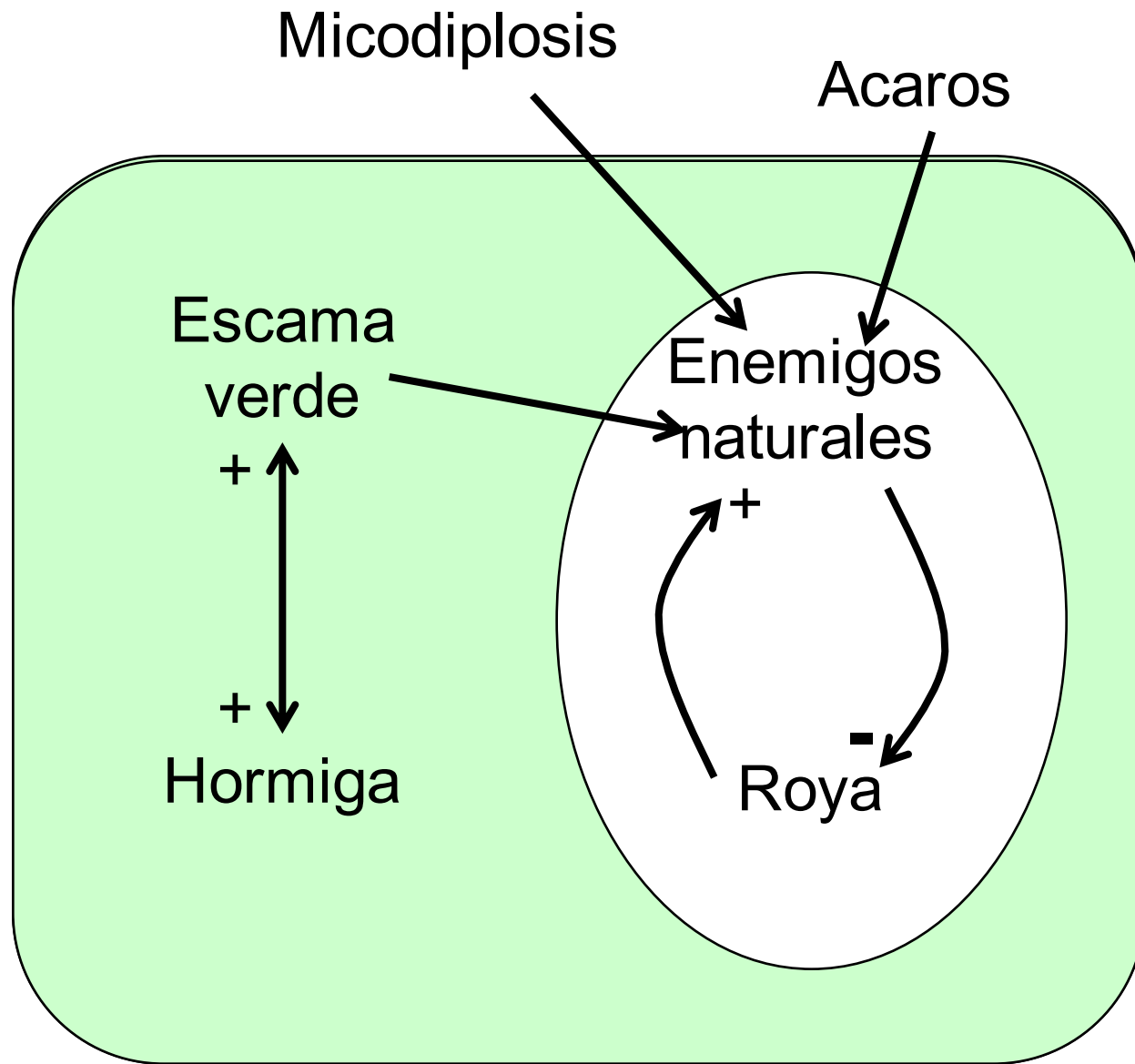
La Roya



Mycodiplosis







Micodiplosis

Acaros

Escama
verde

Enemigos
naturales

+ ↑
+ ↓
Hormiga

Roya

Proc. Natl. Acad. Sci. USA
Vol. 94, pp. 12243–12248, November 1997

Perspective

A total system approach to sustainable pest management

*W. J. Lewis**[†], *J. C. van Lenteren*[‡], *Sharad C. Phatak*[§], and *J. H. Tumlinson, III*[¶]

**Insect Biology and Population Management Research Laboratory, Agricultural Research Service, United States Department of Agriculture, P.O. Box 748, Tifton, GA 31793; †Department of Entomology, Agricultural University, P.O. Box 8031, 6700 EH Wageningen, The Netherlands; ‡Department of Horticulture, Coastal Plain Experiment Station, University of Georgia, P.O. Box 748, Tifton, GA 31793; and ¶United States Department of Agriculture-Agricultural Research Service, Center for Medical, Agricultural, and Veterinary Entomology, P.O. Box 14565, Gainesville, FL 32604*

Contributed by J. H. Tumlinson, III, August 13, 1997

Conclusiones

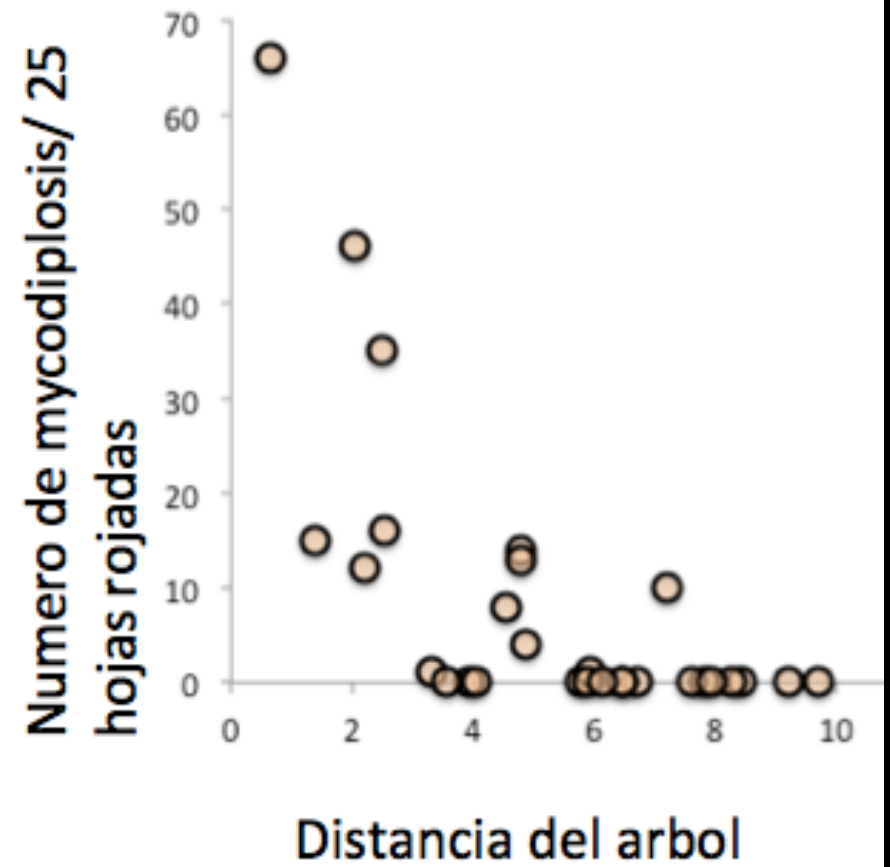
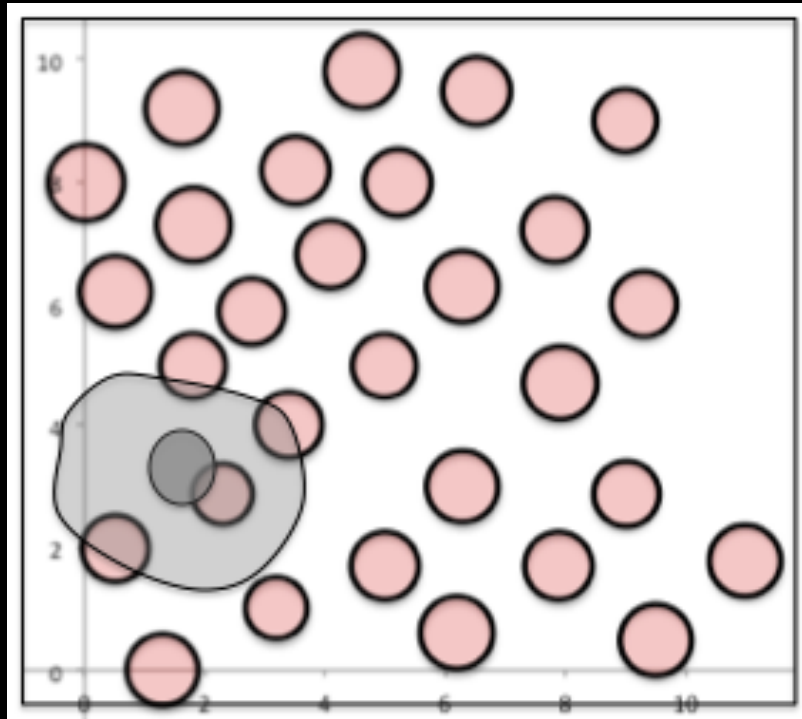
1. Transmisión por viento en escalas distintas, resuta en histeresis y transiciones críticas – sorpresas inevitables
2. El efecto de sombra en transmisión y germinación fortaleza el patrón de histeresis.
3. Micoparásitos y depredadores son comunes, aunque son bastante variables en espacio.
4. La combinación de transmisión a diferentes escalas y enemigos naturales pueden resultar en complicaciones inesperadas, como, por ejemplo, histeresis y estabilidades escondidas.
5. El “estilo” de manejo de la finca, y especialmente el paisaje, puede minimizar la roya mediante el control autónomo de transmisión y control autónomo biológico.

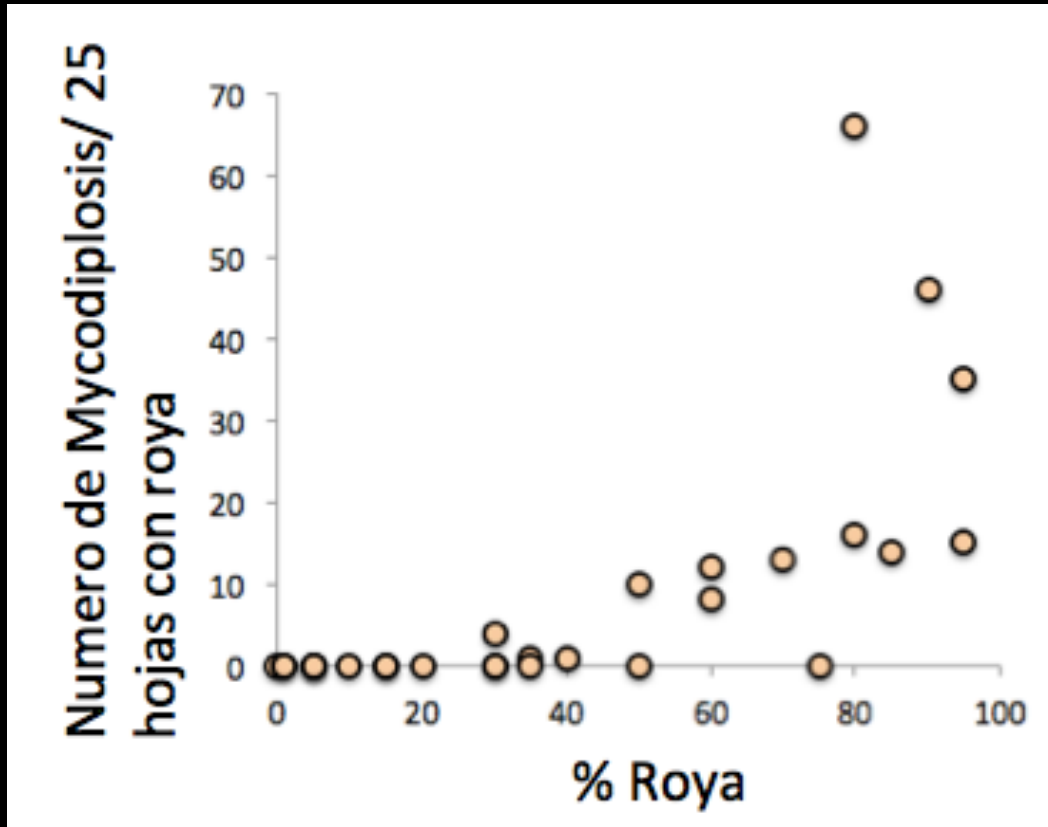
Gracias

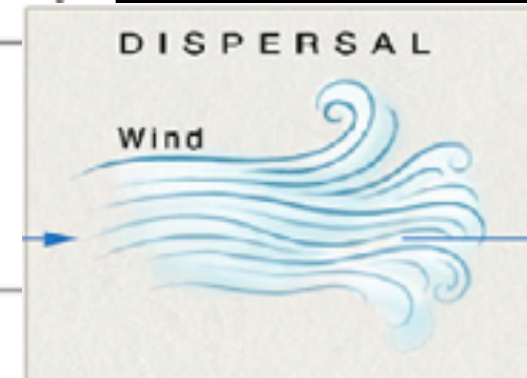
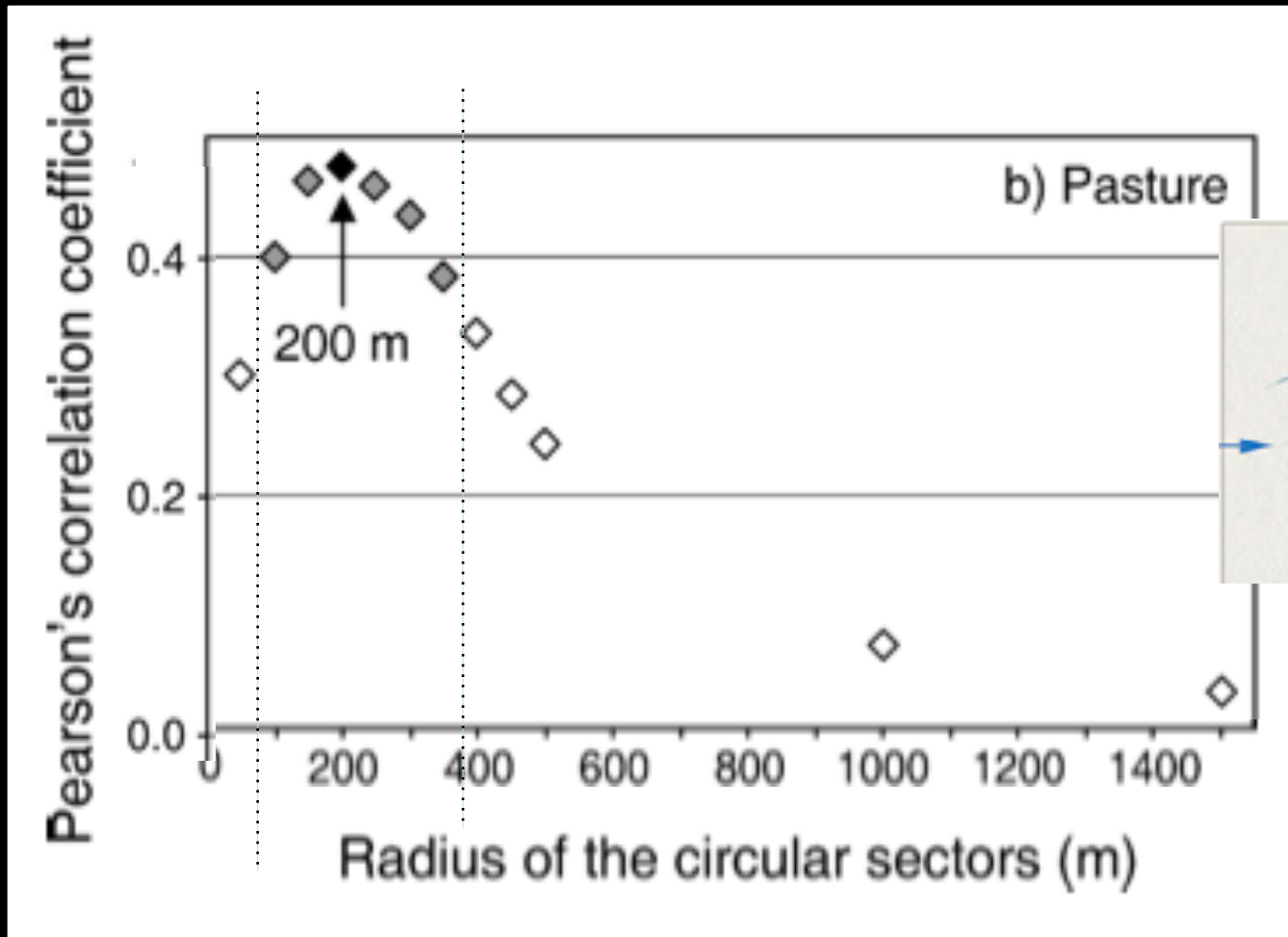












Avelino et al., (2012). Ecological Applications.

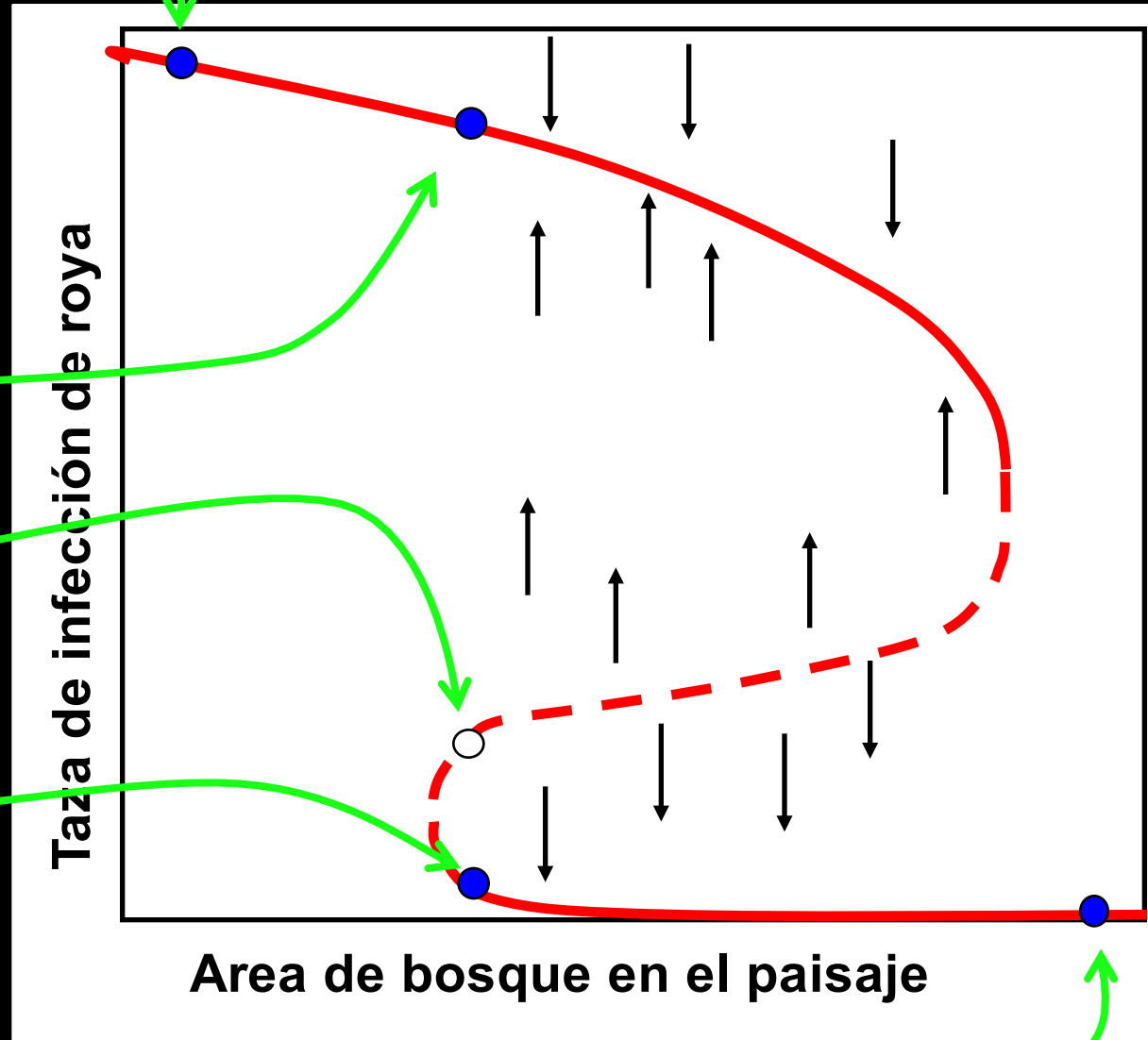
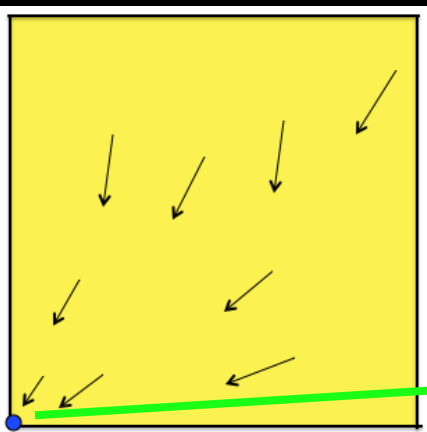
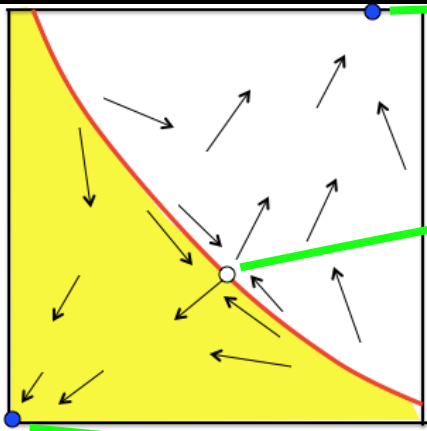
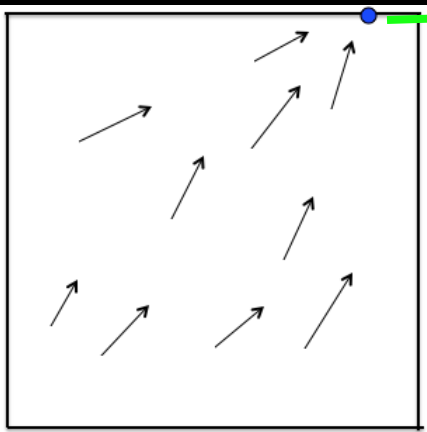
Table 1 Classified summary of the number of literature references to host density effects on disease incidence expressed as the proportion of diseased plants^a

Time scale	Type of pathogen	Correlation between host density and disease incidence			Refer
		Positive	Nil	Negative	
Short term	Fungus	1 (1)	0	2 (2)	21, 31, 47
	Virus	1 (1)	0	13 (5)	1, 2, 14, 16, 38, 44, 48, 61, 62, 64, 77, 97, 113
Medium term	Fungus	32 (23)	5 (4)	5 (3)	4-6, 9, 13, 15, 18, 22, 23, 28-30, 32, 33, 36, 49, 53, 54, 57, 60, 65, 67, 68, 70, 72, 73, 78, 79, 81, 82, 86, 88, 89, 95, 96, 98, 101, 102, 108, 115-117
	Virus	5 (3)	0	0	12, 39, 40, 92, 105
Long term	Fungus	0	1 (1)	4 (2)	76, 80, 91, 100, 110
	Virus	0	0	0	
Totals		39 (28)	6 (5)	24 (12)	

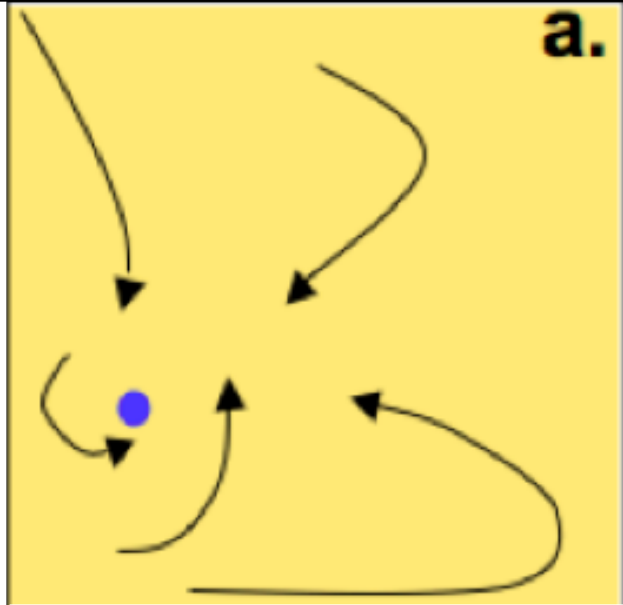
^a Figures in parentheses give the number of different host-pathogen combinations represented.



Burdon and Childers, (1982). Ann Rev Phytopathology

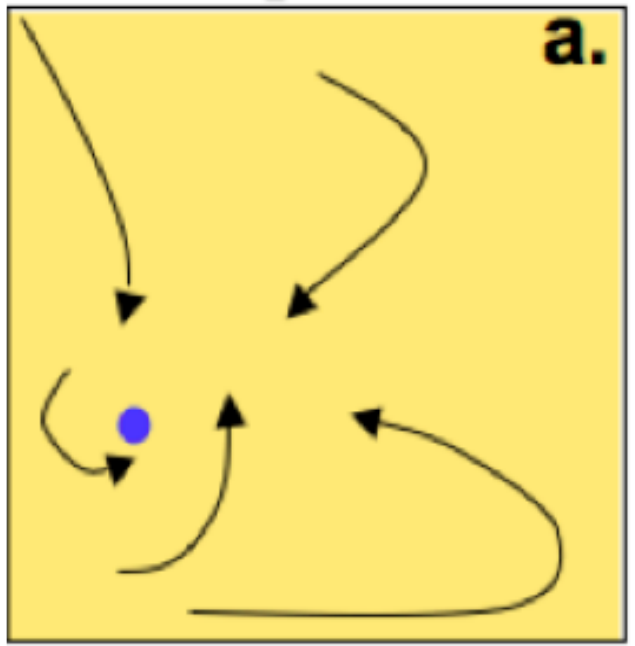


Densidad de los depredadores



Densidad de la roya

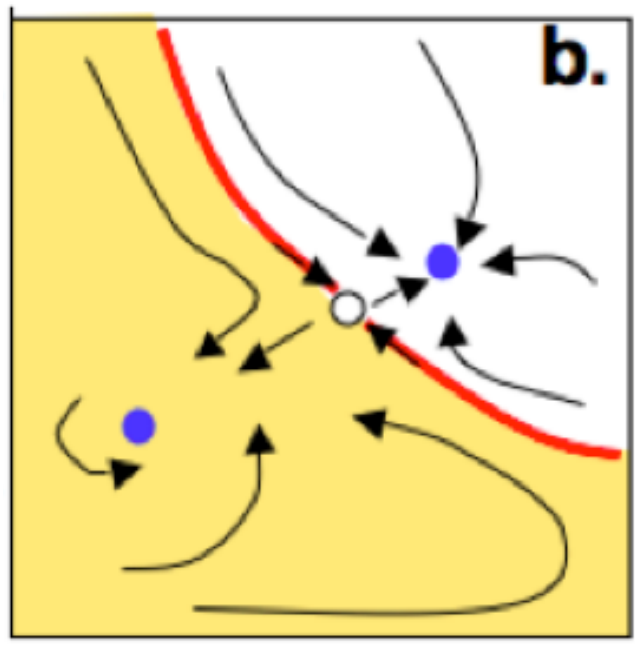
Densidad de los depredadores



Densidad de la roya

a.

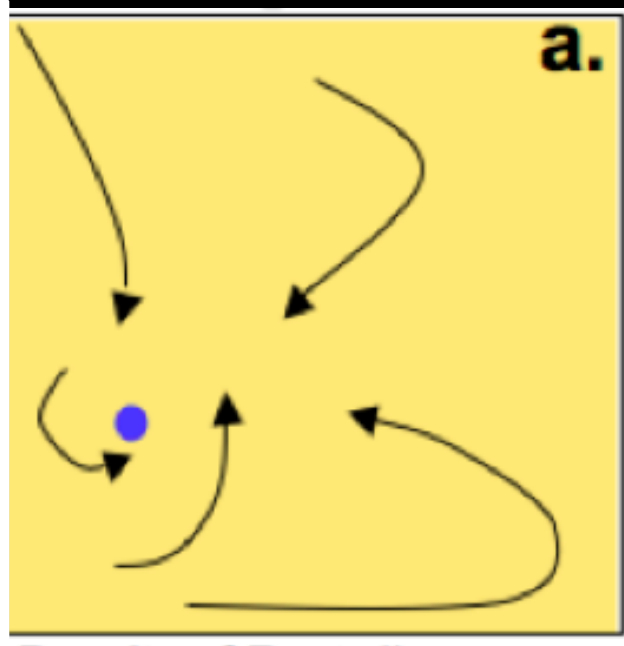
Densidad de los depredadores



Densidad de la roya

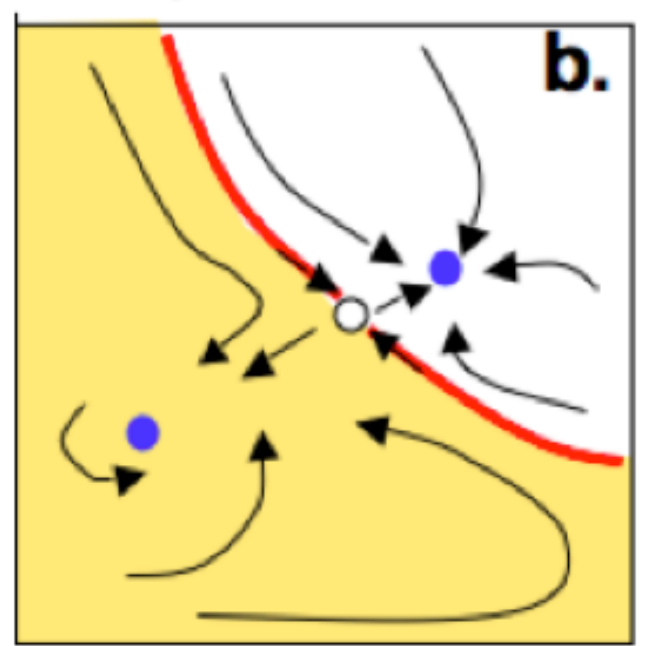
b.

Densidad del los depredadores



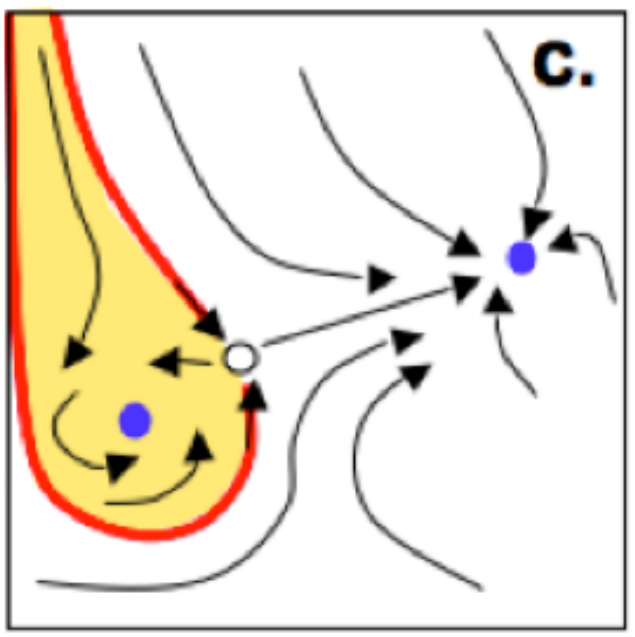
Densidad de la roya

Densidad del los depredadores



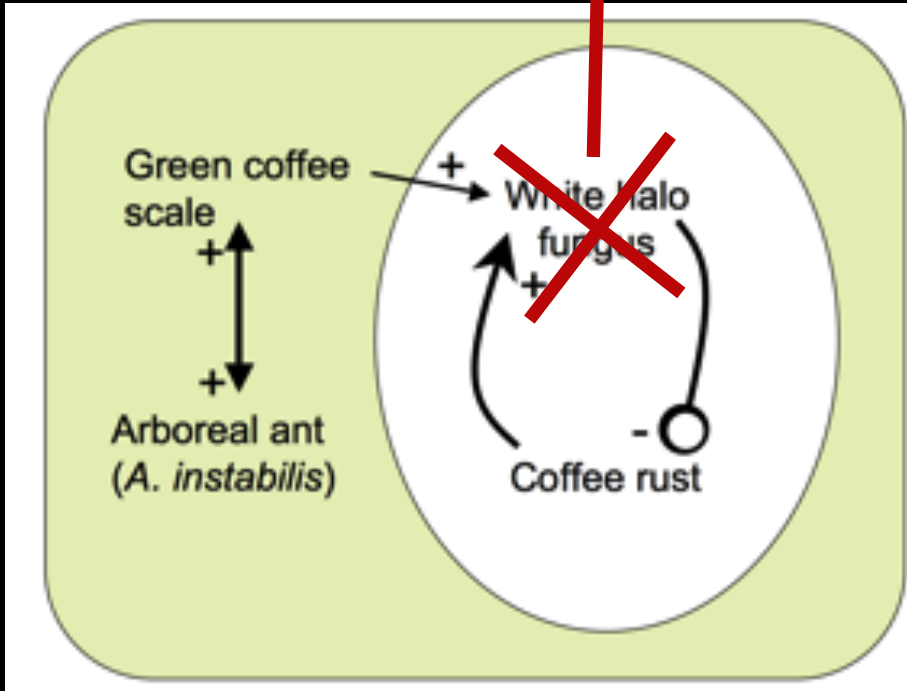
Densidad de la roya

Densidad del los depredadores

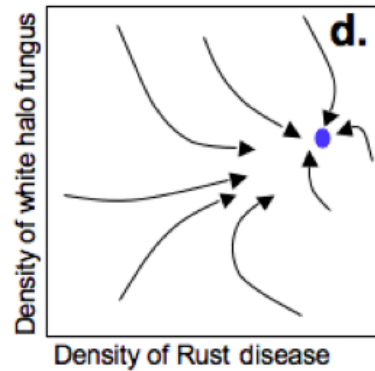
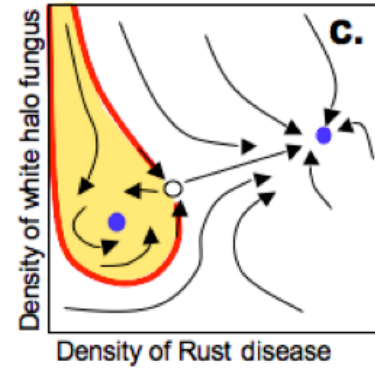
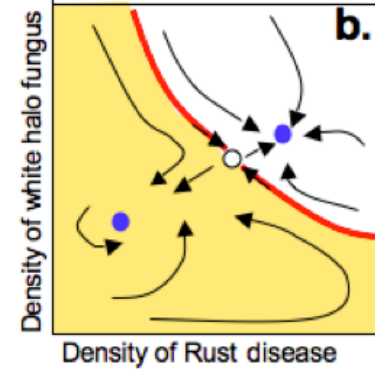
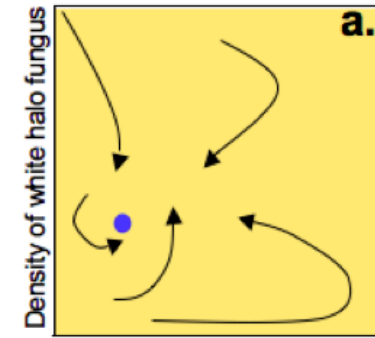


Densidad de la roya

La comunidad de micoparásitos



Decreasing carrying capacity for white halo fungus



Blue sky bifurcation

Global bifurcation

Saddle-node bifurcation

Rhodotorula

Trichosporon

Fellomyces

Eurotium

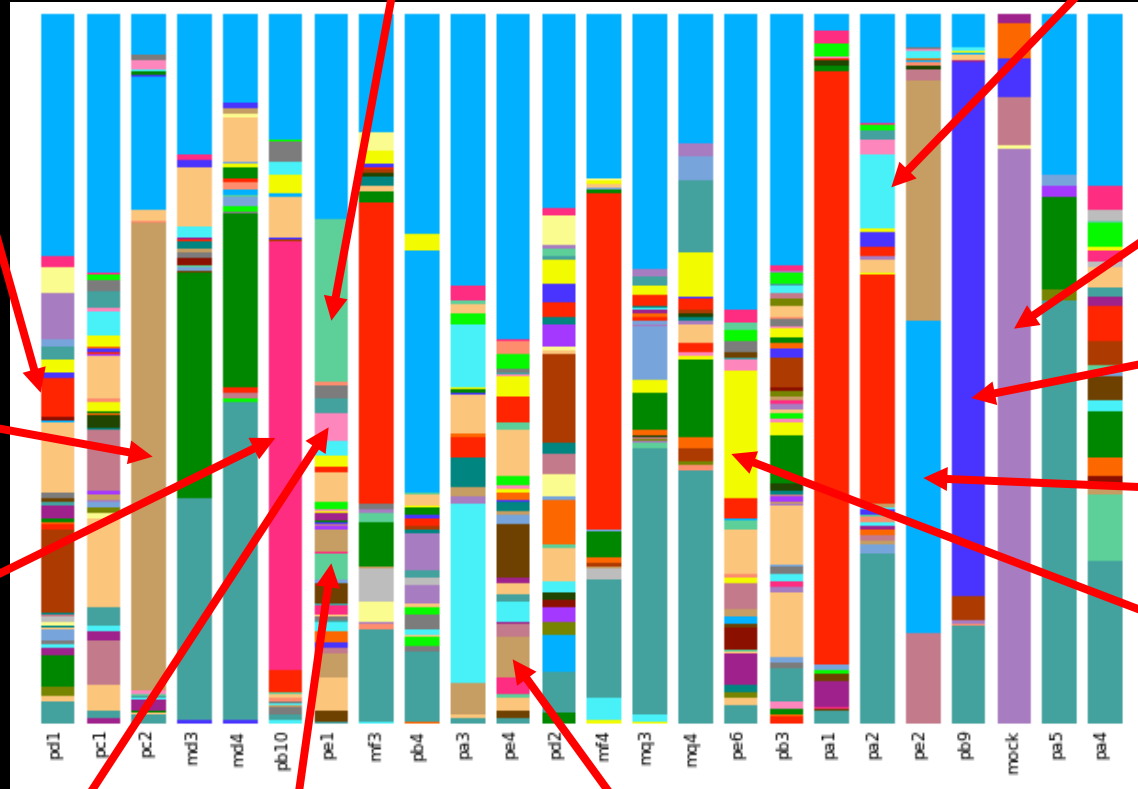
Acremonium

Verticillium

Lecanicillium

Simpliicillium

Cryptococcus

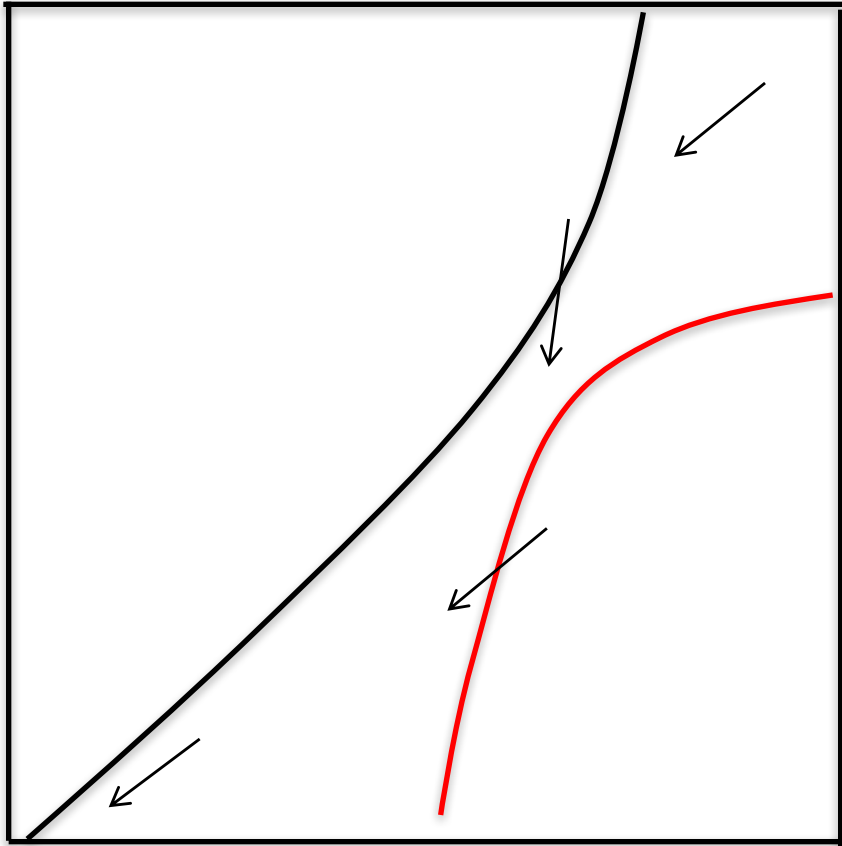


Kockovaella

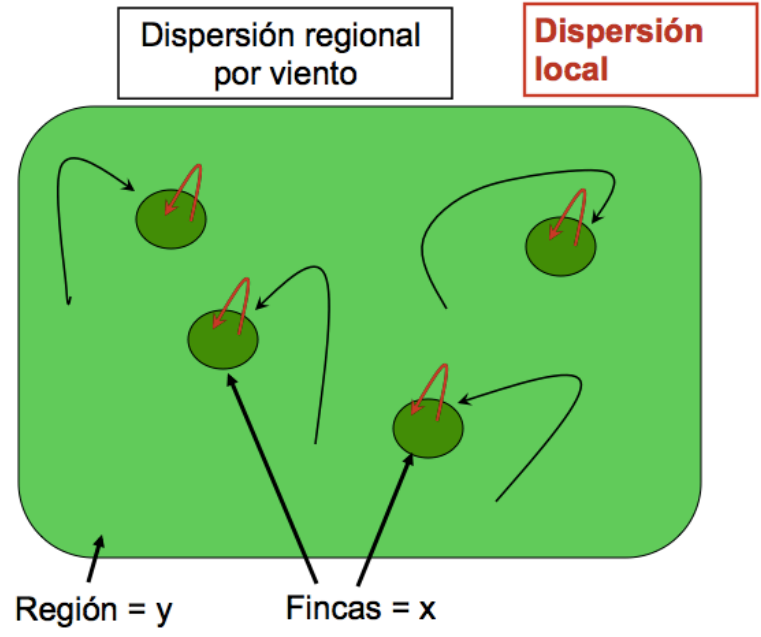
Candida

Didymella

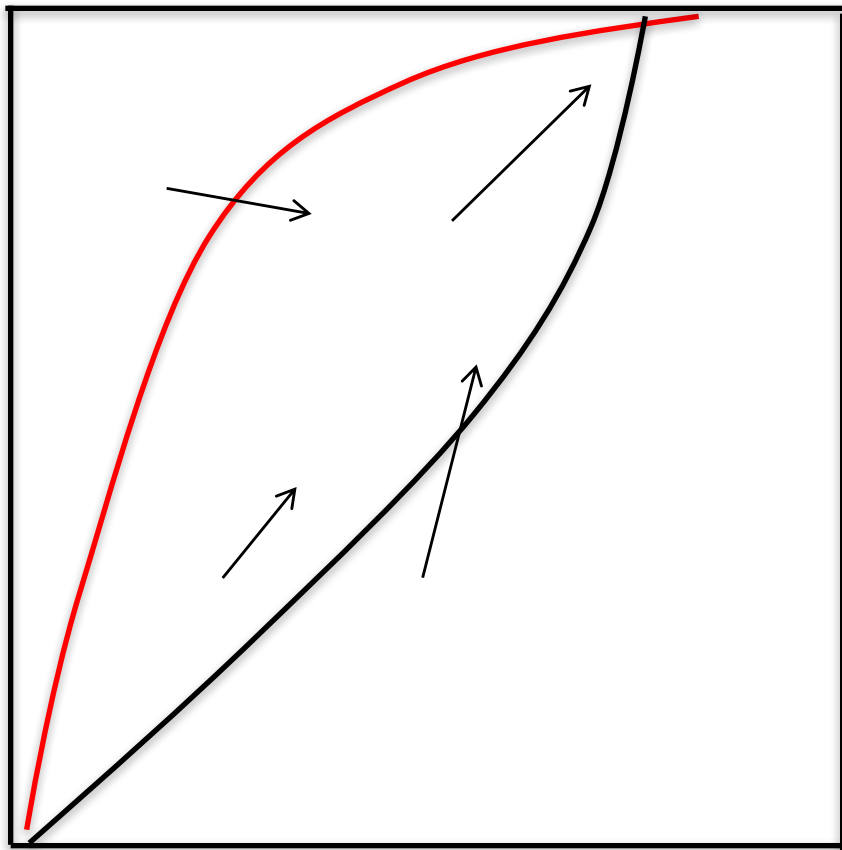
Taza de infección en una planta promedio



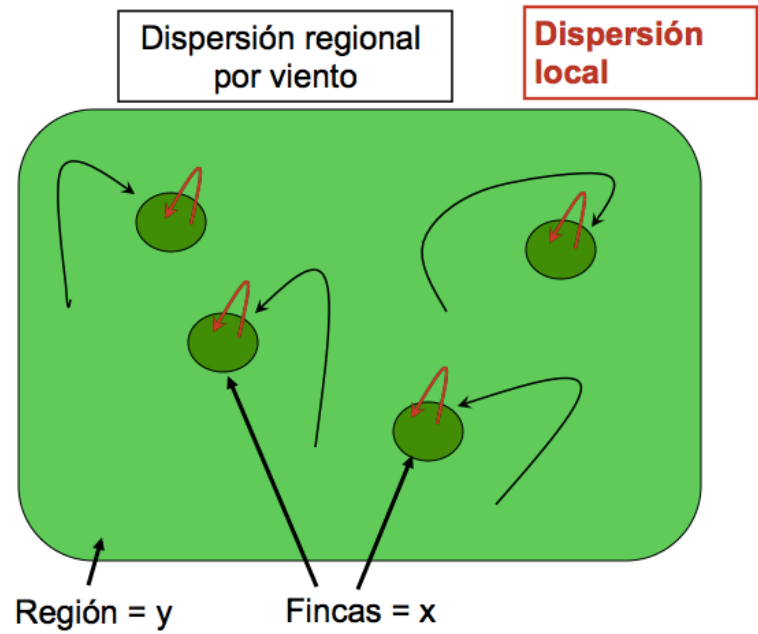
Taza de infección en una finca promedio



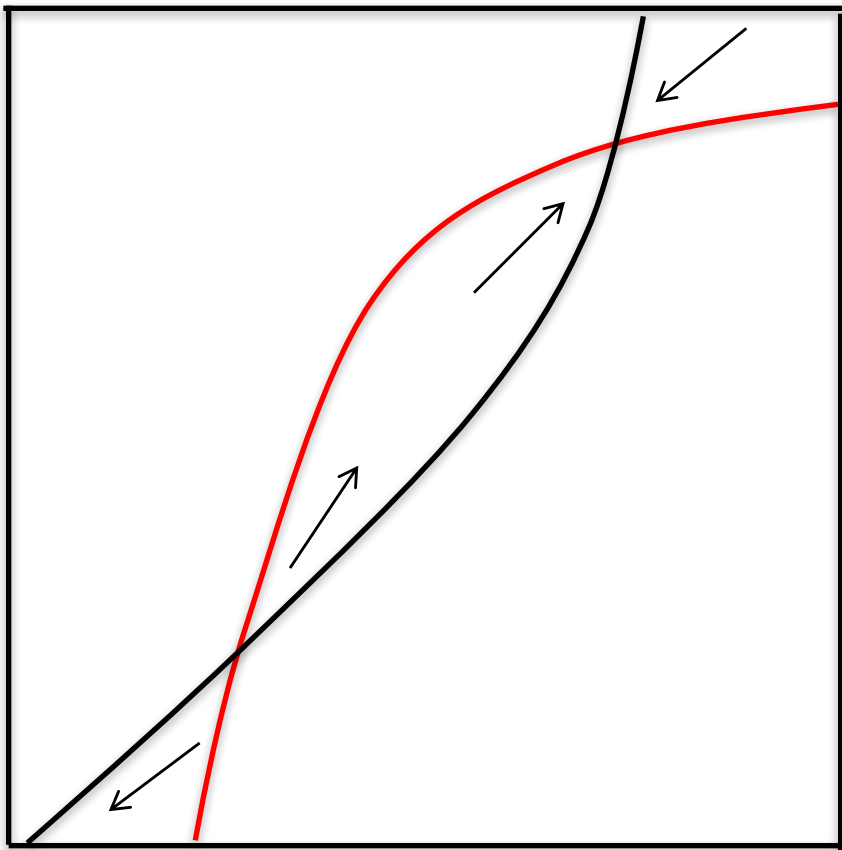
Taza de infección en una planta promedio



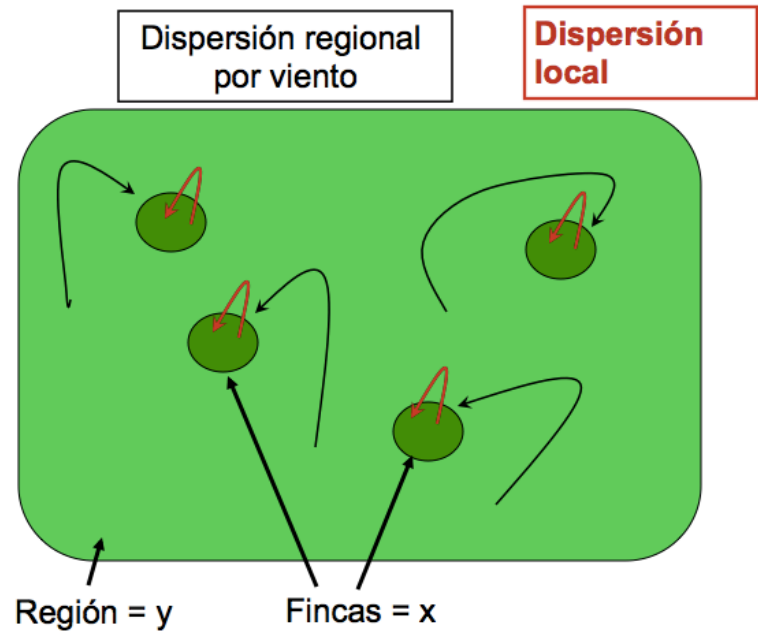
Taza de infección en una finca promedio



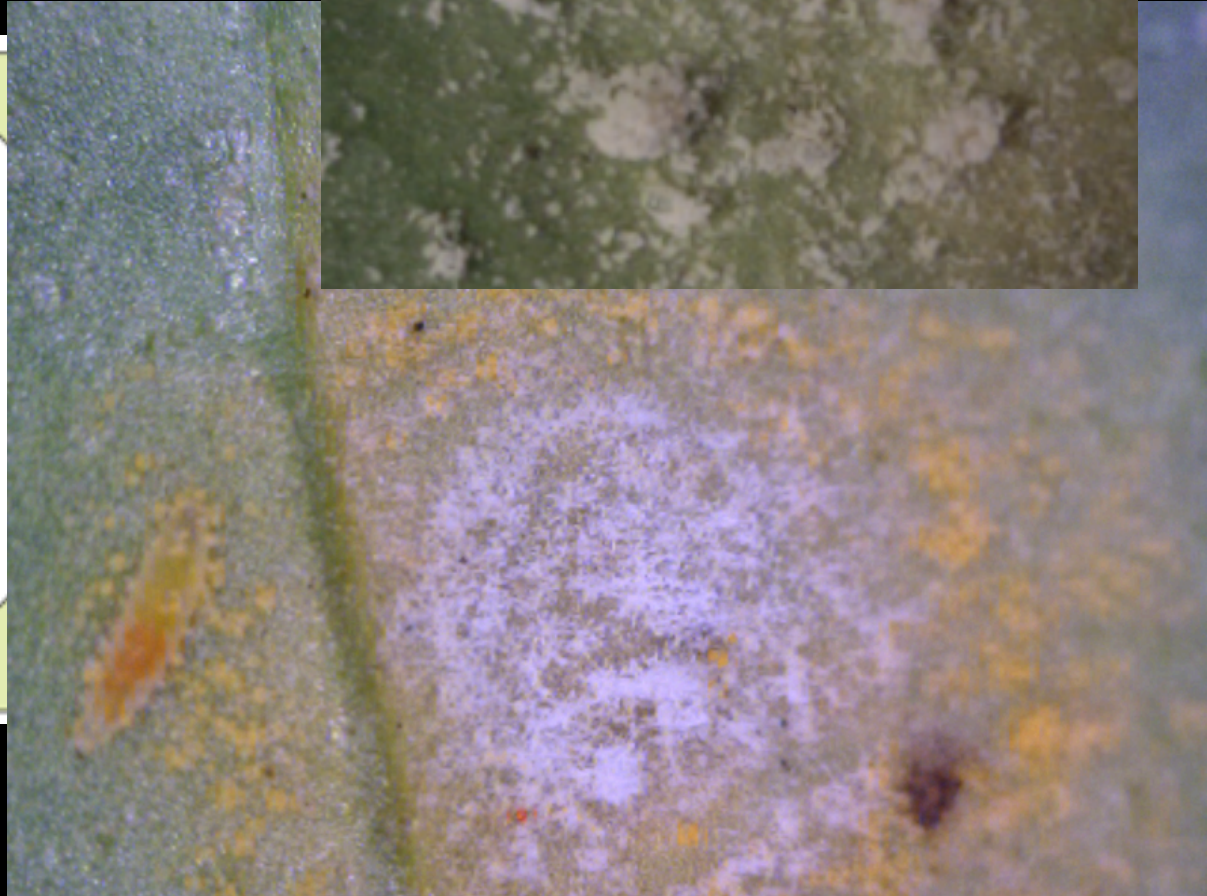
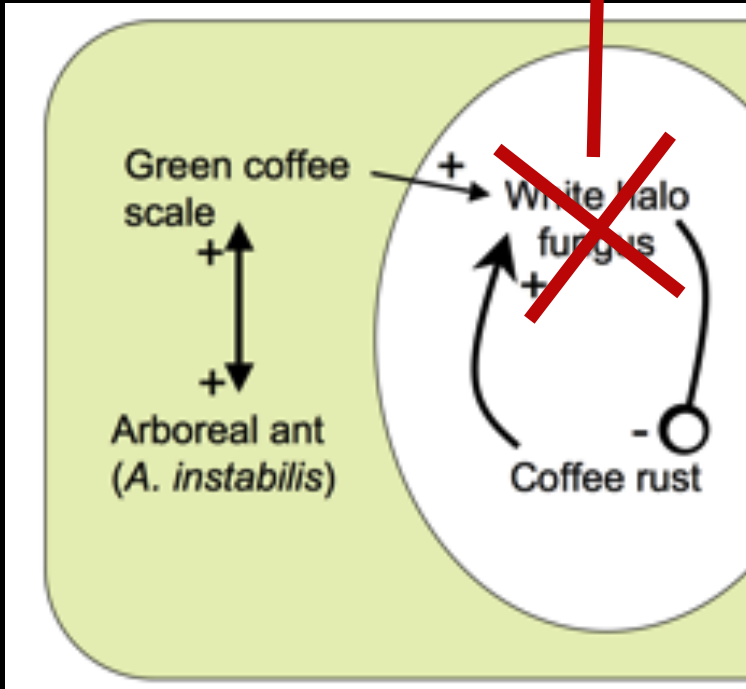
Taza de infección en una planta promedio



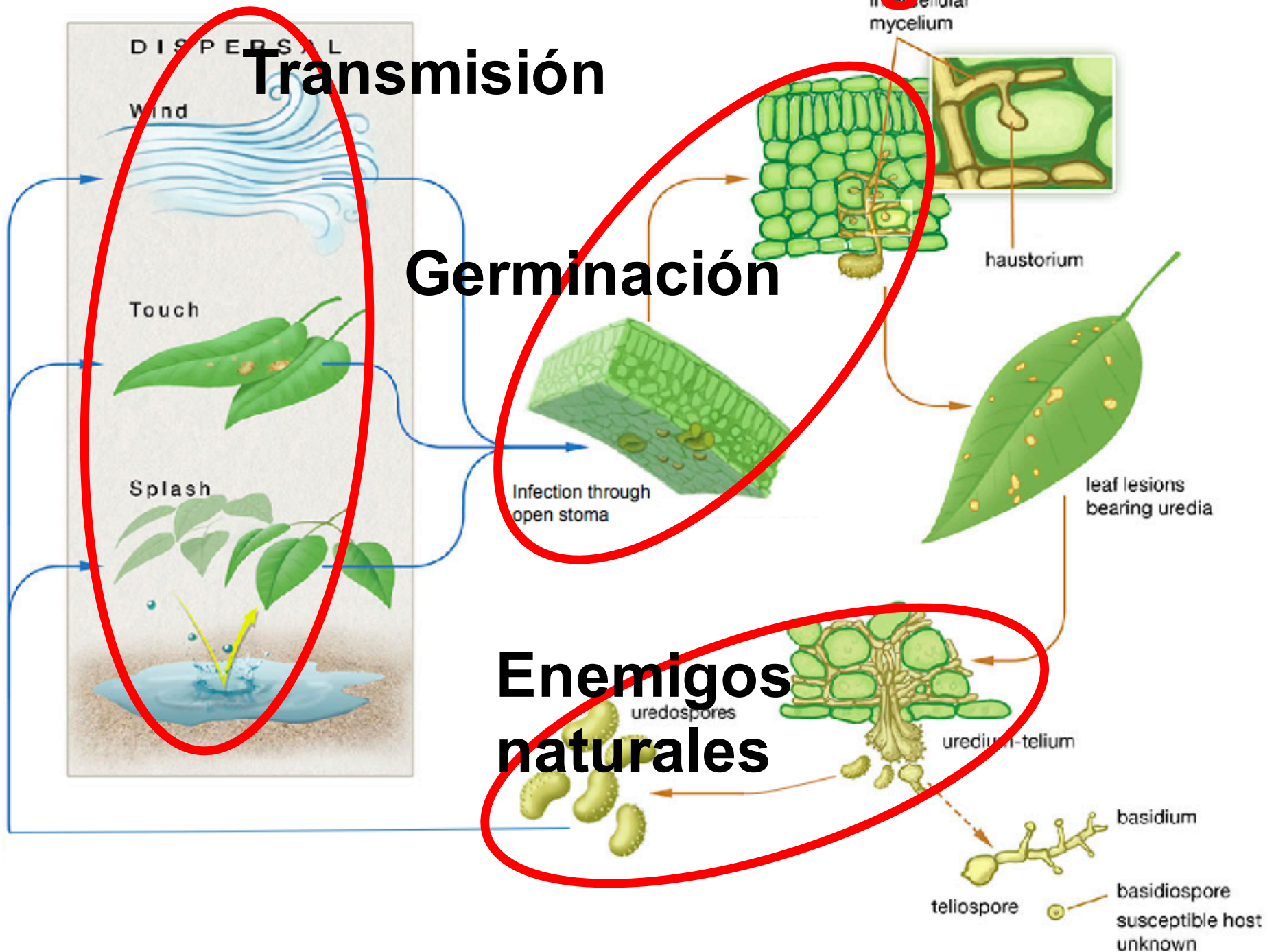
Taza de infección en una finca promedio



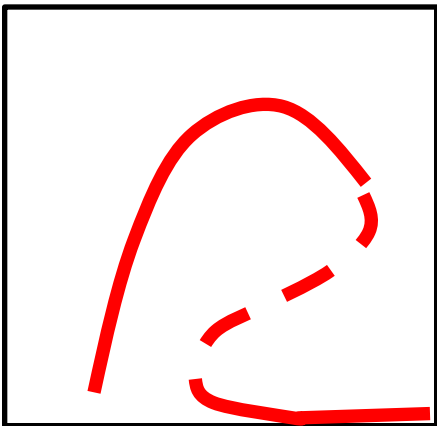
Los enemigos naturales



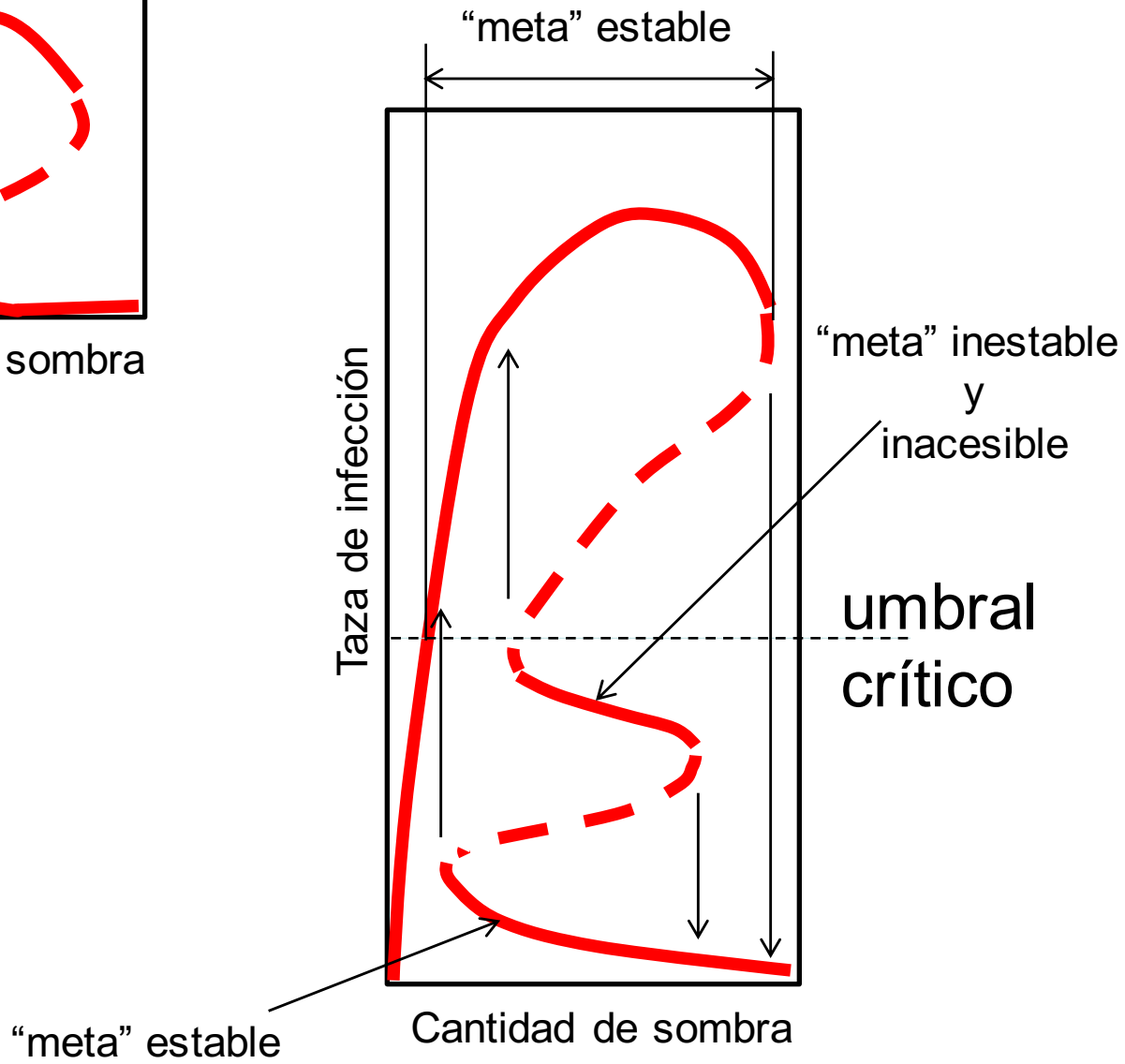
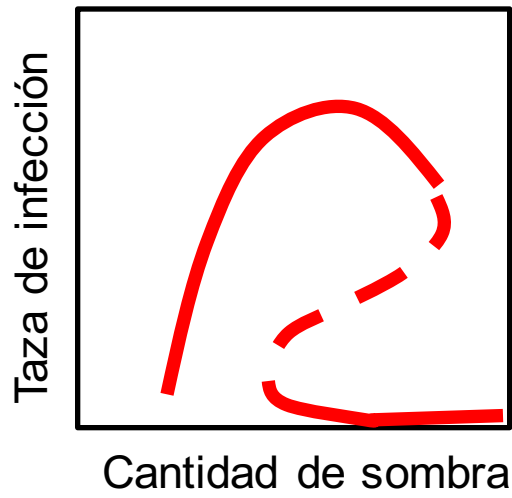
Fuerzas ecológicas



Taza de infección



Cantidad de sombra



Finca Irlanda



Finca Guaraguao





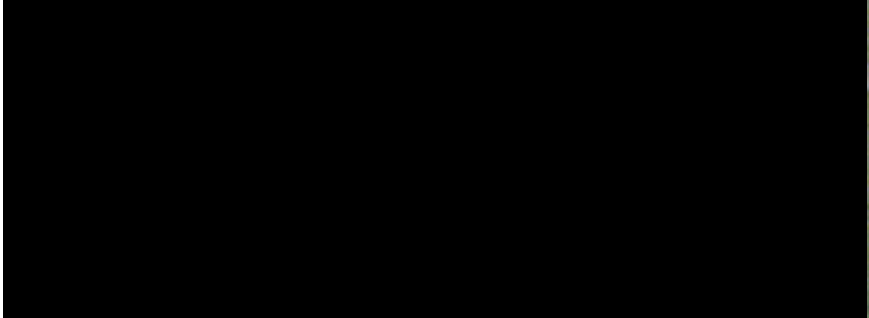
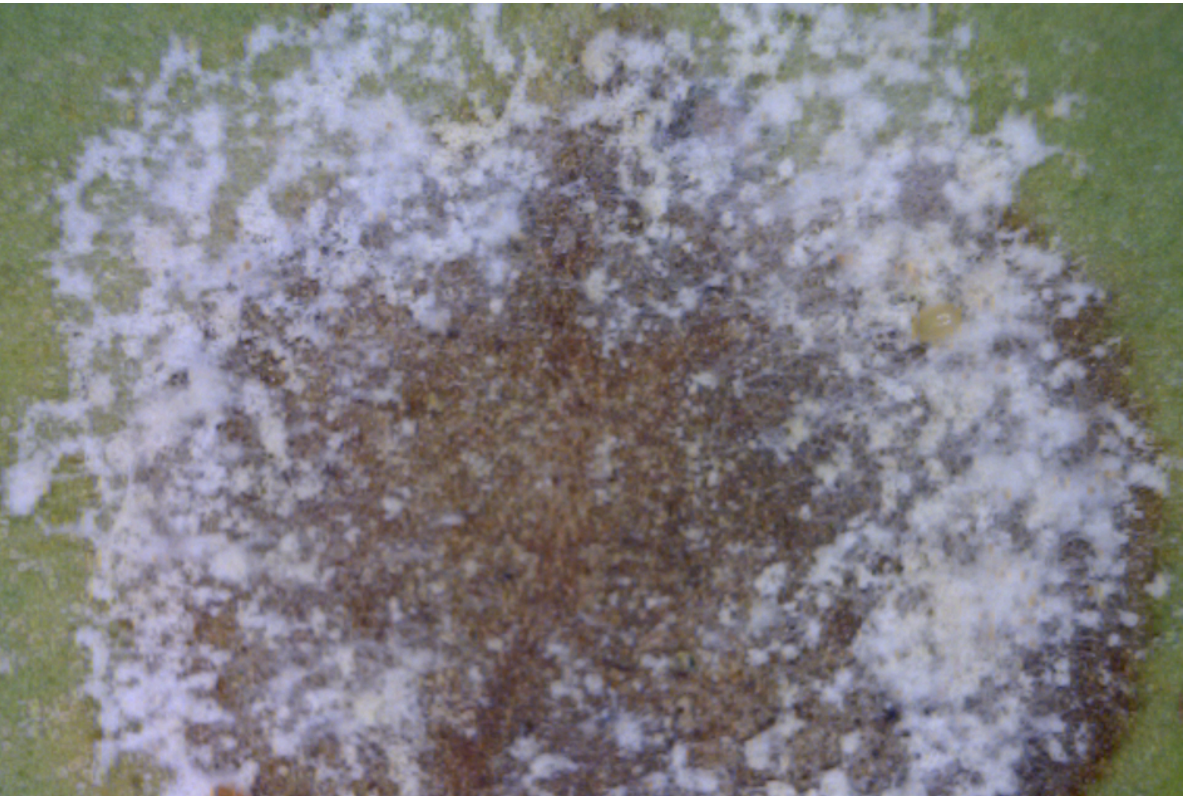
México



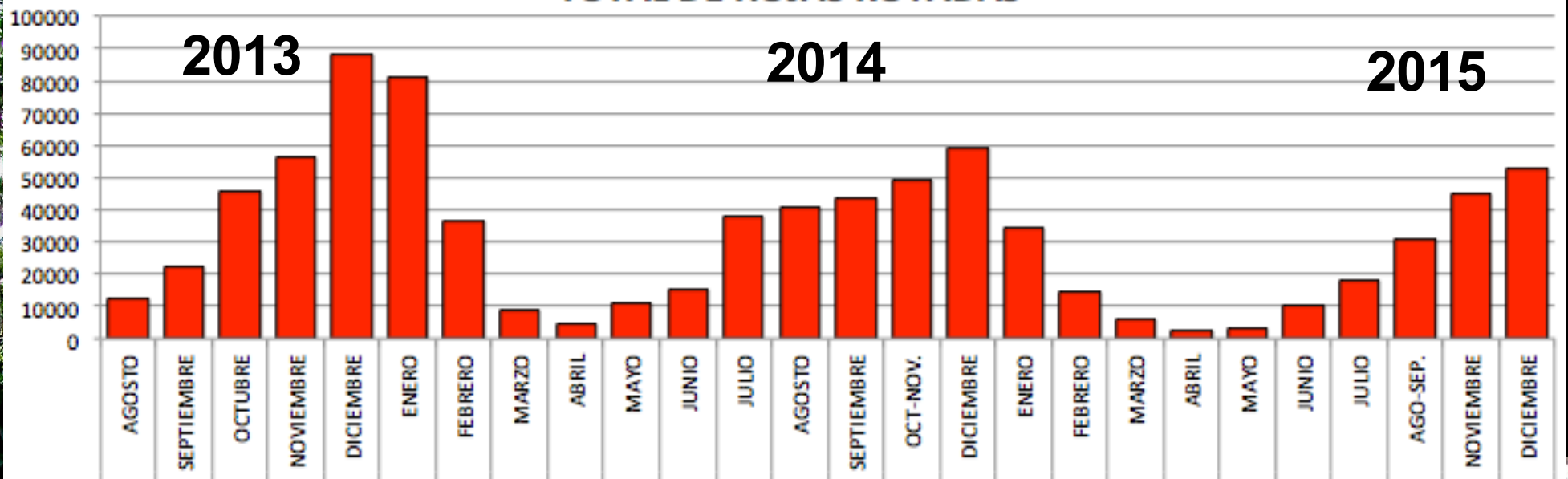
Puerto Rico



	Número de <i>Mycodiplosis</i> por hoja	Proporción de lesiones de roya con <i>Lecanicillium</i>
Mexico	0.89	0.06
Puerto Rico	2.84	0.24



Finca Irlanda



Finca Guaraguao

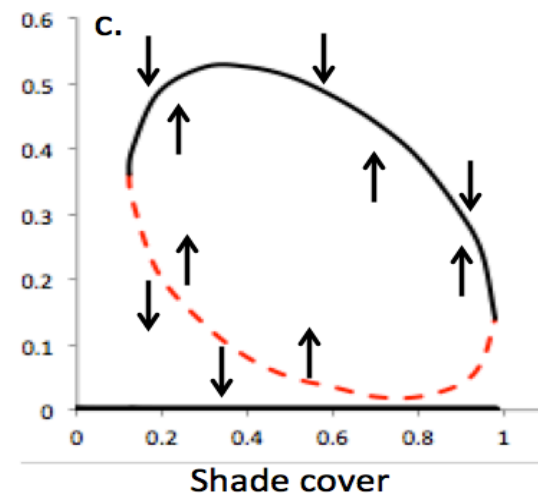
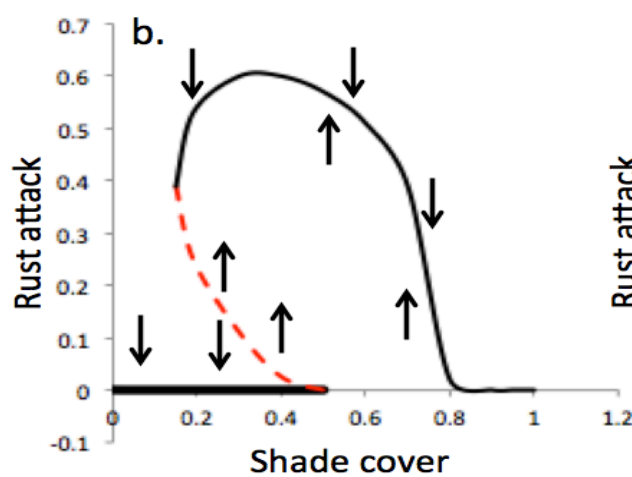
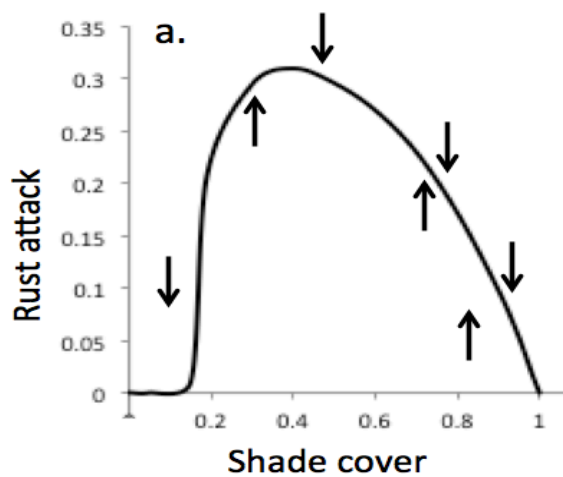
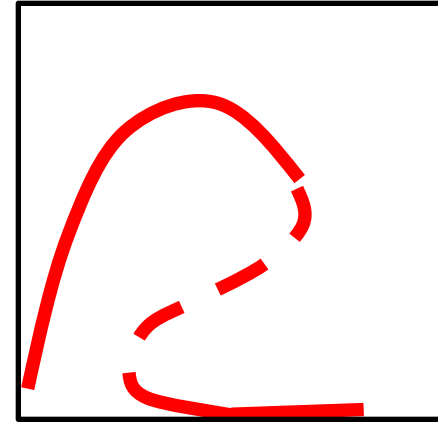
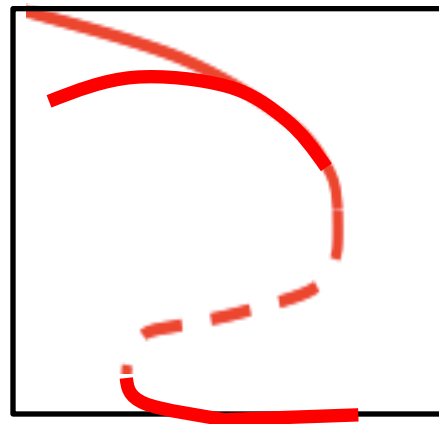
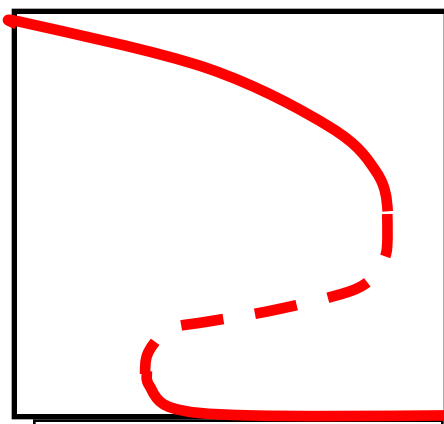
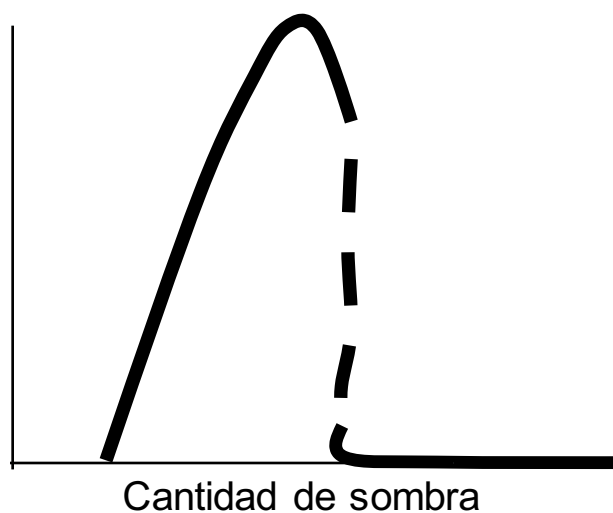
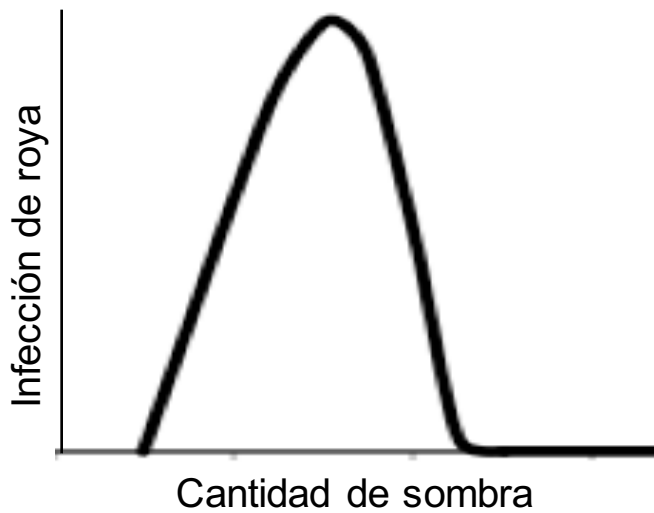


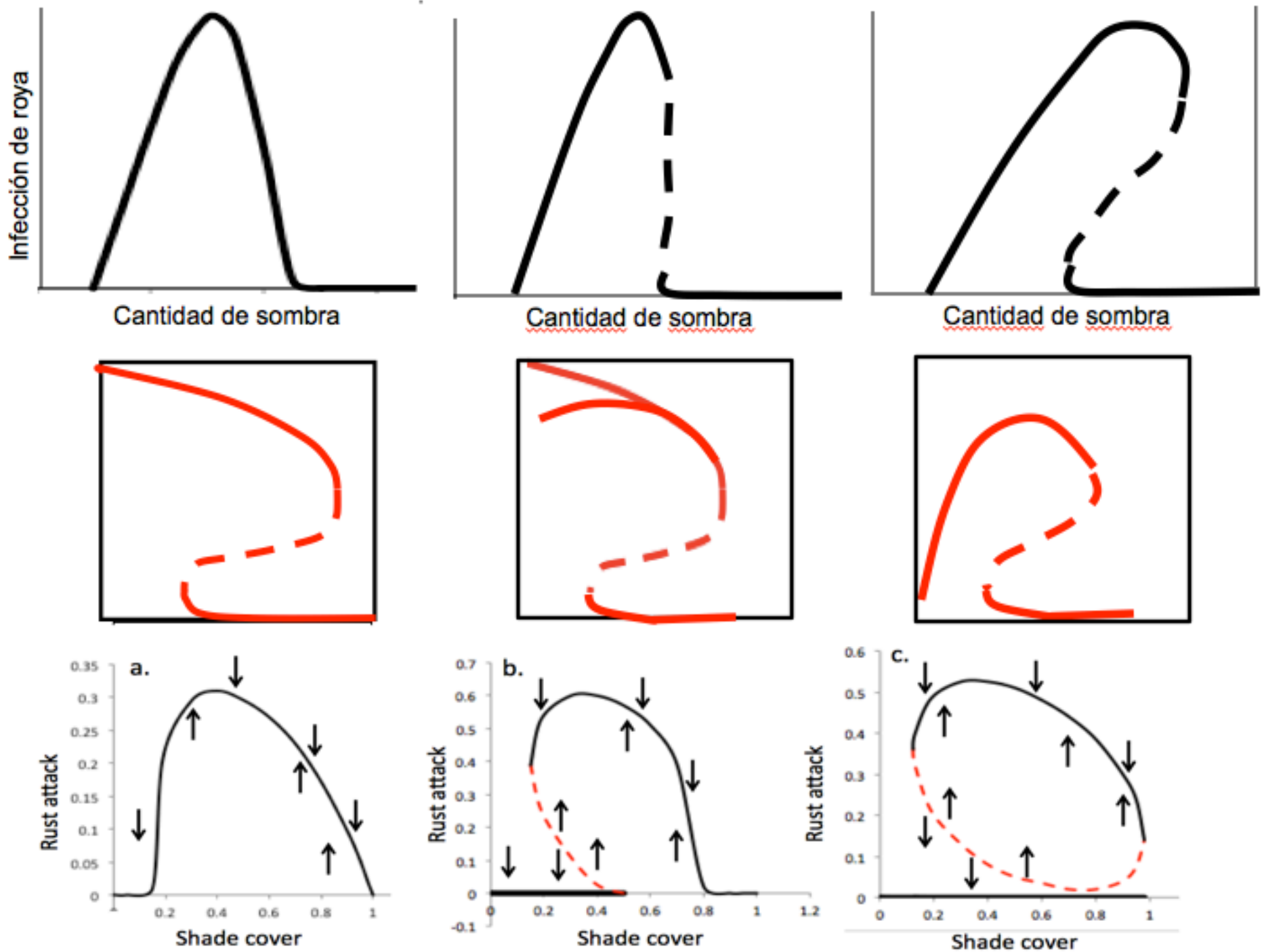
Table 1 – List of variables describing coffee plots

Kind of variable	Variable	Code	Unit
Coffee rust	Maximum annual incidence of coffee rust (maximal percentage of young leaves infected in the year)	R	–
Climate	Altitude	Alt	m
	Annual rainfall	Rain	mm
Soil	pH	–	–
	K	–	C mol ⁽⁺⁾ /kg
	Ca	–	C mol ⁽⁺⁾ /kg
	Mg	–	C mol ⁽⁺⁾ /kg
	Al	–	C mol ⁽⁺⁾ /kg
	P	–	mg/kg
	Fe	–	mg/kg
	Cu	–	mg/kg
	Mn	–	mg/kg
	Zn	–	mg/kg
	Organic matter	OM	% dry weight
	Sand	–	% dry weight
	Silt	–	% dry weight
	Clay	–	% dry weight
	Cropping practices	Variety ^a	Var
Distance between rows		Dro	m
Distance between plants on the row		Dpl	m
Density of coffee trees per hectare		De/ha	Plants ha ⁻¹
Number of coffee trees per hole ^a		Pl/Ho	–
Presence of cut down coffee trees ^a		Cut	–
Shade percentage		Shp	–
Shade type ^a		Sht	–
Annual number of shade pruning operations ^a		Psh	–
Annual number of coffee trees pruning operations ^a		Pcof	–
Annual number of foliar fertilisations only ^a		Ffert	–
Annual number of soil fertilisations ^a		Sfert	–
Annual number of soil improvement activities ^a		Simp	–
Annual number of fertilisations ^a		Fert	–
Annual number of physical weeding rounds ^a		Pwee	–
Annual number of chemical weeding rounds ^a		Cwee	–
Annual number of weeding rounds ^a		Wee	–
Annual number of fungicide sprays ^a	Fsp	–	
Annual number of insecticide sprays ^a	Isp	–	
Annual number of pickings ^a	Pic	–	
Coffee tree productive characteristics	Coffee tree age	Age	Year
	Circumference of the trunk at ground level	Cir	m
	Height of the coffee tree	Hei	m
	Height of the coffee tree/circumference of the trunk at ground level	Hei/Cir	–
	Number of fruiting nodes per plant	Fnod	–
	Foliage density (number of young leaves per branch at the beginning of the rainy season)	Fdens	–
	Fruit load (number of cherries related to the number of young leaves counted at the beginning of the rainy season)	Fload	–

^a The initial nature of the variable is qualitative. Others variables are quantitative.

Avelino et al., 2006. Ecol. Modelling





Vandermeer et al., (2015). arXiv at: <http://arxiv.org/abs/1510.05849>

A photograph of a lush green forest. In the foreground, there are coffee plants with dark green leaves. In the background, there are tall, thin trees with dense green foliage. The scene is brightly lit, suggesting a sunny day.

Finca Irlanda

Control biológico

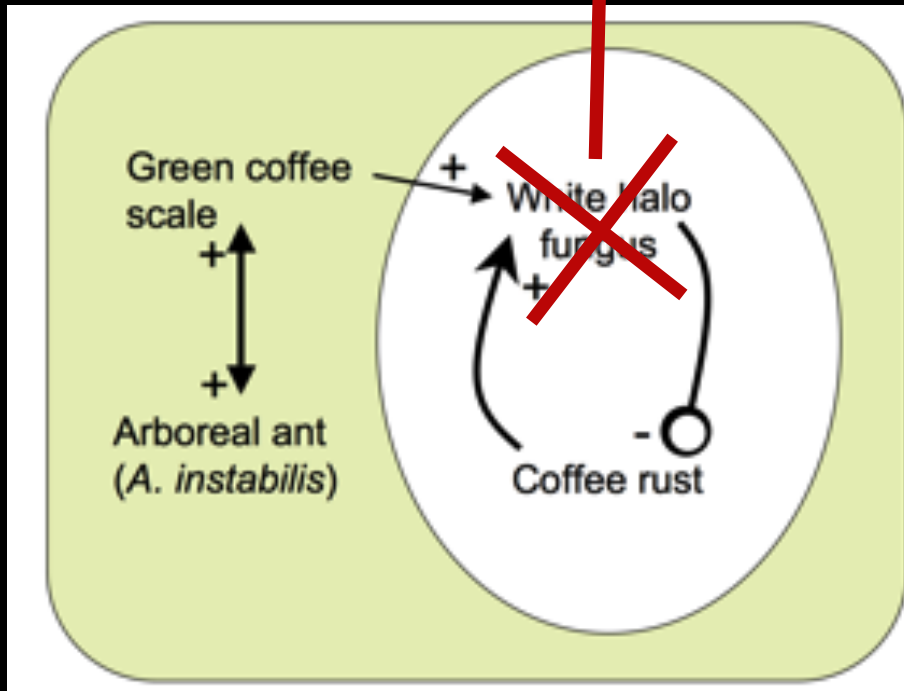
Finca Irlanda

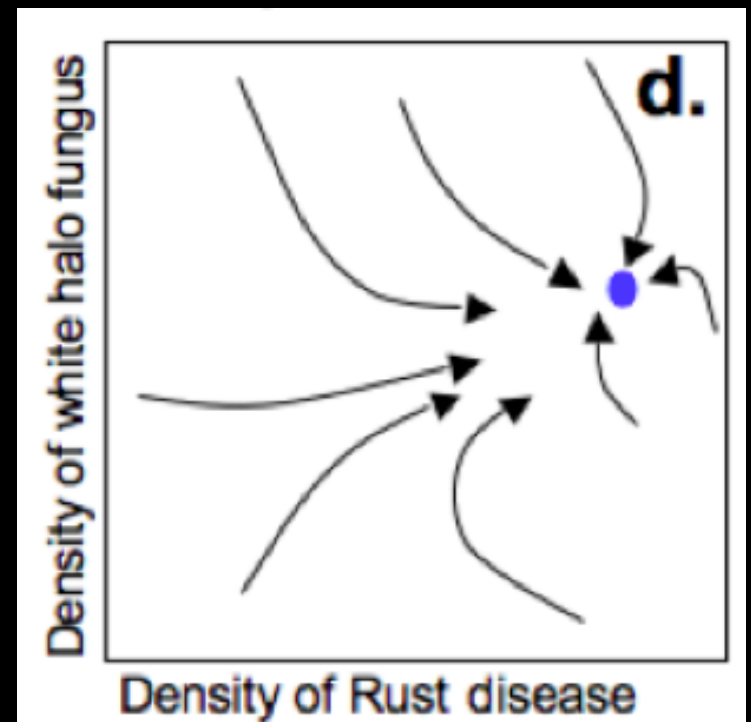
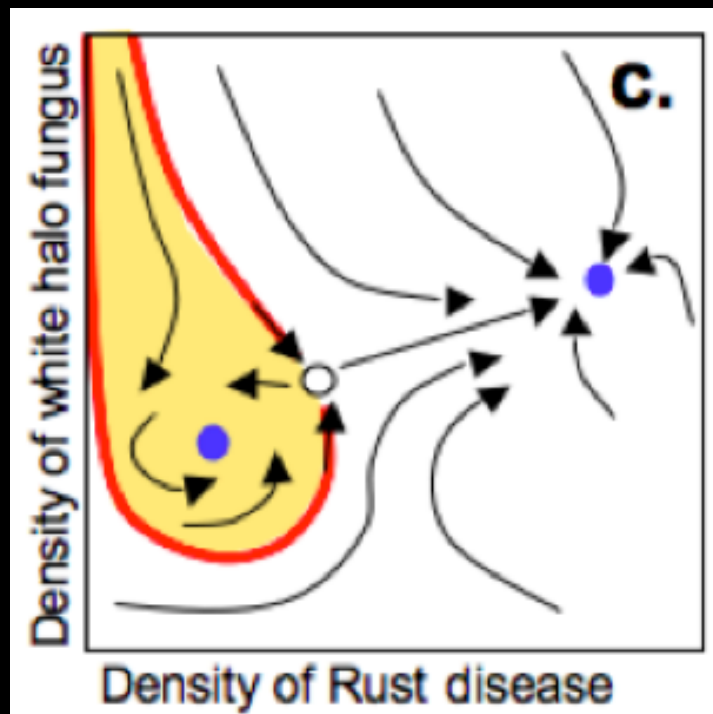
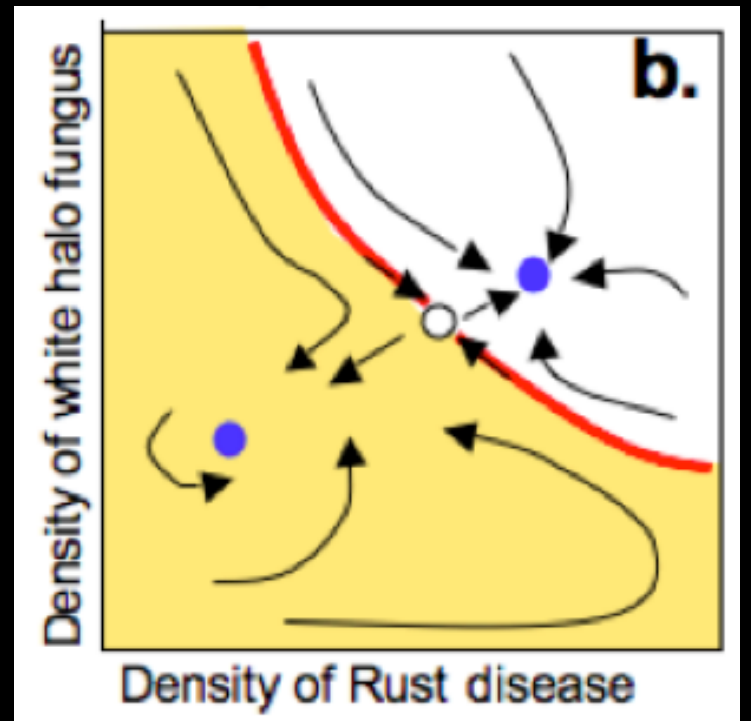
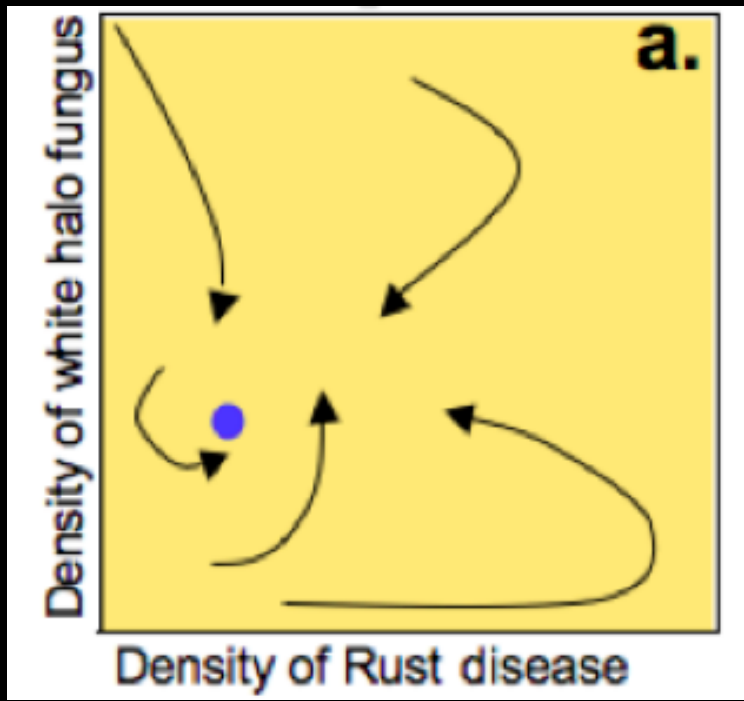
Viento

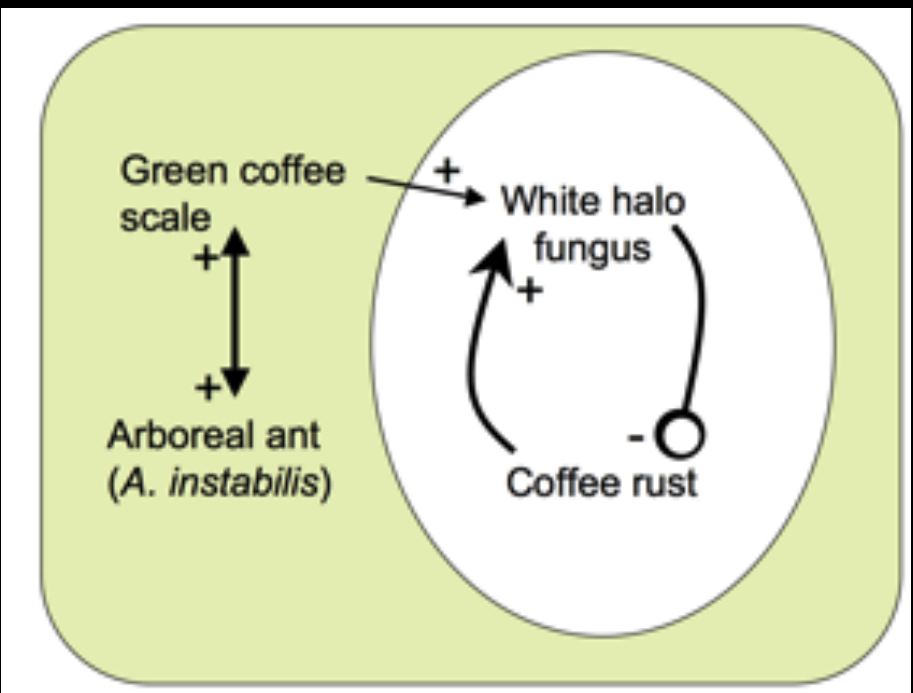
Finca Guaragua



La comunidad
de
micoparásitos



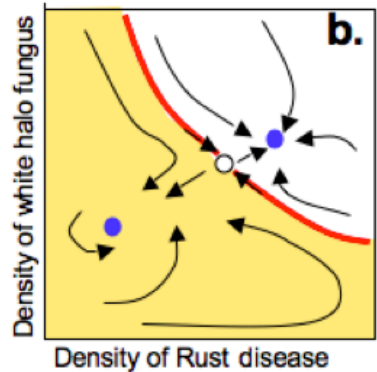




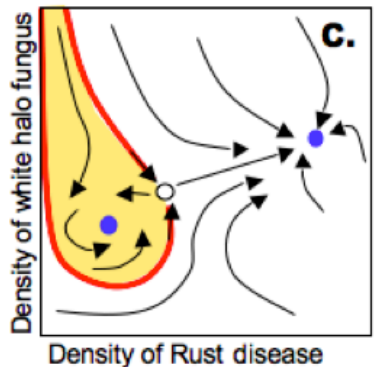
Decreasing carrying capacity for white halo fungus



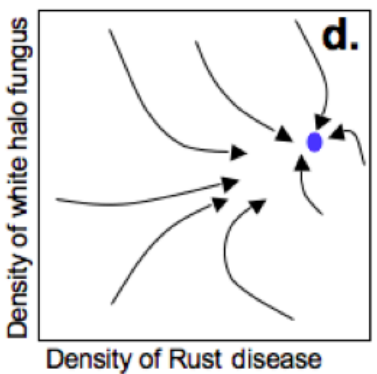
Blue sky bifurcation

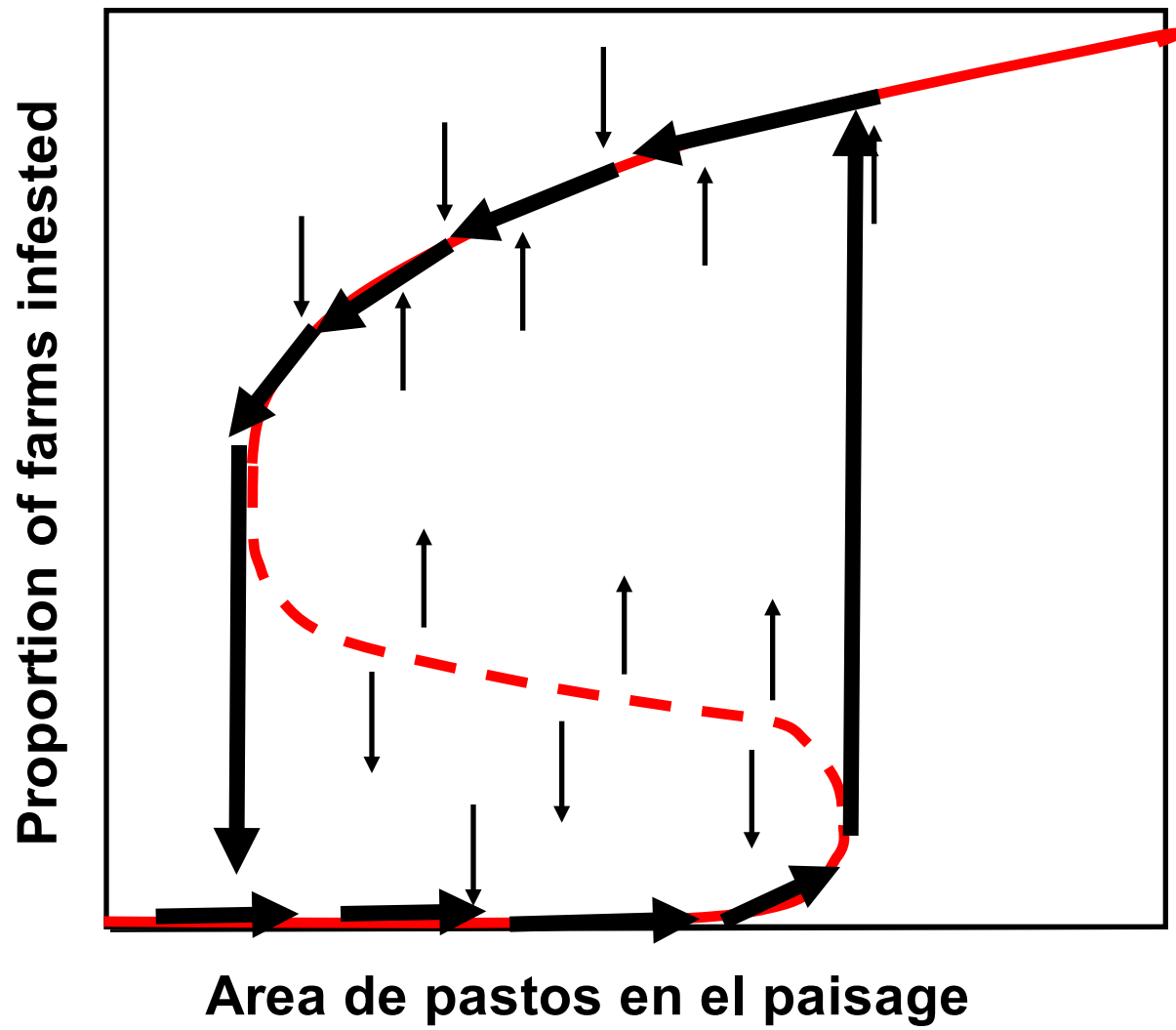


Global bifurcation



Saddle-node bifurcation



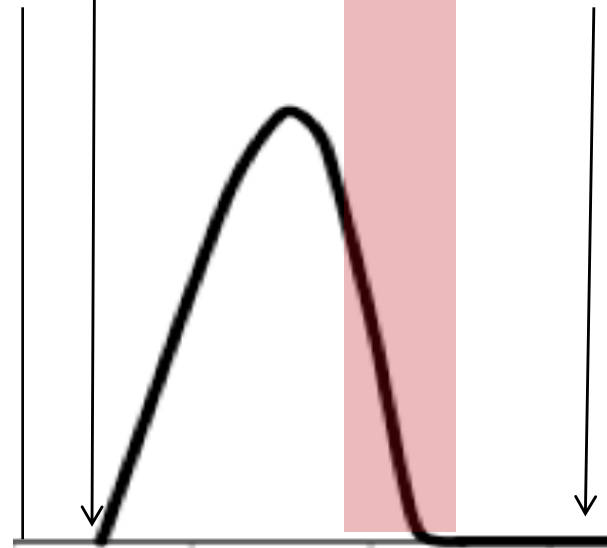


Zona en la cual la transmisión local no puede mantener la transmisión neta positiva

Humedad insuficiente para germinación

Viento insuficiente para dispersión de esporas

infección de roya



Cantidad de sombra

Lecanicillium

